

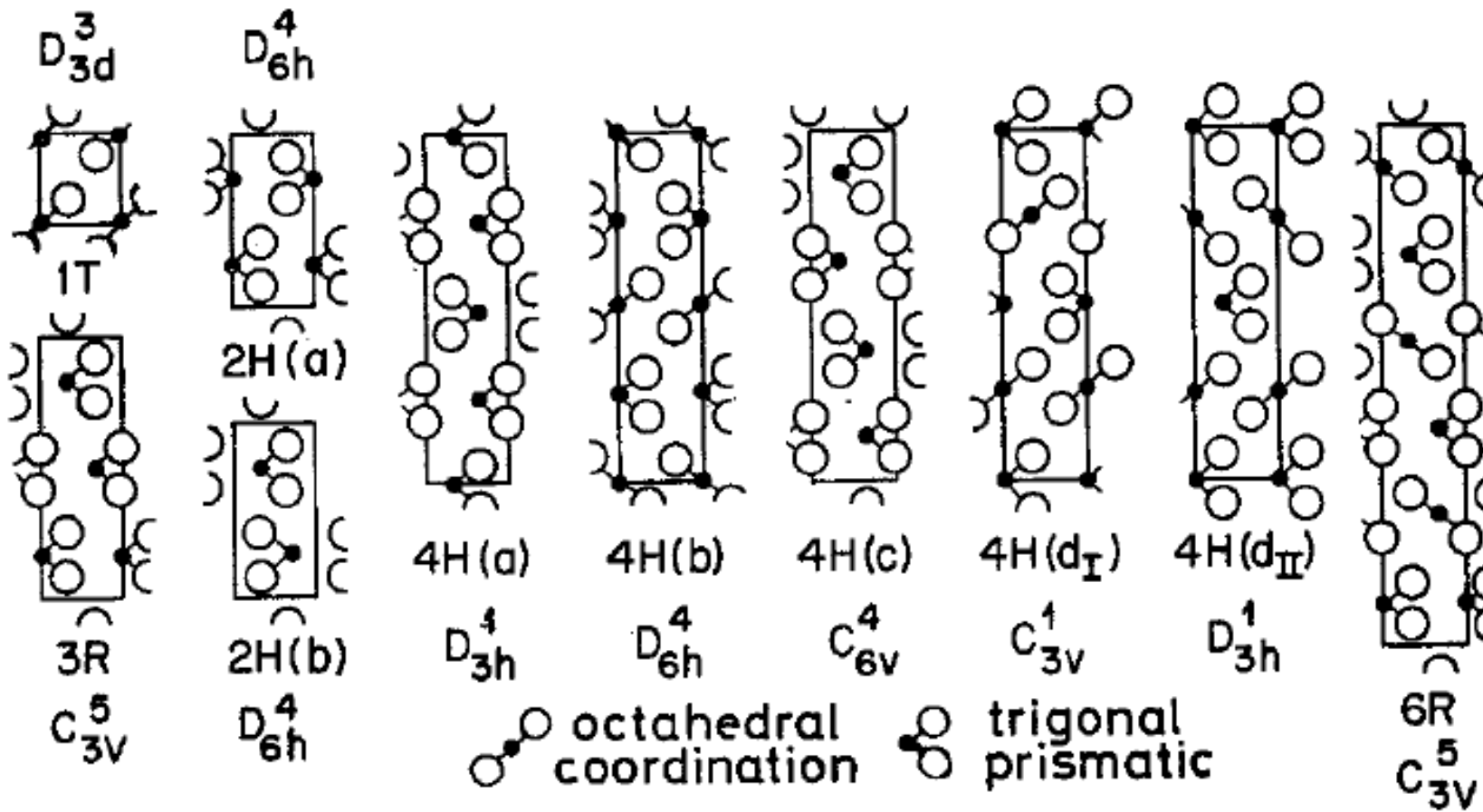
Курс: Електронна структура та властивості низькорозмірних систем

Лектор: Олександр Кордюк

Лекції 5-6: Хвилі зарядової густини в дихалькогенідах перехідних металів та квазікристали

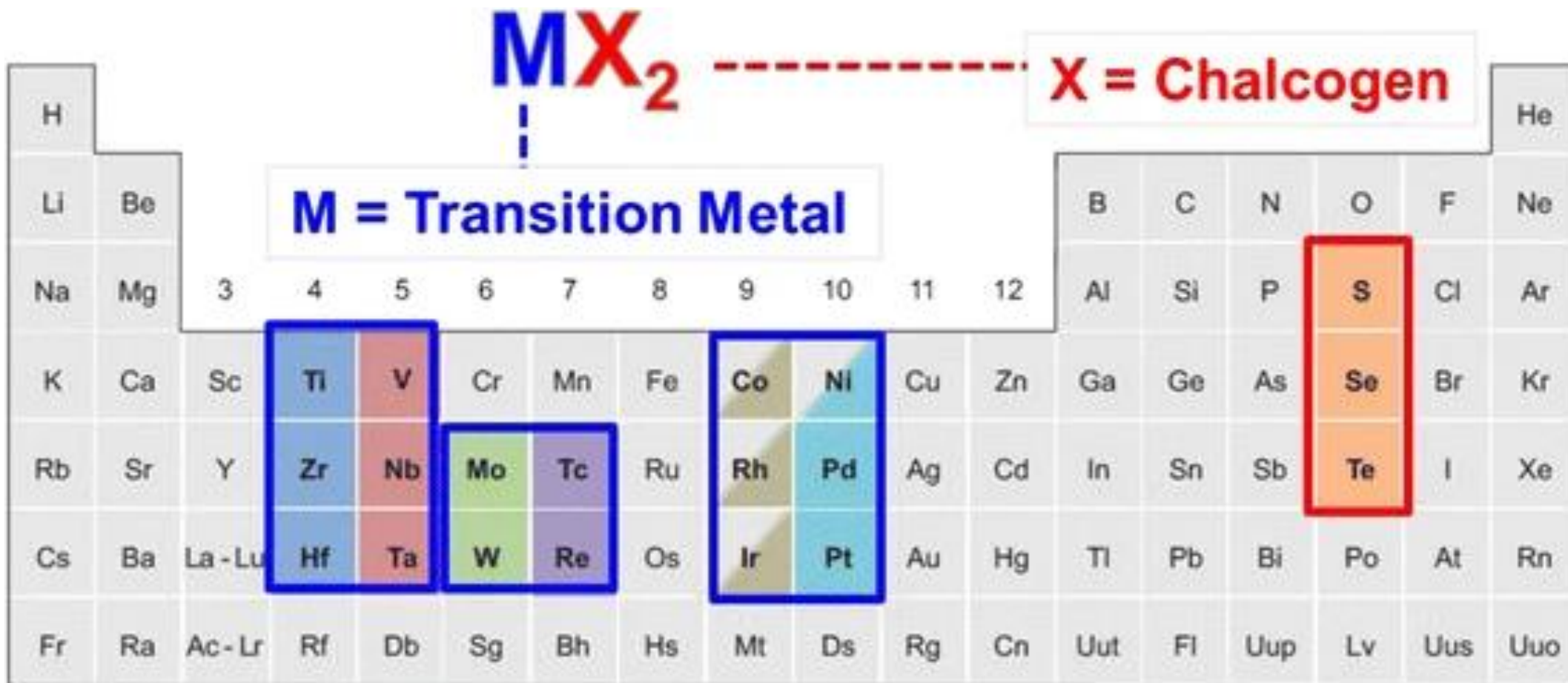
- Transition metal dichalcogenides: composition, structure, and applications
- Квазідвовимірність та електронна структура
- CDW in $TaSe_2$: переходи у співрозмірну на неспіврозмірну фази, псевдощілина
- Нестинг, автокореляція та двохчастинкова спектральна функція
- Commensurate vs Incommensurate...
- CDW band gaps
- Плитки Пенроуза та квазікристали

CDW in transition metal dichalcogenides



Various polytypes of the layer structure transition metal dichalcogenides

Transition metal dichalcogenides



Layered transition metal dichalcogenides



ZrSe₂

TaSe₂

TaS₂

NbSe₂

WSe₂

MoTe₂



MoSe₂



MoS₂



GaSe



GaS

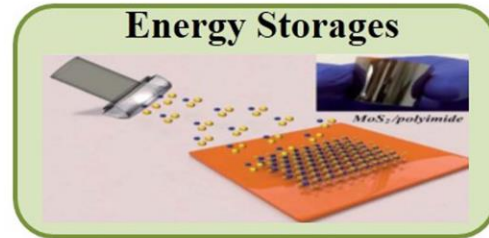


SnSe₂



SnS₂

Recent development of 2D transition metal dichalcogenides and their applications

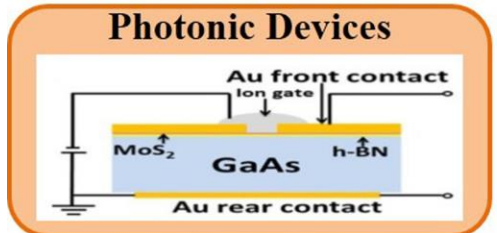


- Capacitance: ~330F cm⁻³
- Volumetric power: 40 ~ 80 W cm⁻³
- Energy density: 1.6 ~ 2.4 mW h cm⁻³



Gas Sensors

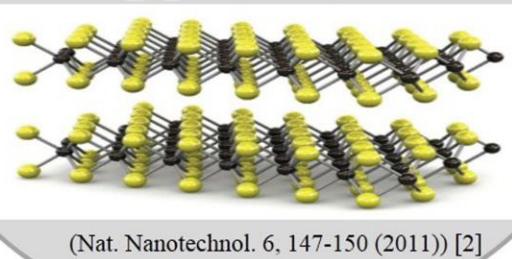
- High sensitivity for NO: 1 ppm
- Fast electron transfer rate



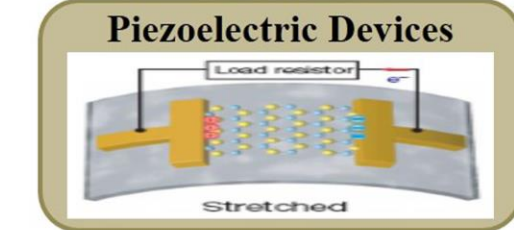
Photonic Devices

- MoS₂/h-BN/GaAs solar cell
- Power conversion efficiency: 9.03%

2D TMDs applications

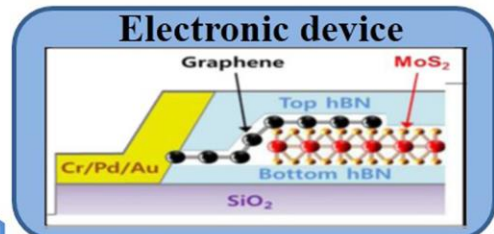


(Nat. Nanotechnol. 6, 147-150 (2011)) [2]



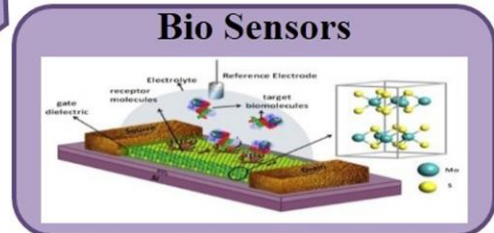
Piezoelectric Devices

- Power density: 2mW m⁻²
- Energy conversion: 5.08%



Electronic device

- Hall mobility for monolayer MoS₂ at low temperature: 1,020 cm²V⁻¹s⁻¹



Bio Sensors

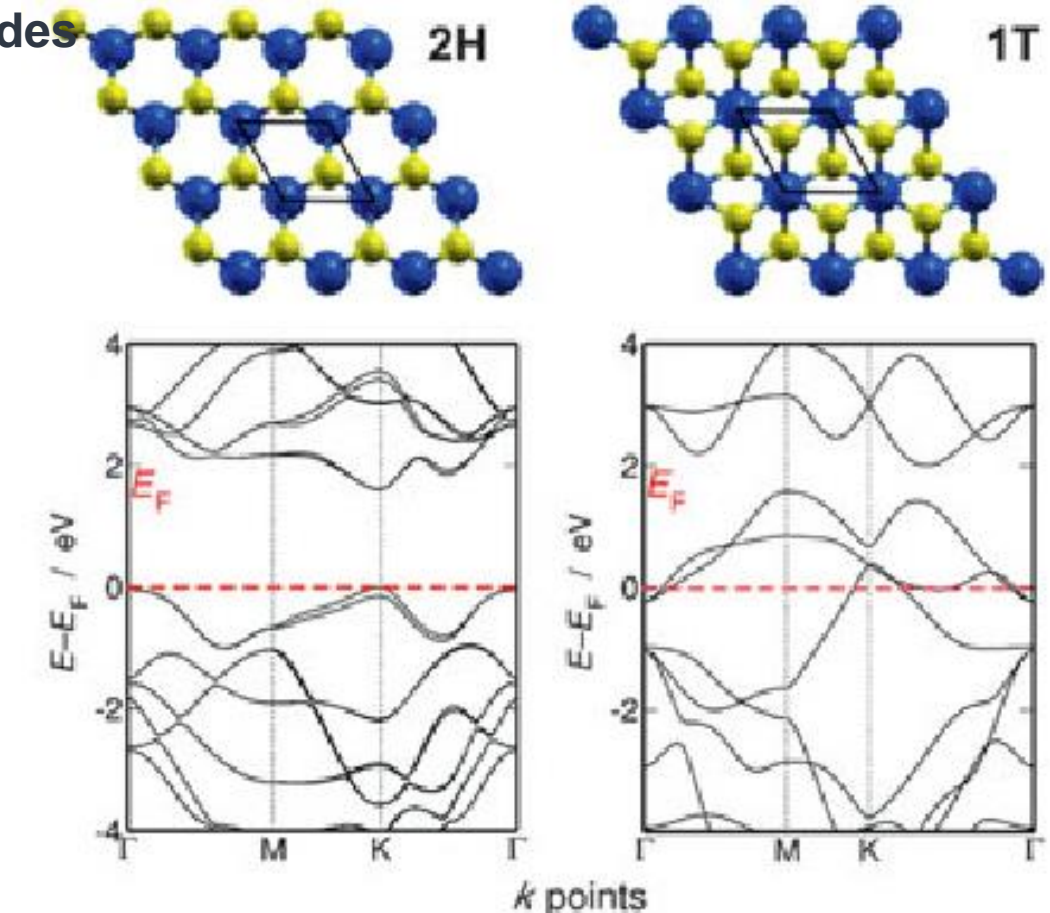
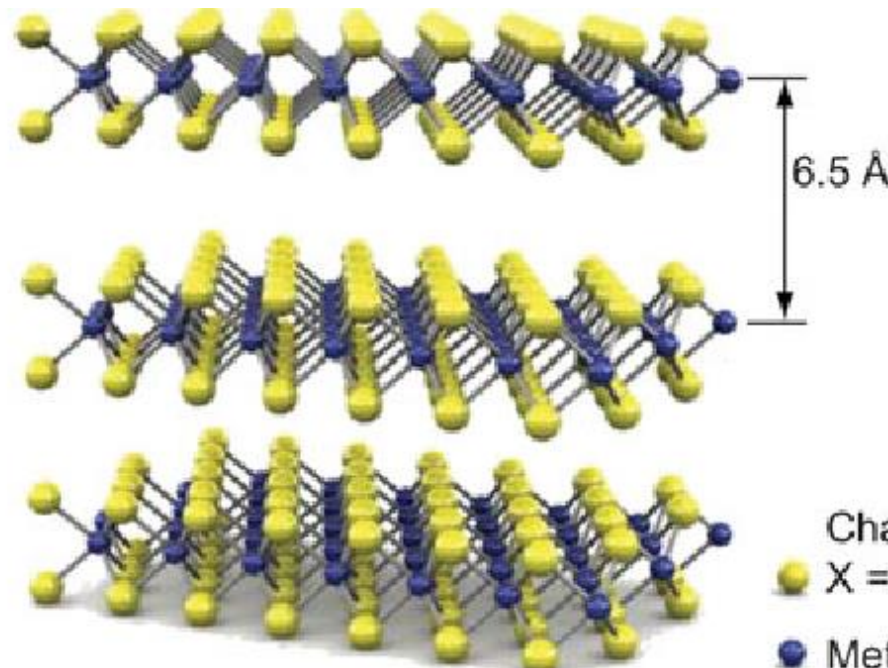
- High sensitivity of 196 at 100fM concentration for protein .
- High sensitivity of 74 for pH.

Transition metal dichalcogenides: crystal structure

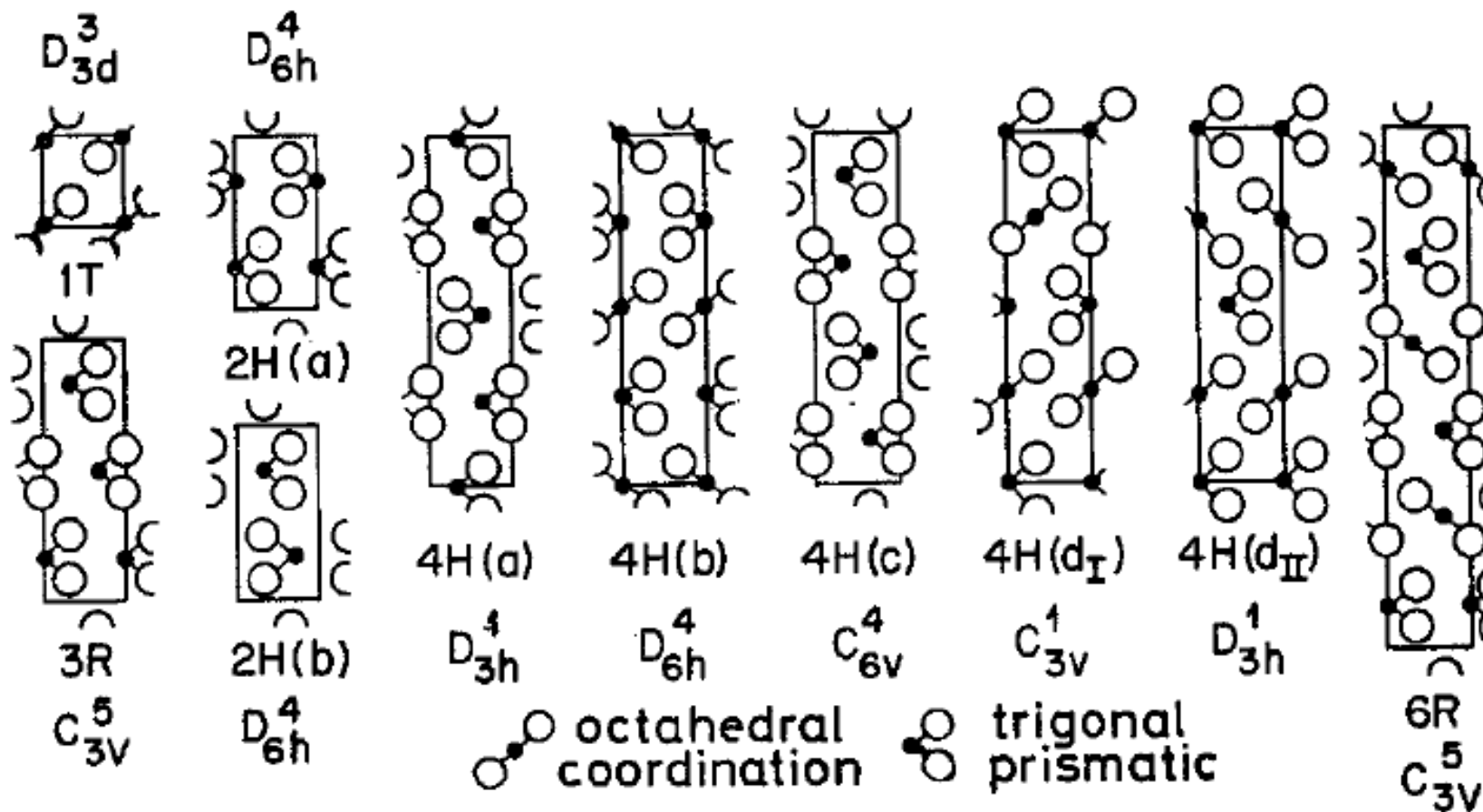
Electronic properties of transition-metal dichalcogenides

A. Kuc (2015) *Mrs Bulletin*

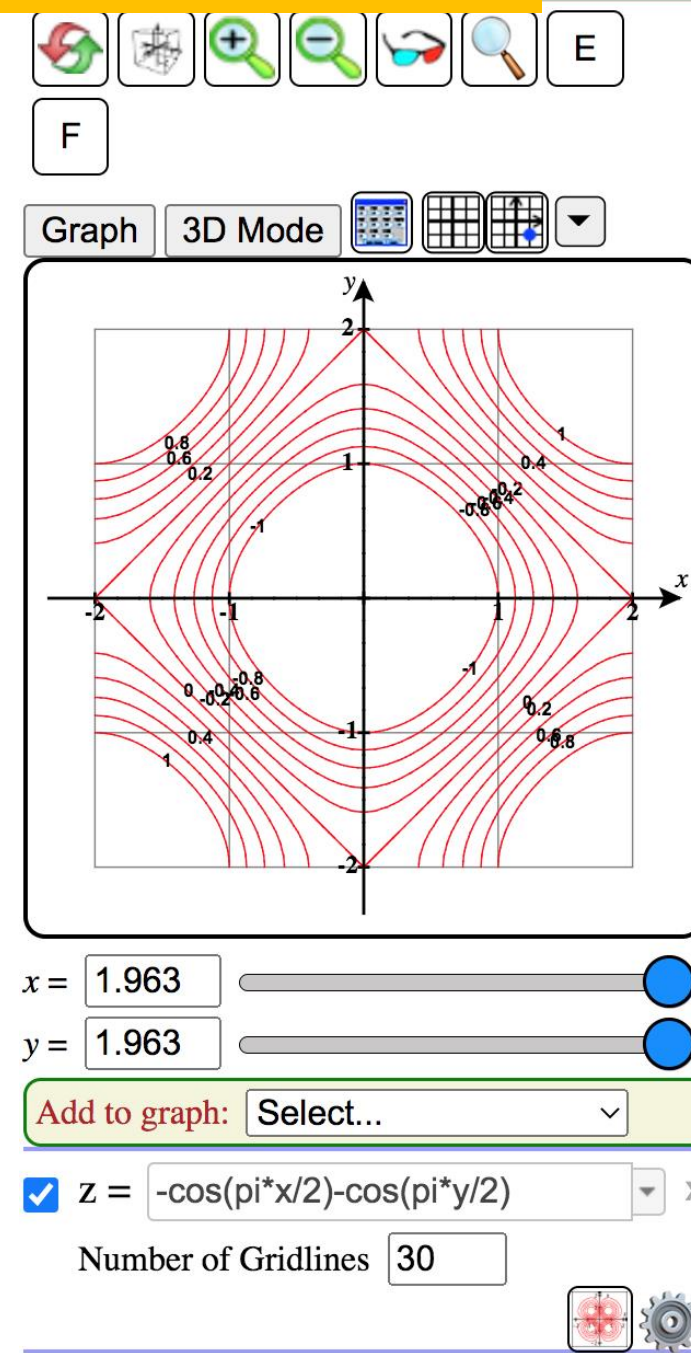
• DOI: [10.1557/MRS.2015.143](https://doi.org/10.1557/MRS.2015.143)



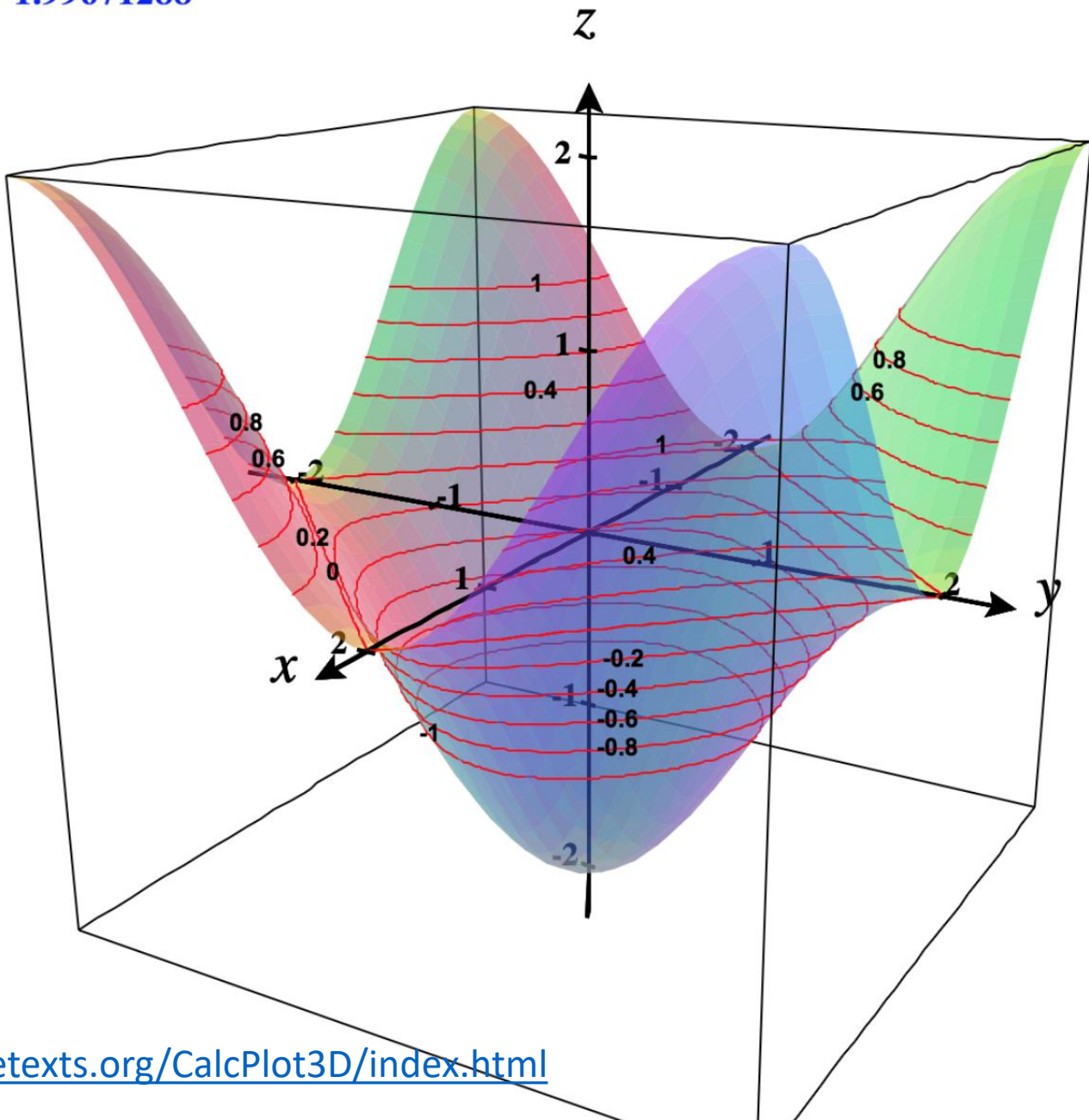
CDW in transition metal dichalcogenides



Various polytypes of the layer structure transition metal dichalcogenides



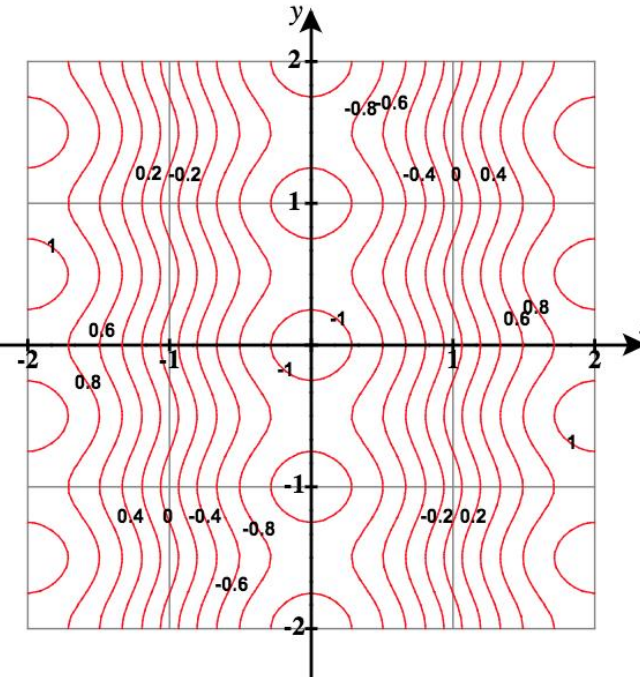
$$f(1.9635, 1.9635) = 1.99671288$$





F

Graph 3D Mode



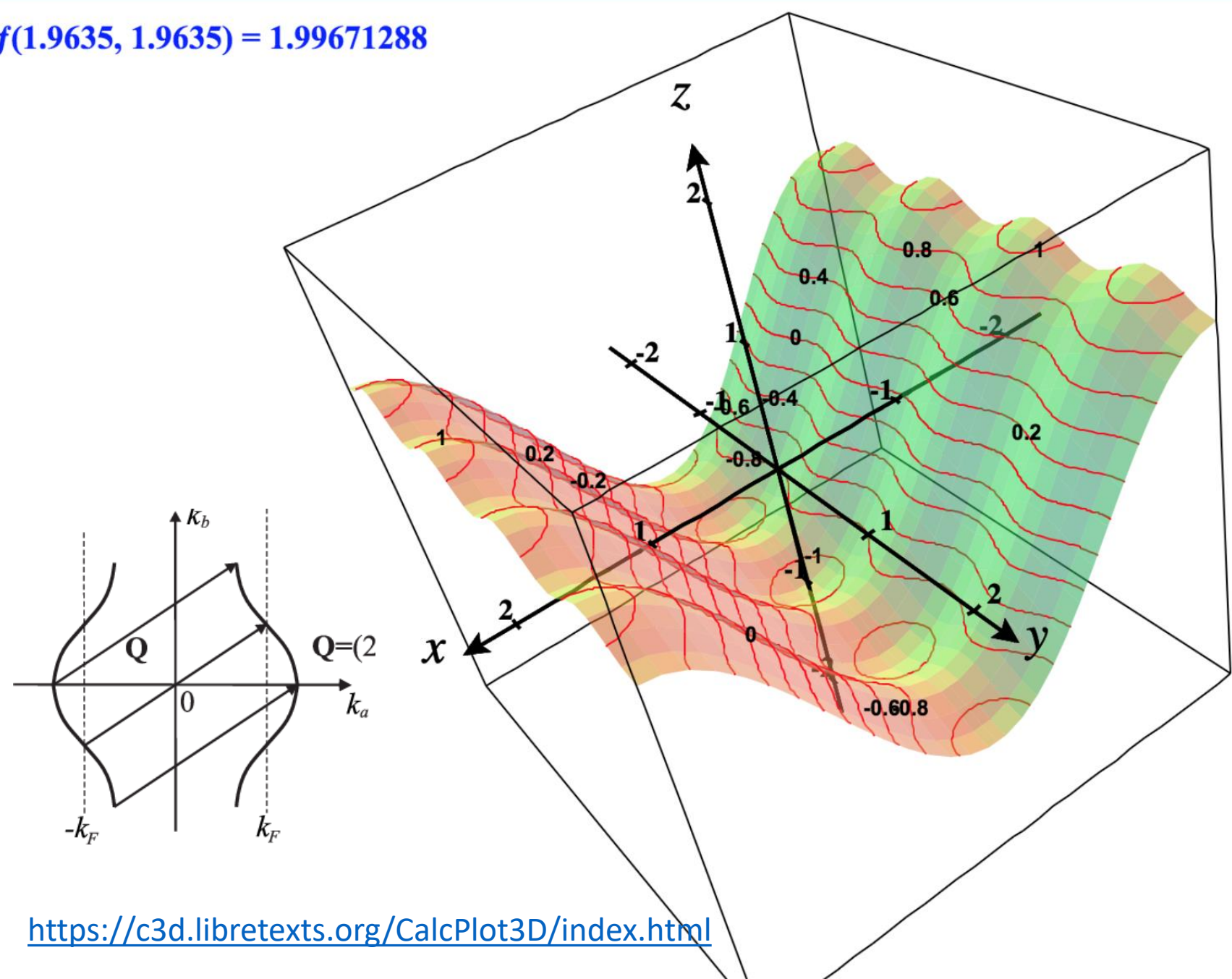
$x =$
 $y =$

Add to graph:

$Z = -\cos(\pi x/2) - 0.1 \cos(4\pi y/2)$

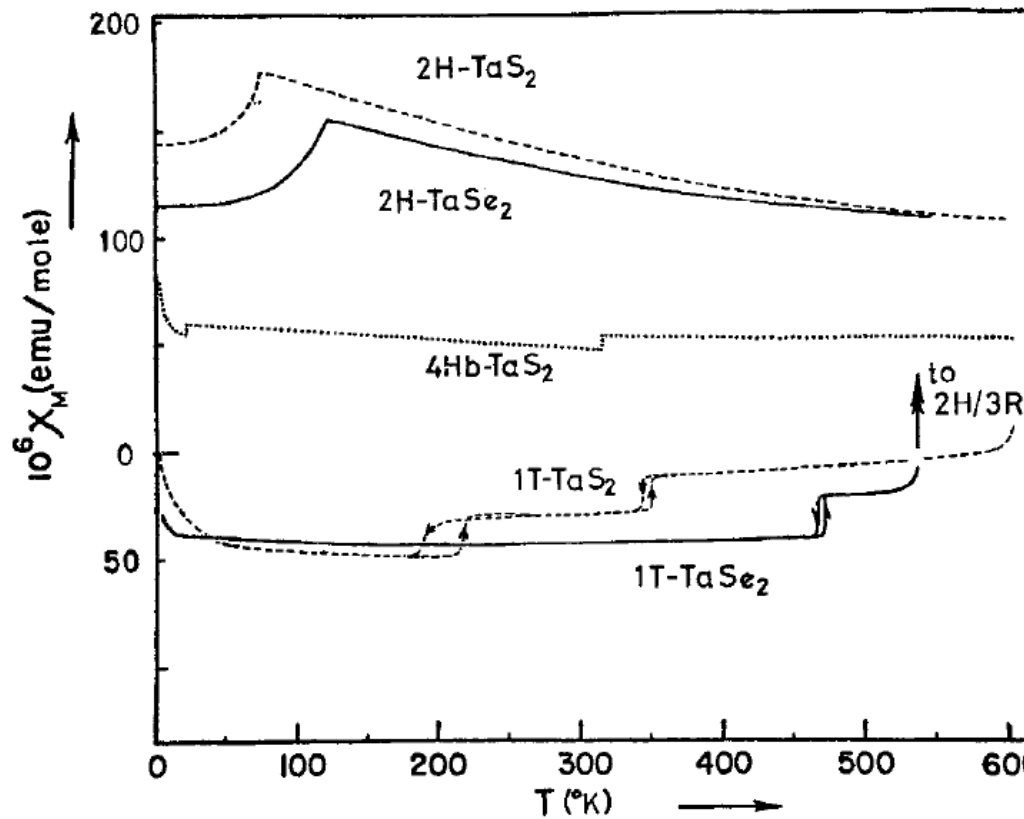
Number of Gridlines

$$f(1.9635, 1.9635) = 1.99671288$$

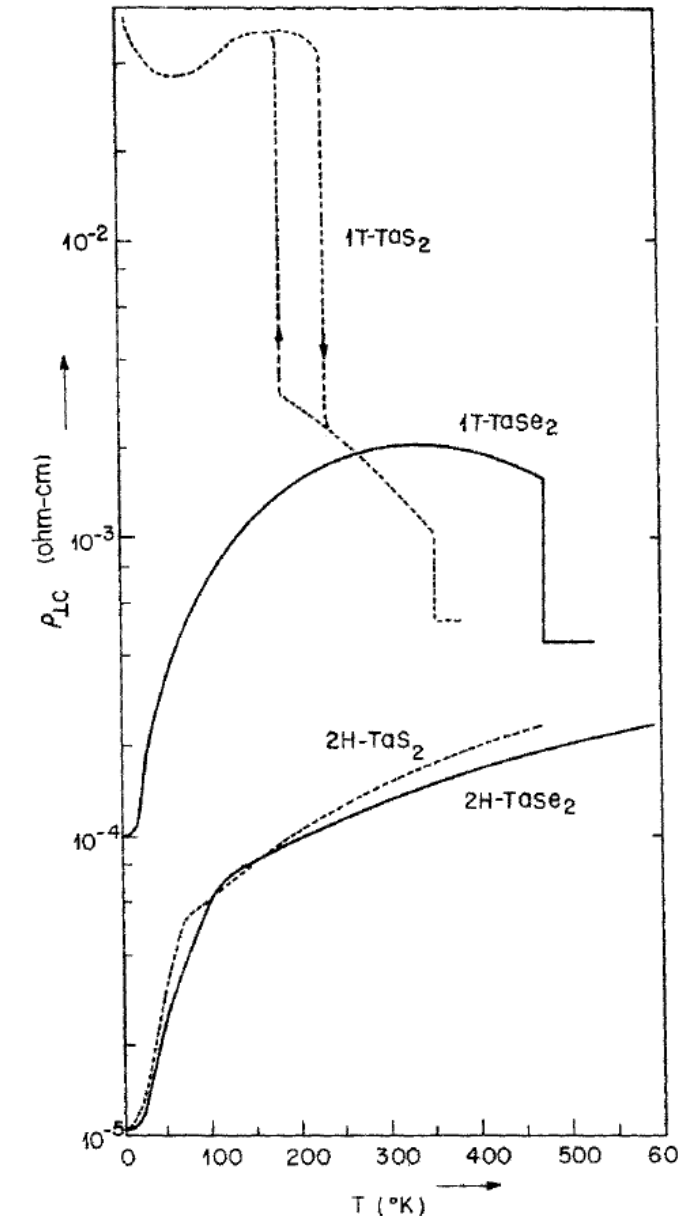


<https://c3d.libretexts.org/CalcPlot3D/index.html>

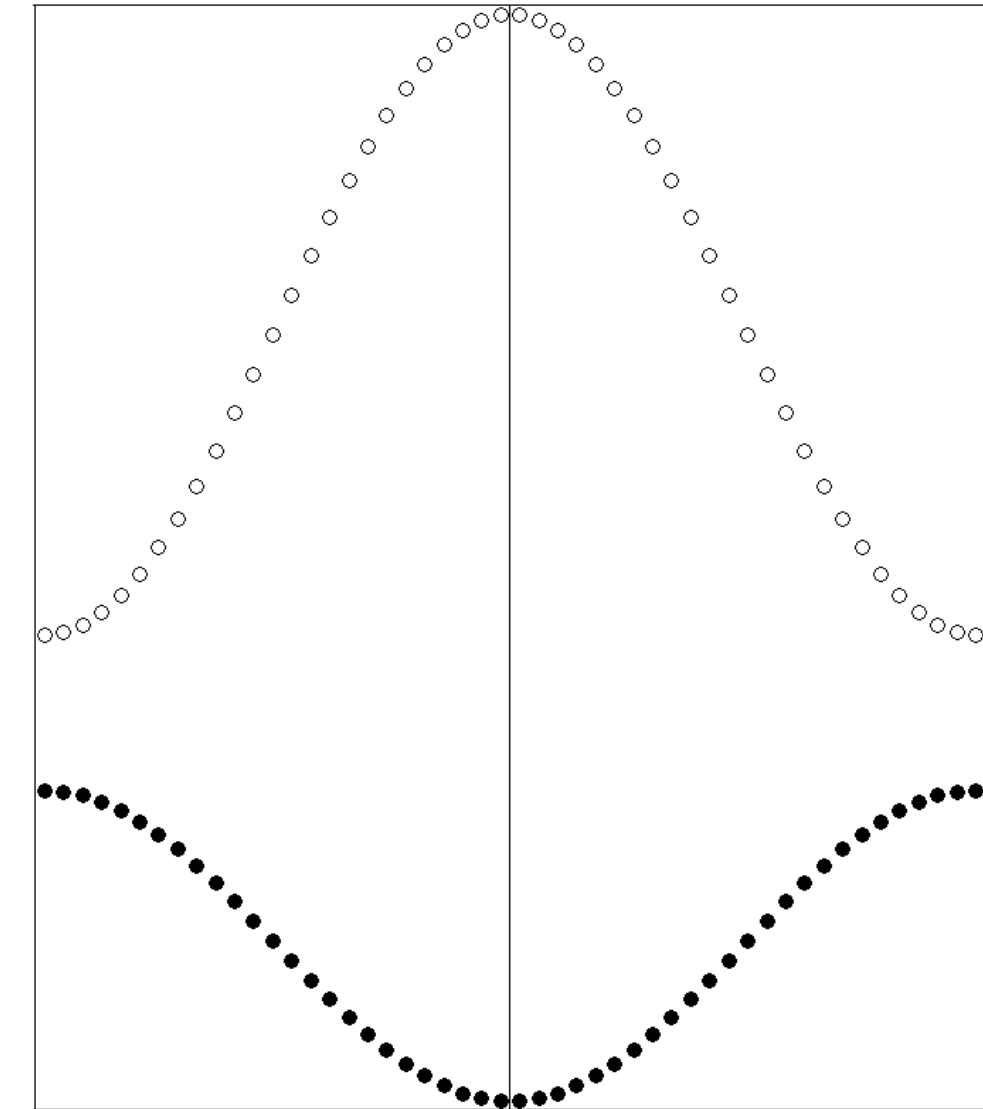
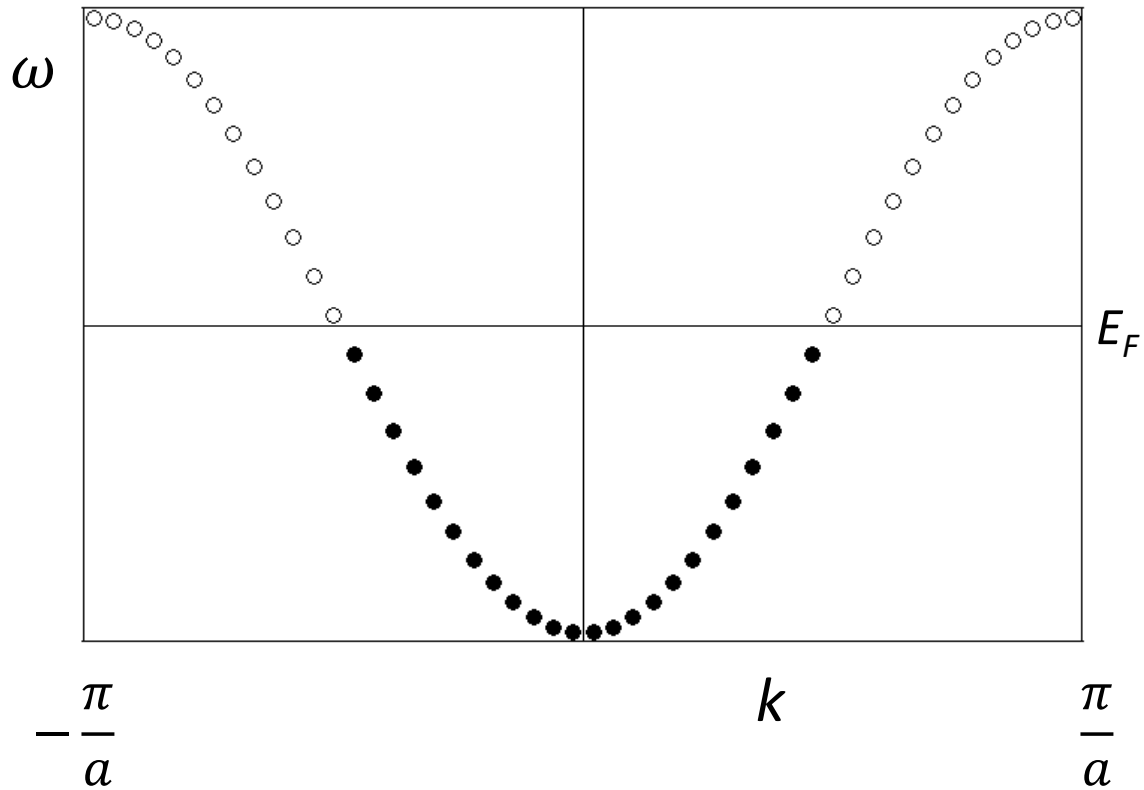
CDW in transition metal dichalcogenides



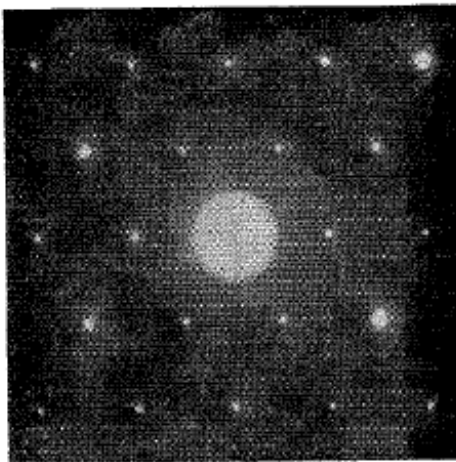
Molar susceptibilities versus T of a variety of tantalum dichalcogenides.



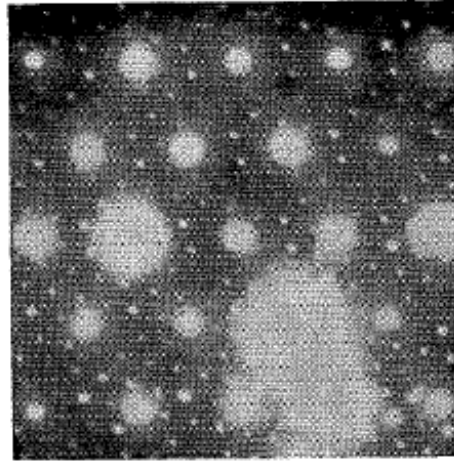
Metal vs Insulator



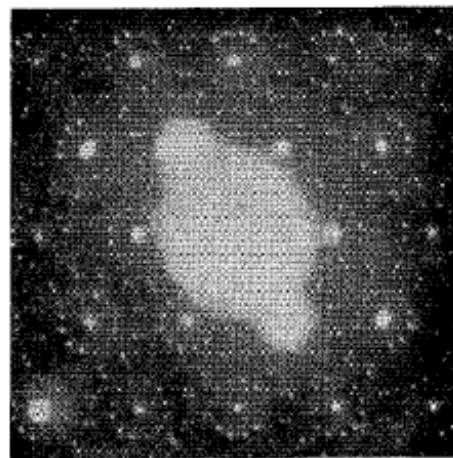
CDW in transition metal dichalcogenides



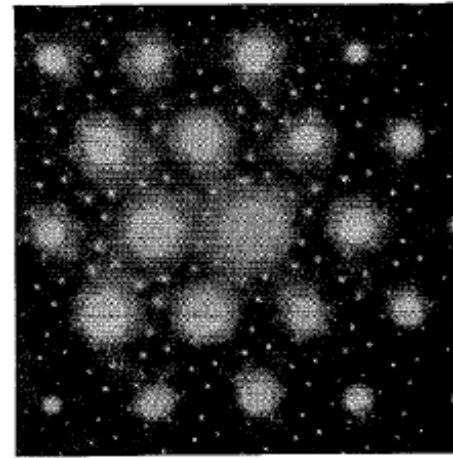
(i)



(ii)



(iii)



(iv)

Electron diffraction plates showing superlattice formation.

(i) 2H-TaS% (300°K).

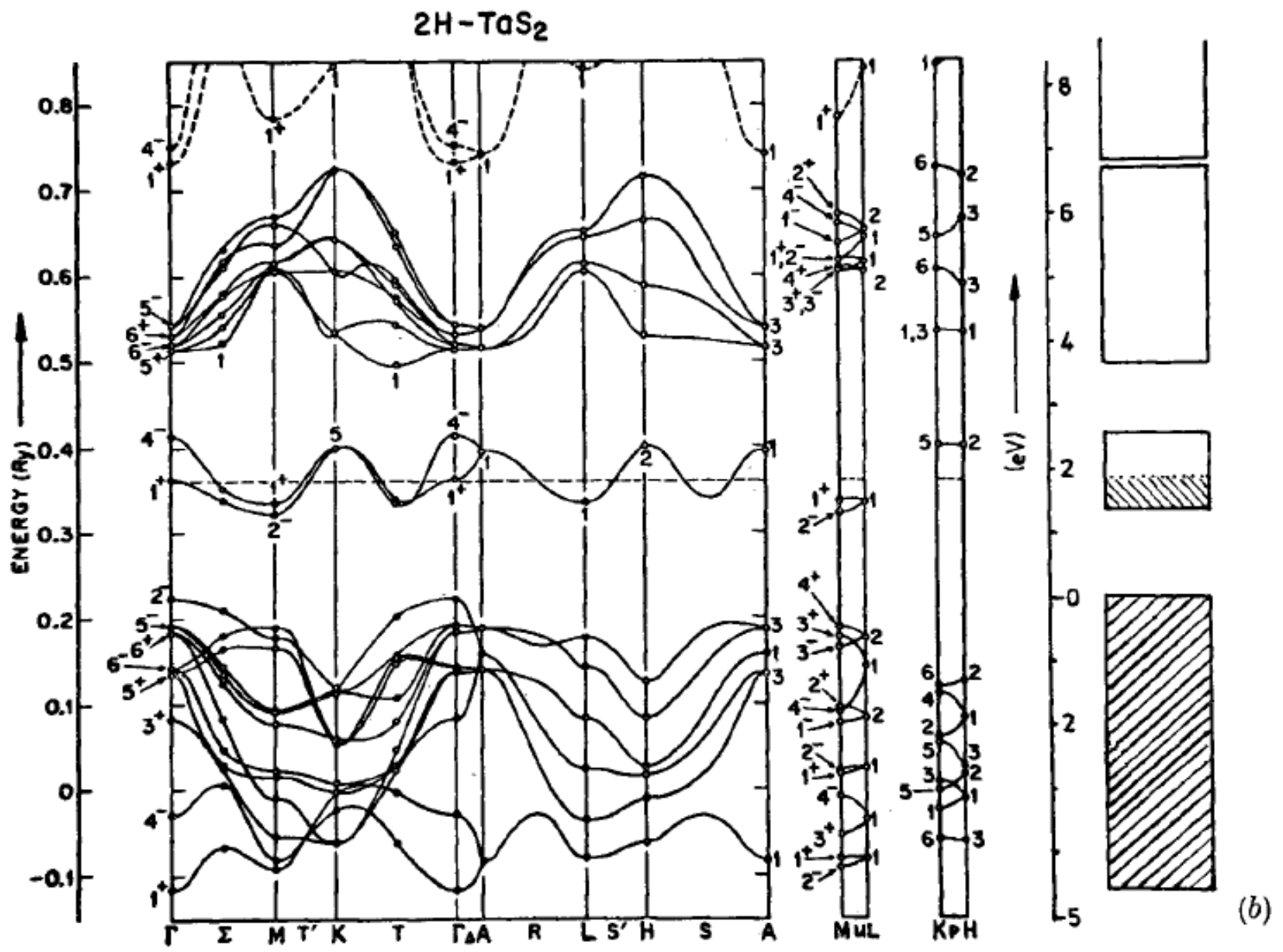
A crystal showing standard a o parameter.

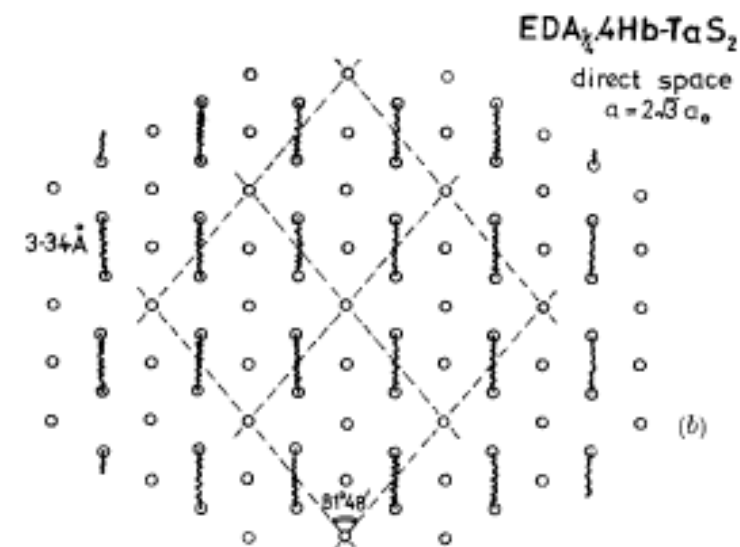
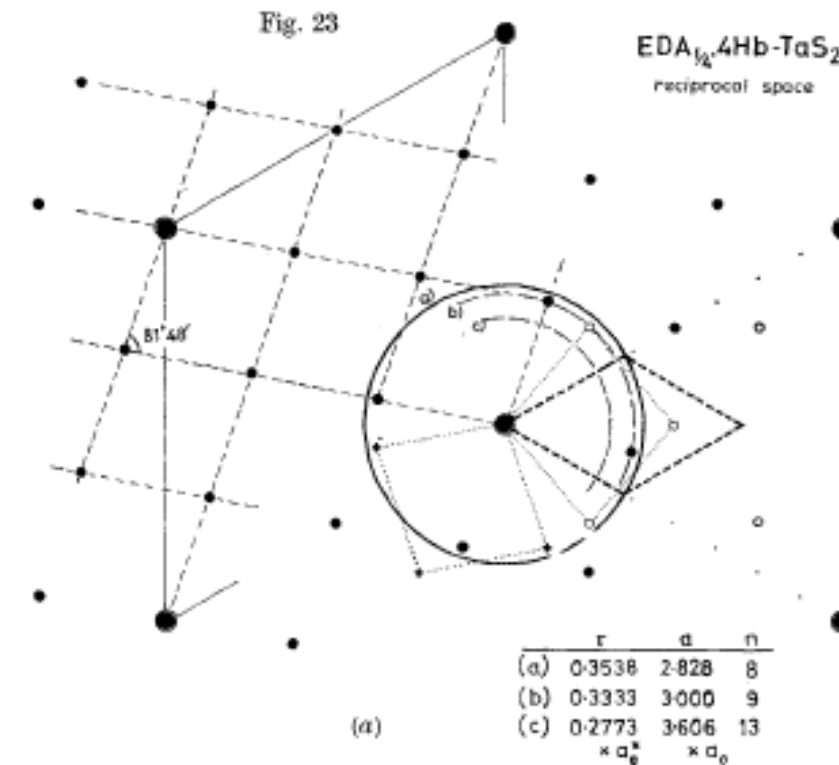
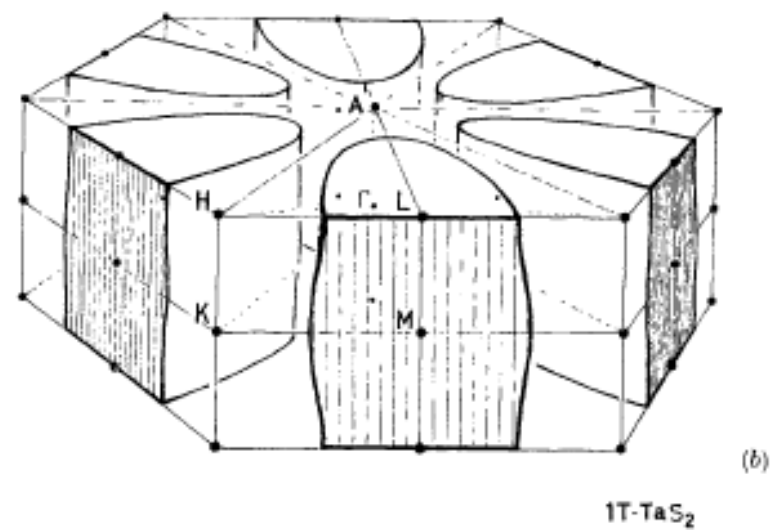
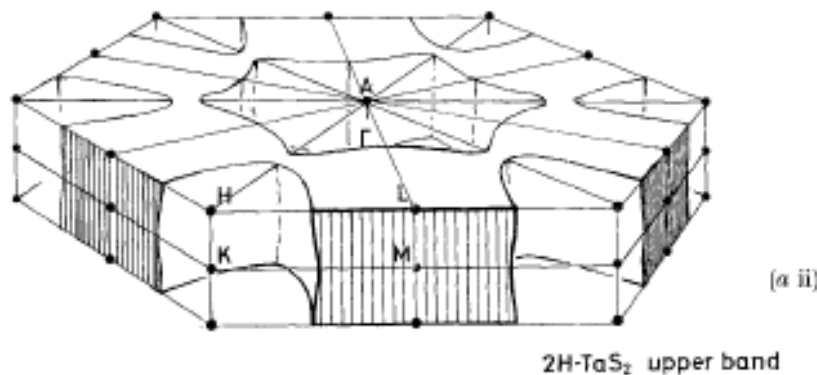
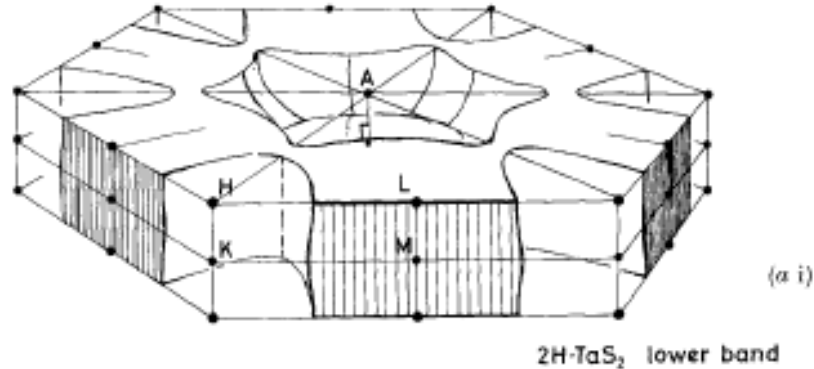
(ii) 1T-TaS% (300°K). Pattern, for well-oriented sample, from $\sim/(13)$ superlattice.

(iii)

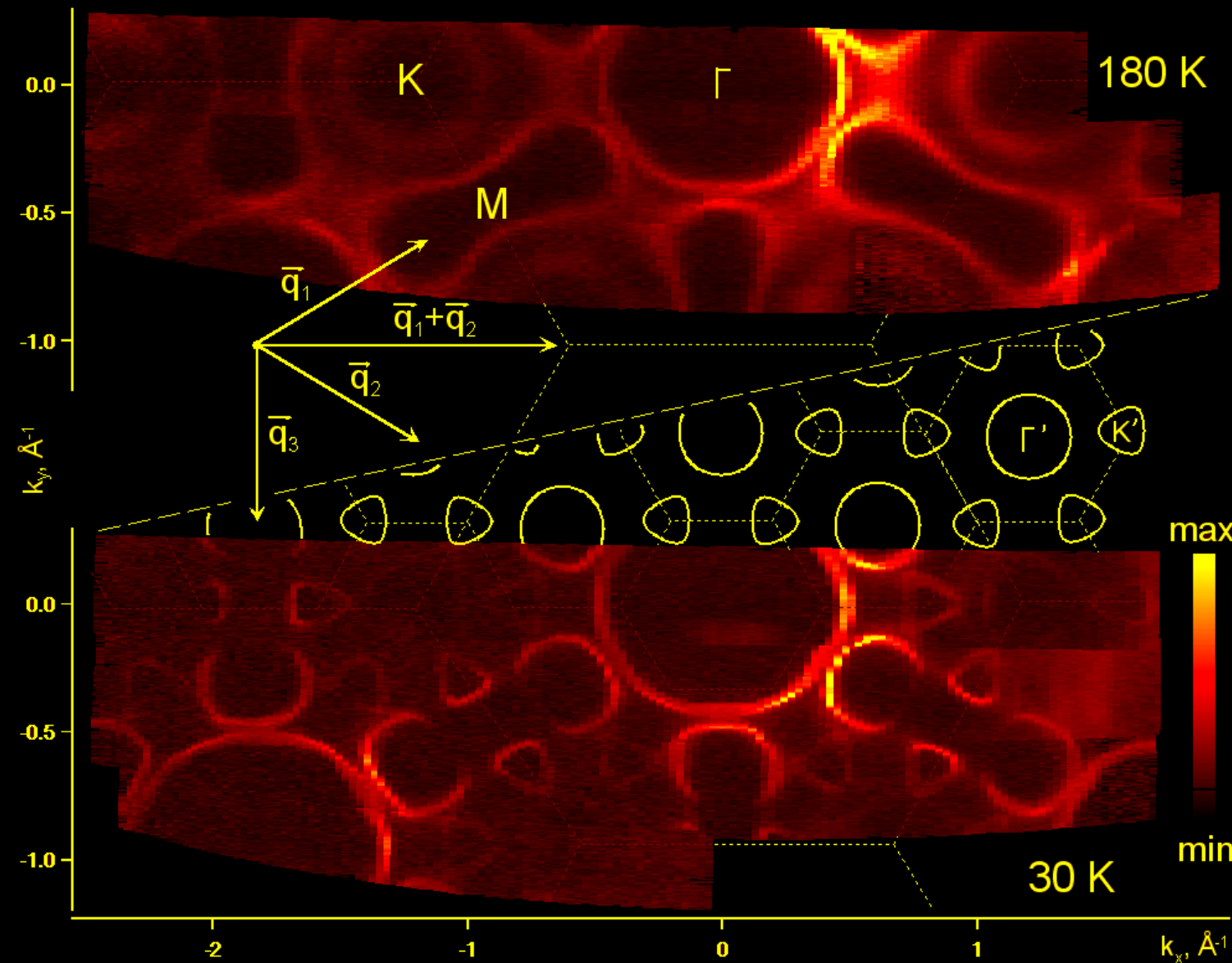
4Hb-TaS₂ (300°K). Pattern indexable on 13 superlattice. Equivalent to superposition of \sim and $/\sim$ -domain patterns.

(iv) 1T-TaS \sim (300°K). Basically $\sim/(13)a$ o superlattice pattern (here of \sim -dolnain type), but with complex 'decoration'.

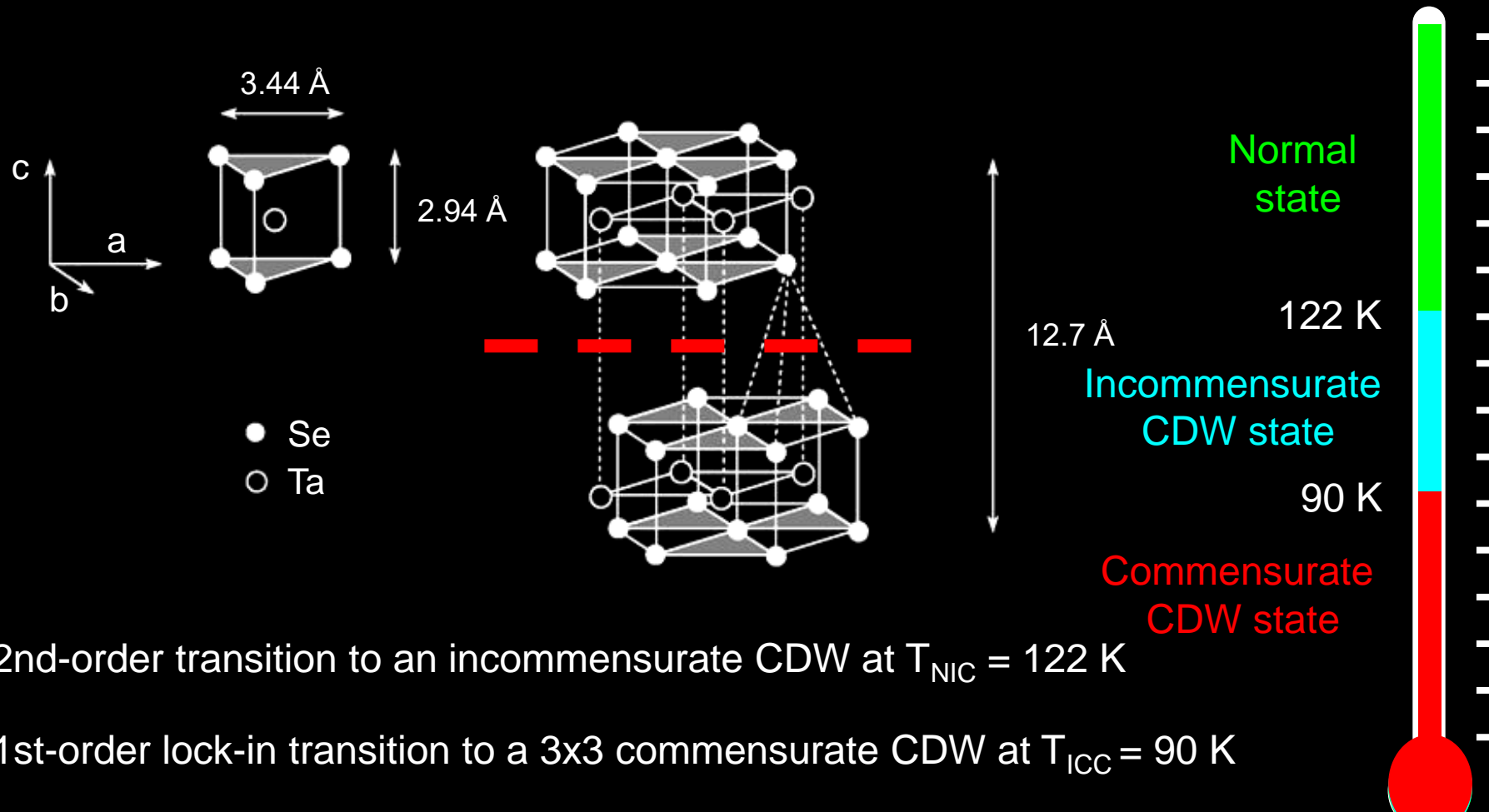




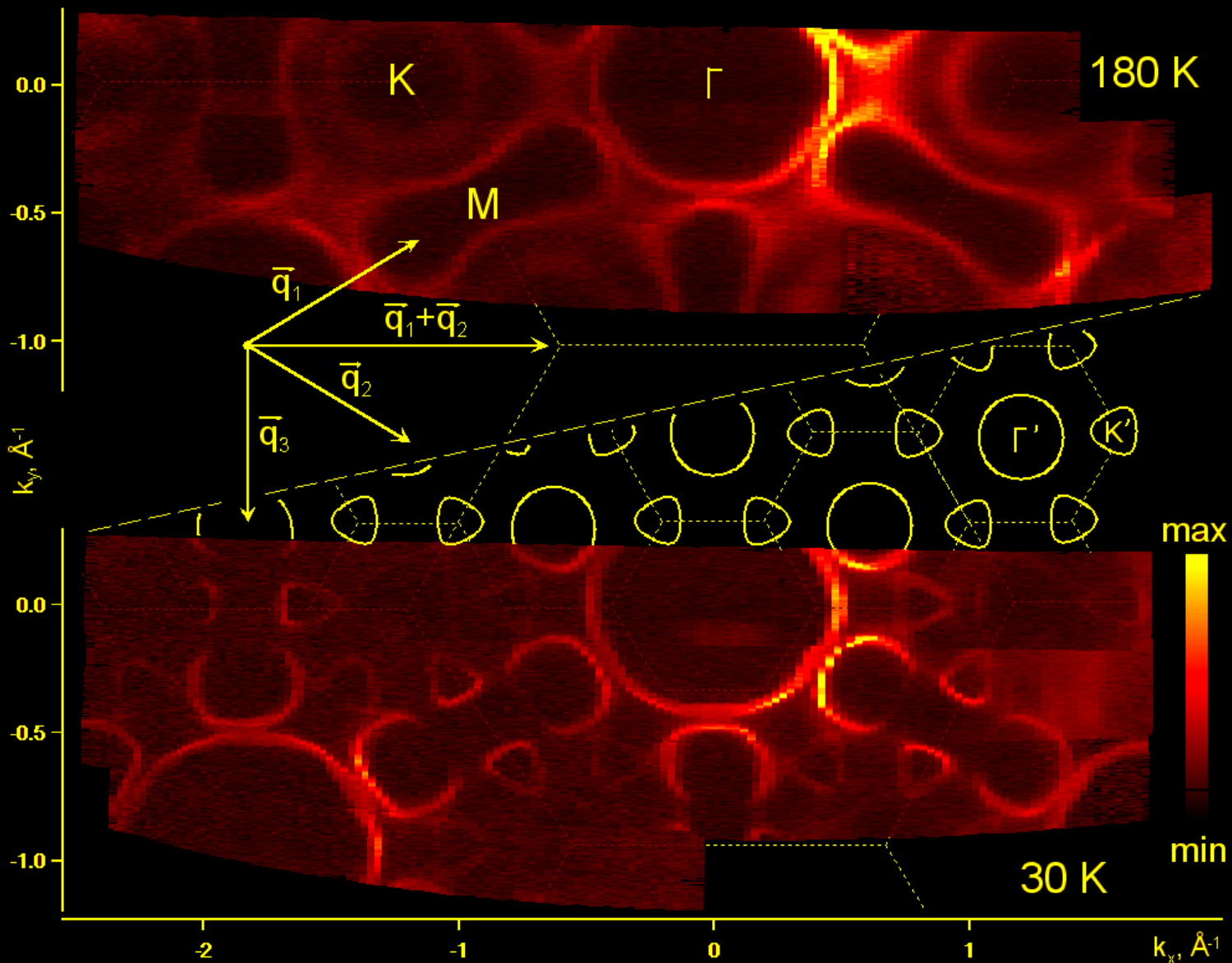
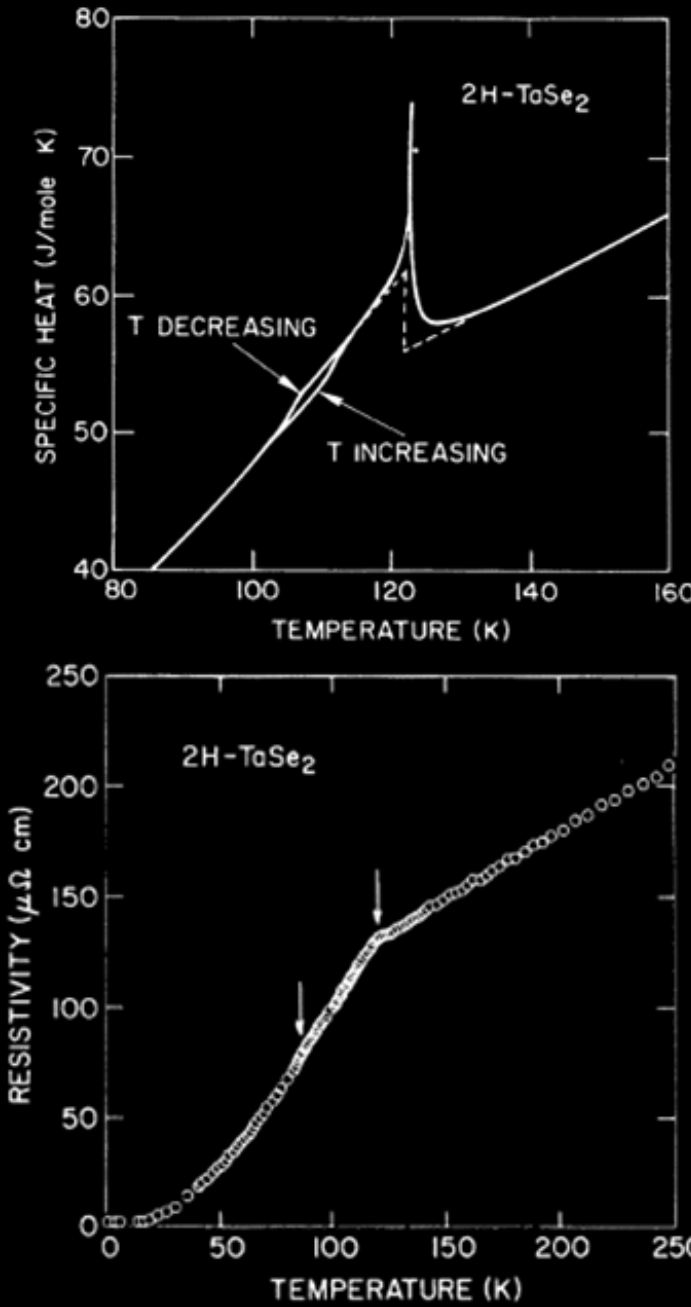
CDW in TaSe₂: commensurate CDW state



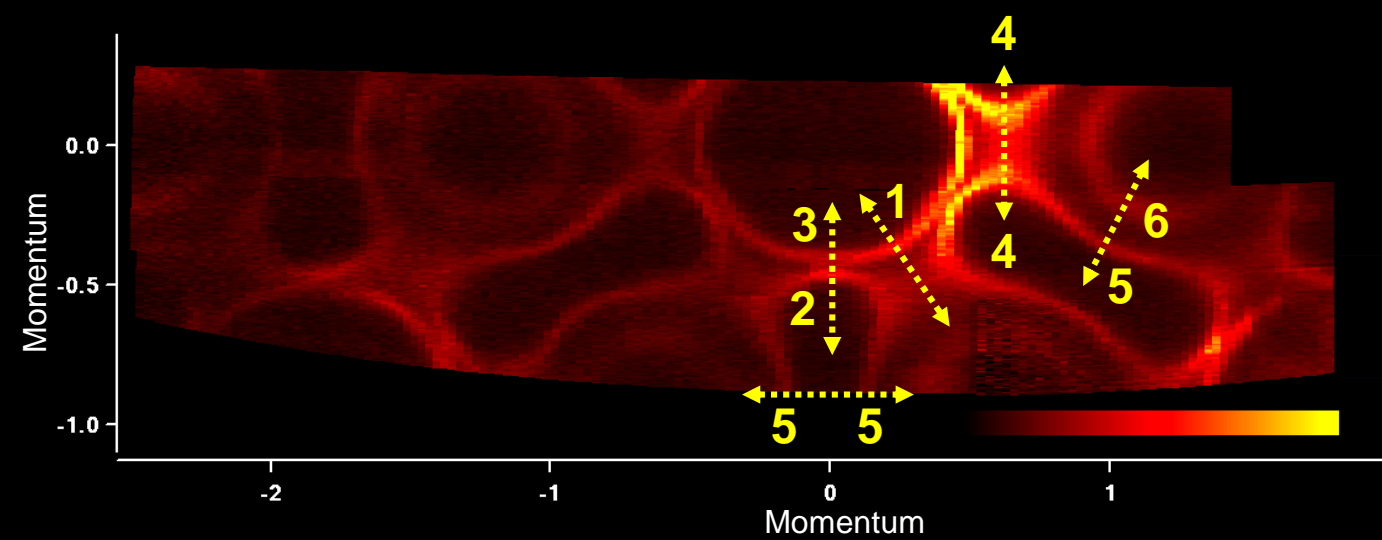
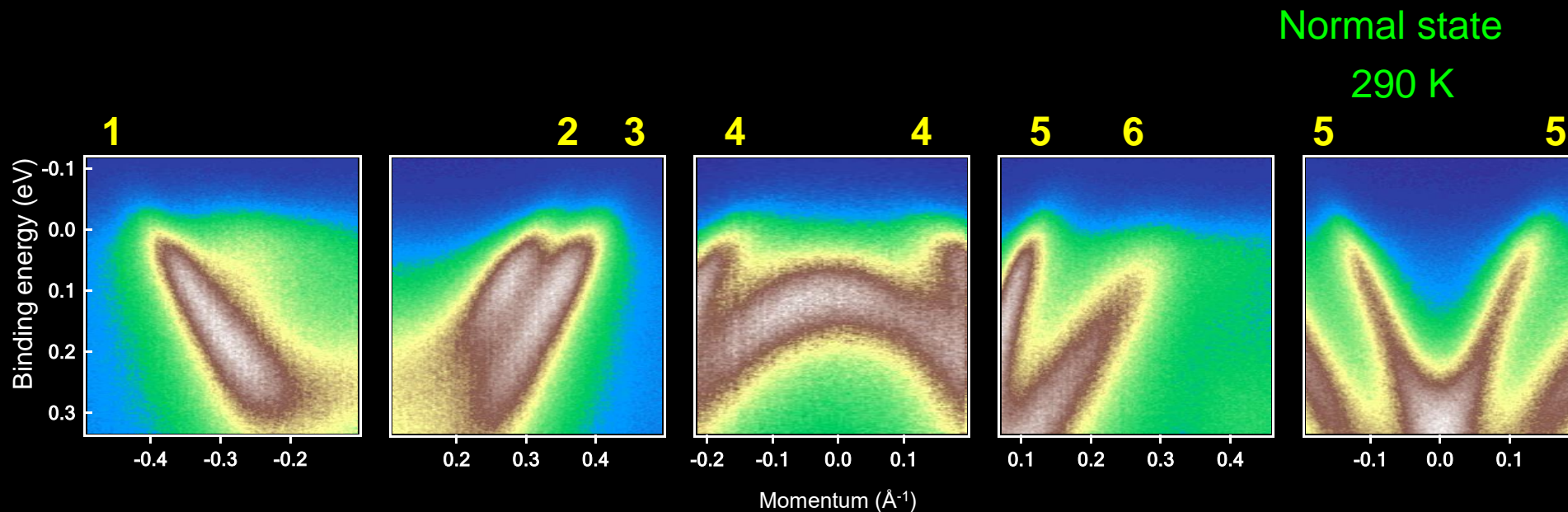
2H-TaSe₂ crystal structure, CDW transitions



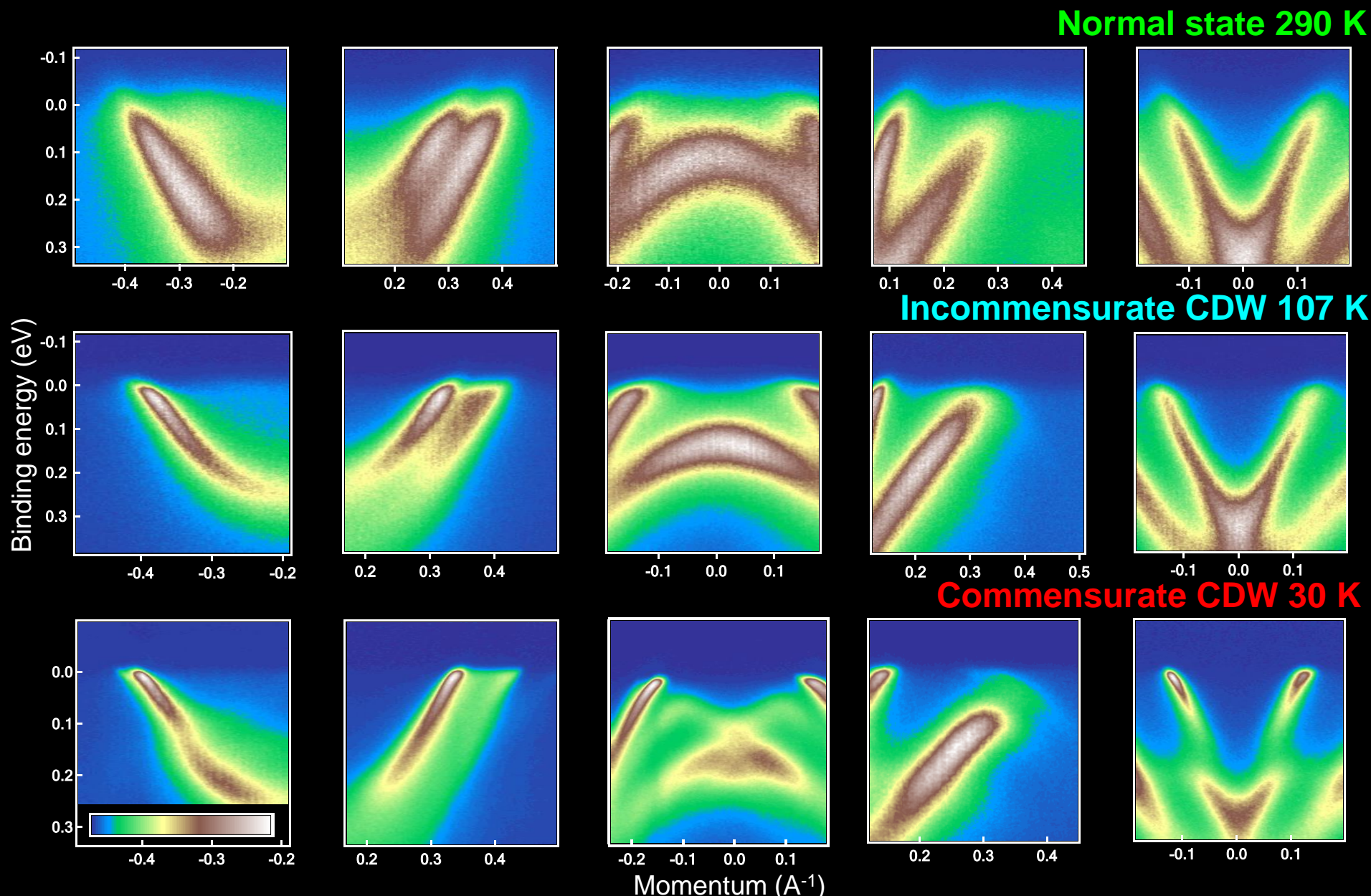
CDW in TaSe₂: commensurate CDW state



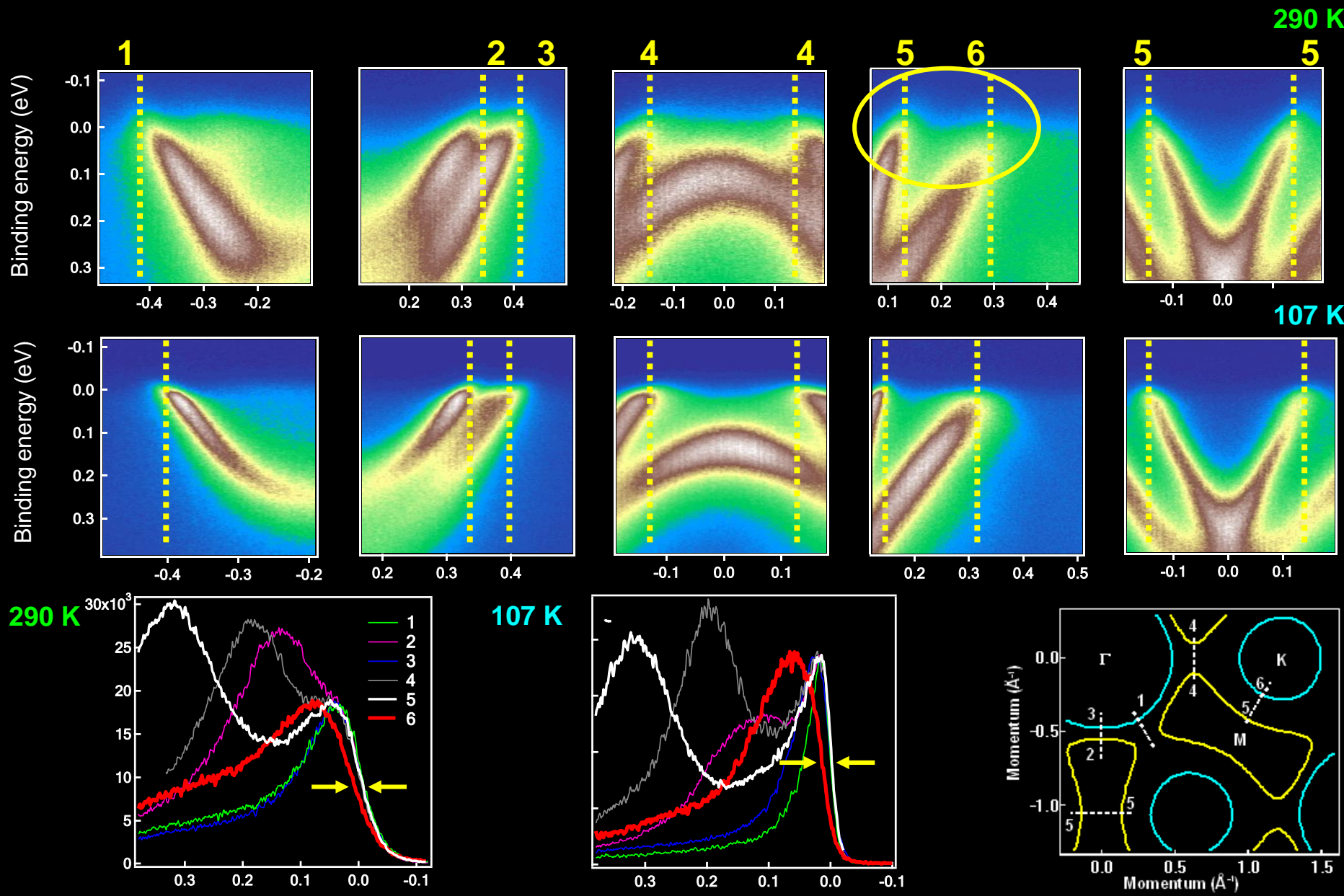
Normal state of 2H-TaSe₂



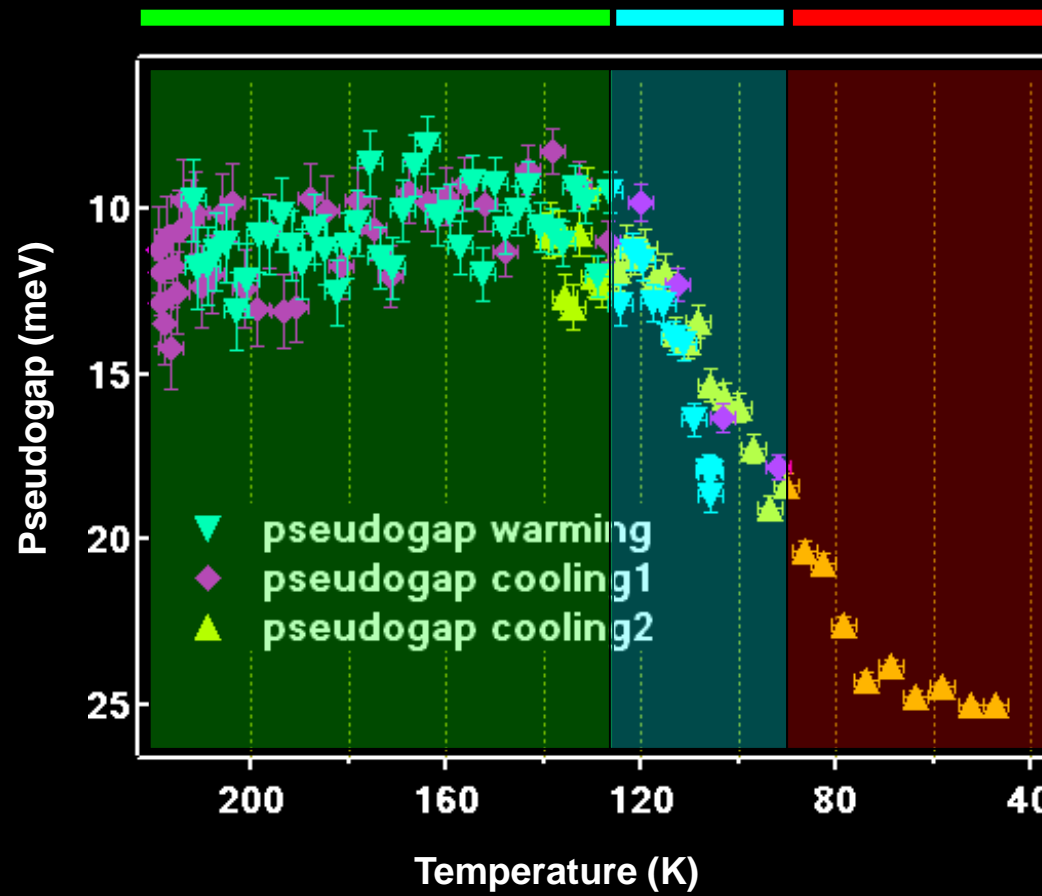
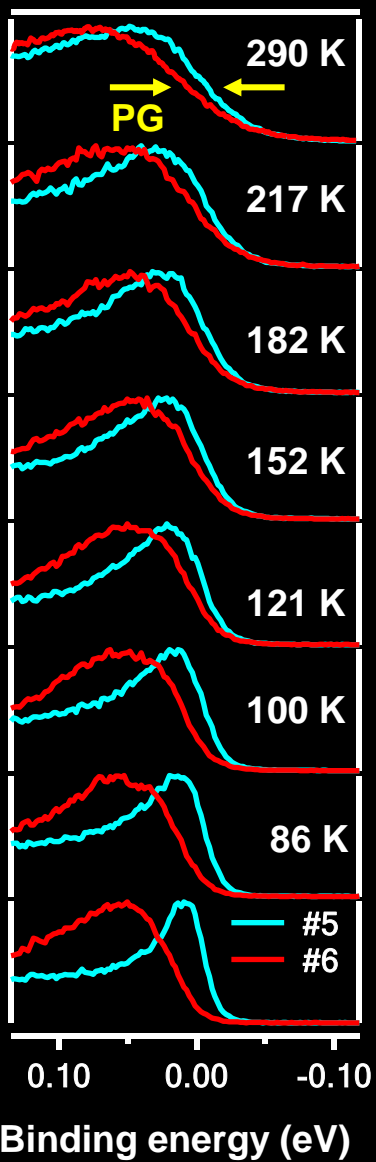
Commensurate CDW state of 2H-TaSe₂



Comparison: IC-CDW and normal state

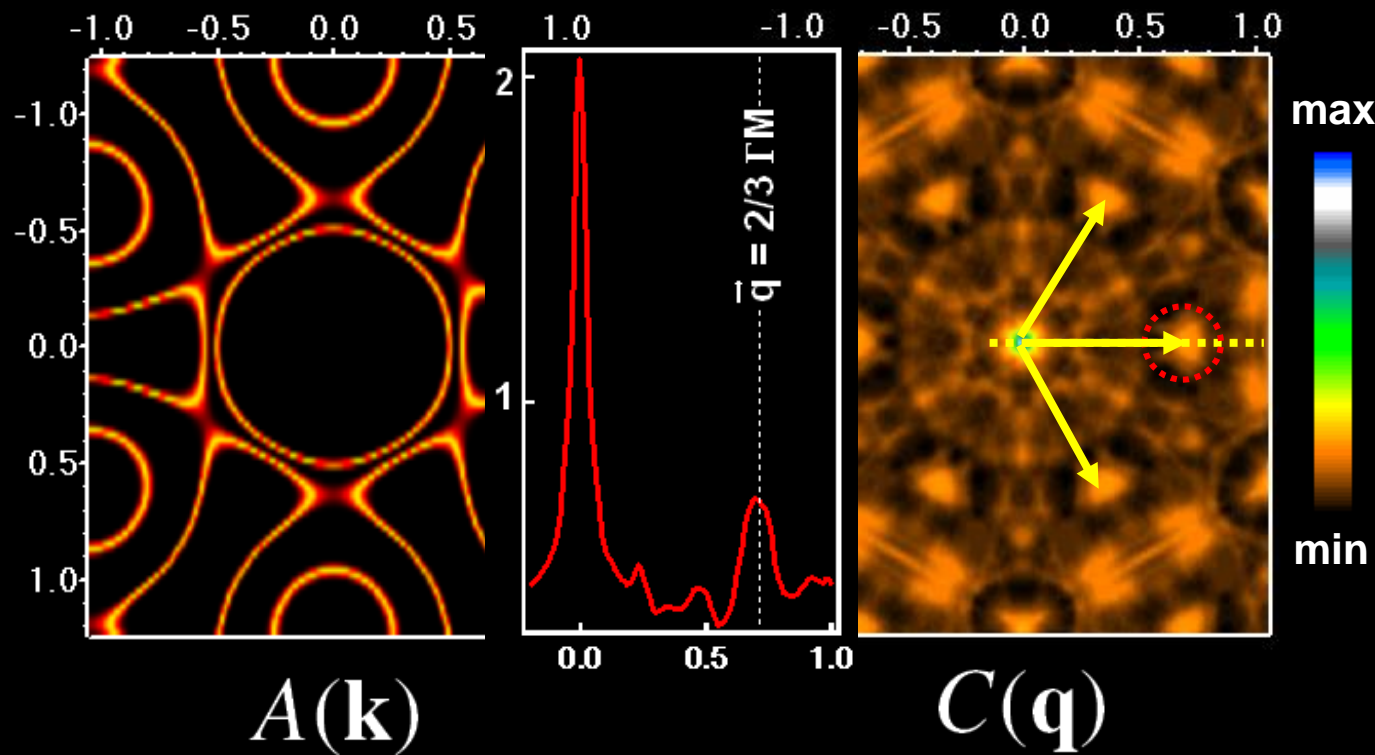


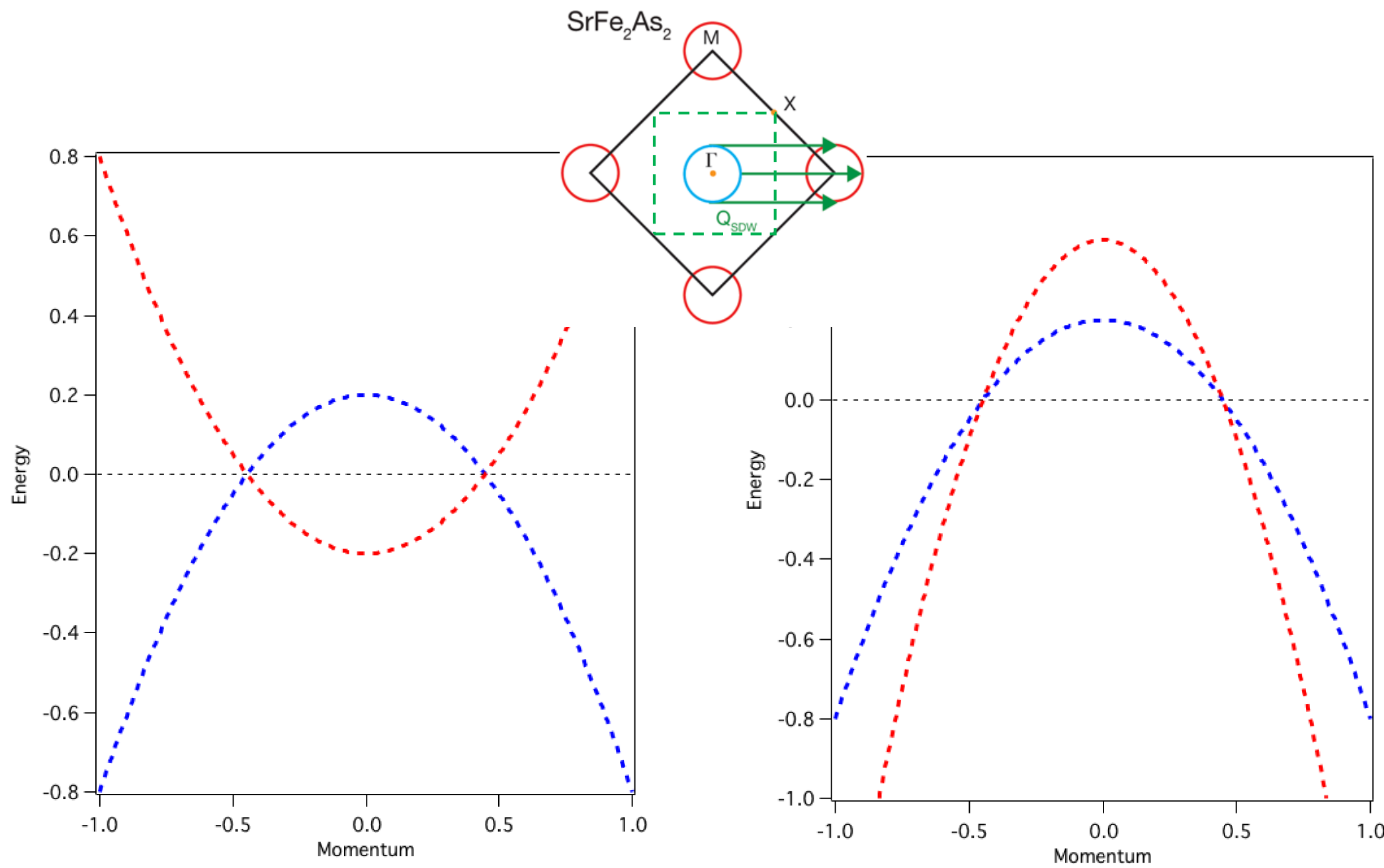
Pseudogap as a function of temperature

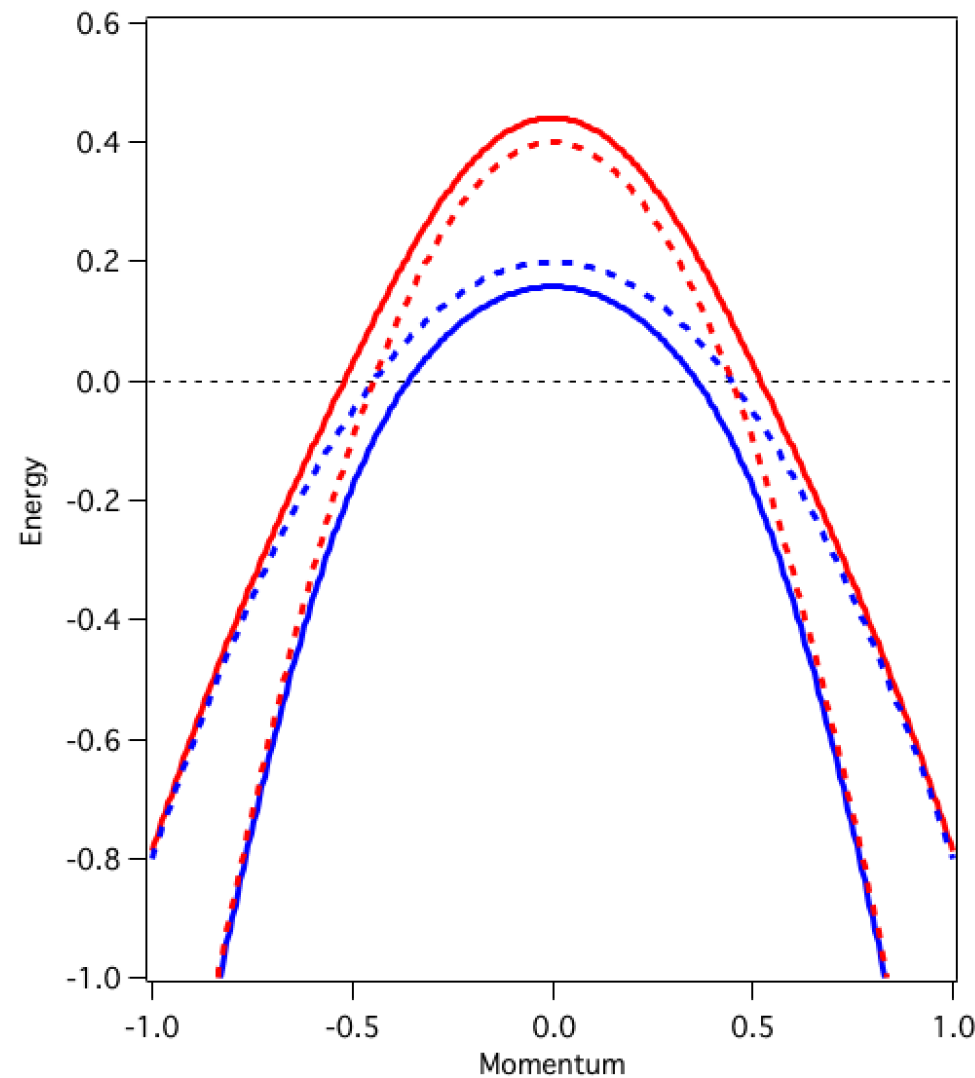
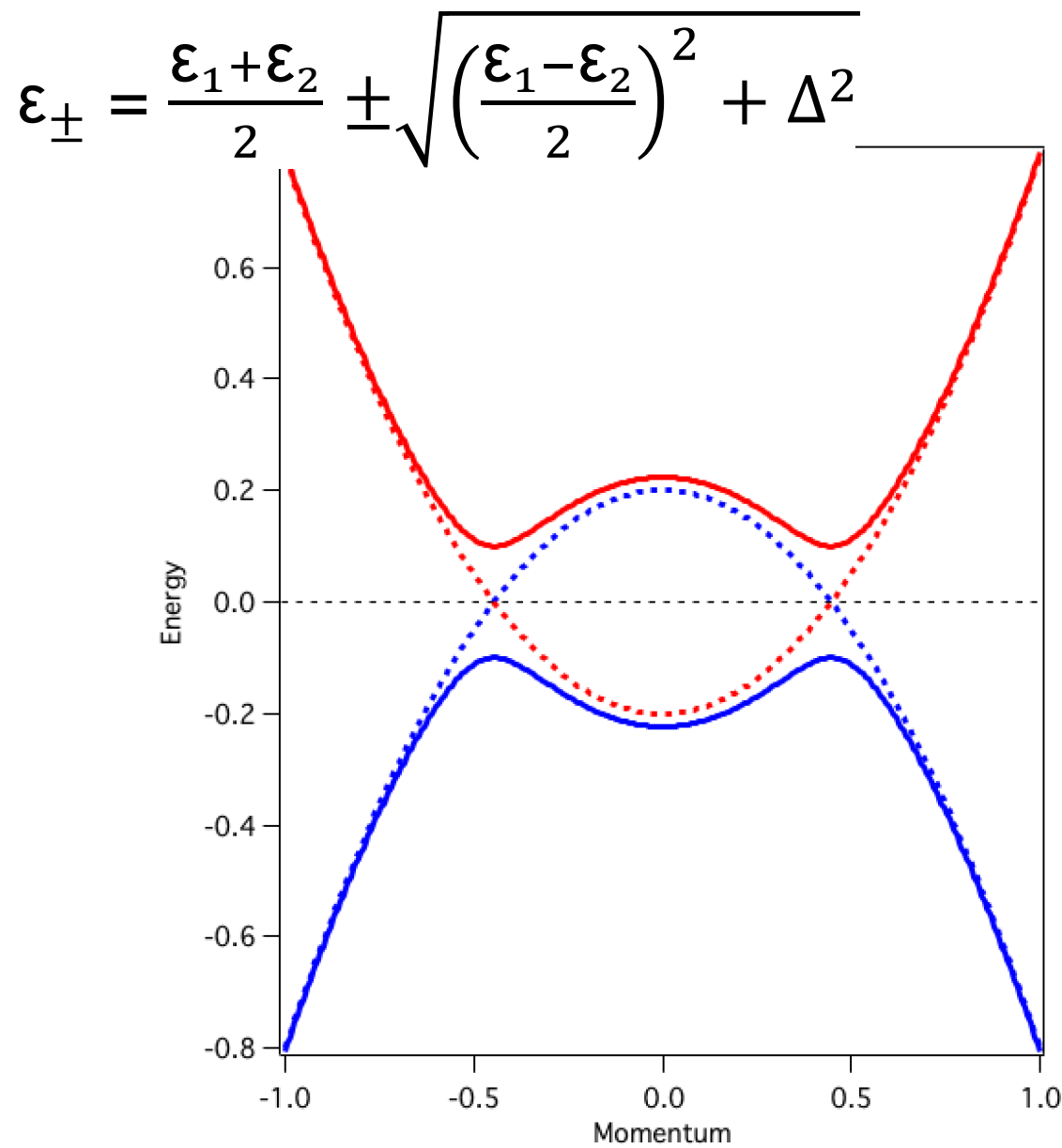


Autocorrelation – measure of nesting

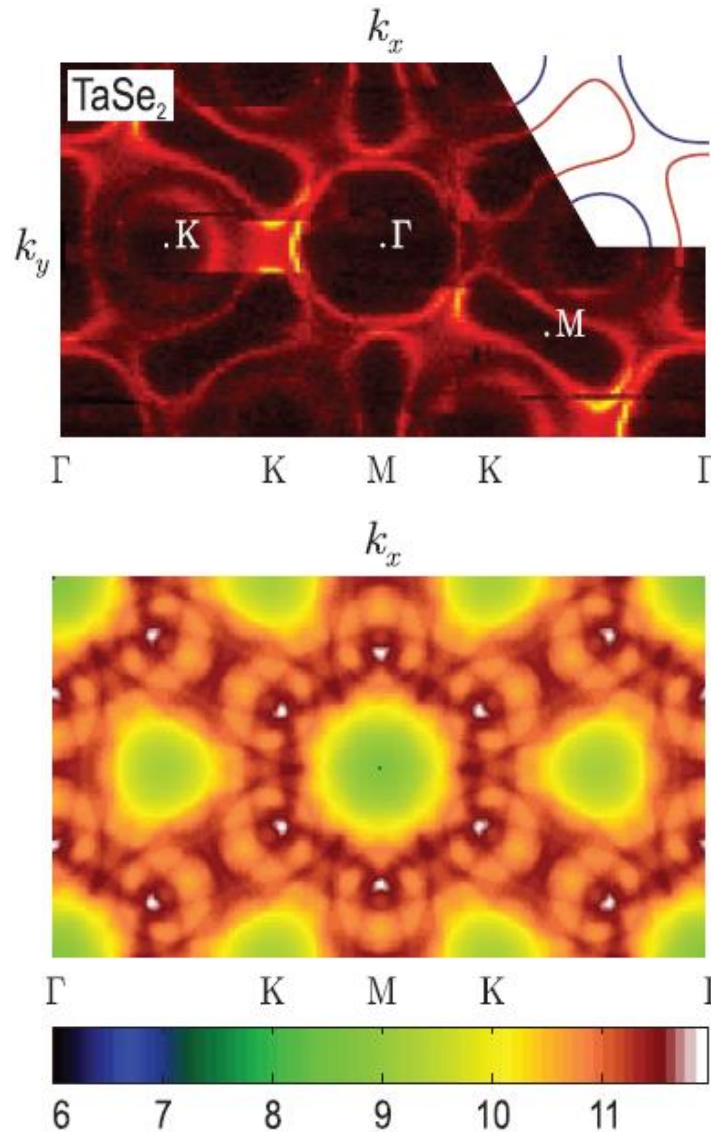
$$\text{AC } A(\mathbf{k}) = \int A(\mathbf{k})A(\mathbf{k} + \mathbf{q}) d\mathbf{k} = C(\mathbf{q}) \quad 290 \text{ K}$$





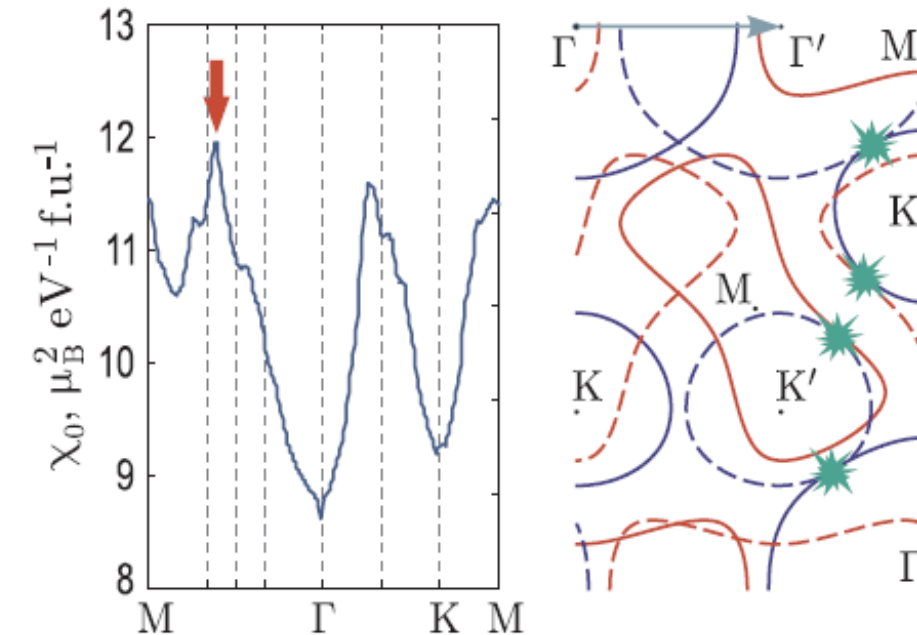


Fermi surface nesting and Lindhard function



$$\chi_{\mathbf{q}} = \sum_{\mathbf{k}} [n_F(\epsilon_{\mathbf{k}}) - n_F(\epsilon_{\mathbf{k}+\mathbf{q}})] / (\epsilon_{\mathbf{k}} - \epsilon_{\mathbf{k}+\mathbf{q}})$$

$$\chi = G \star G$$

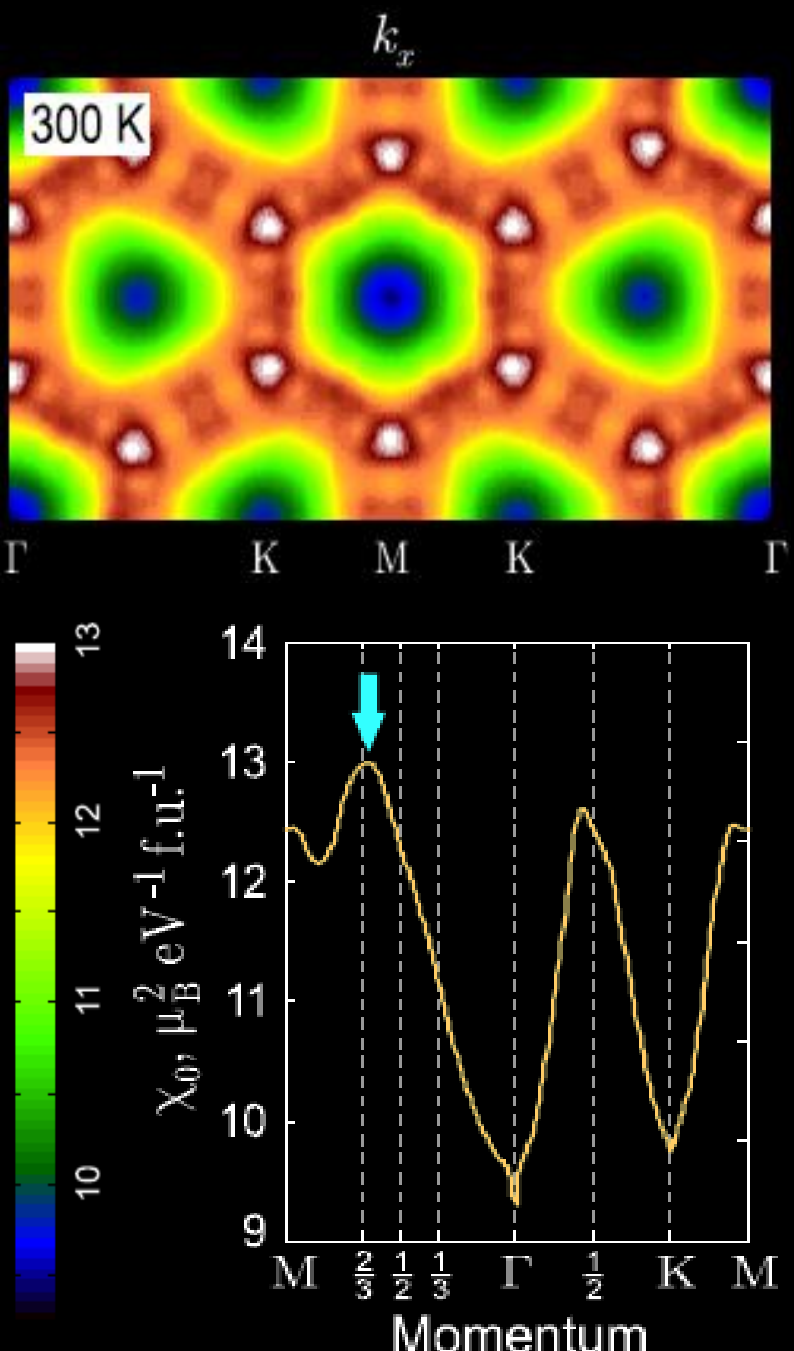


Electron susceptibility

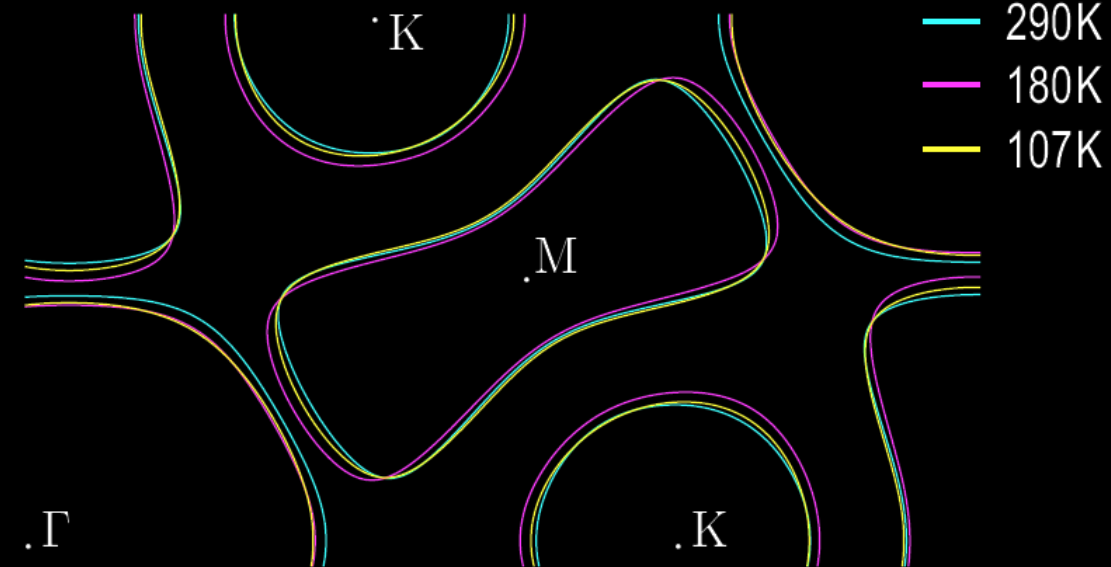
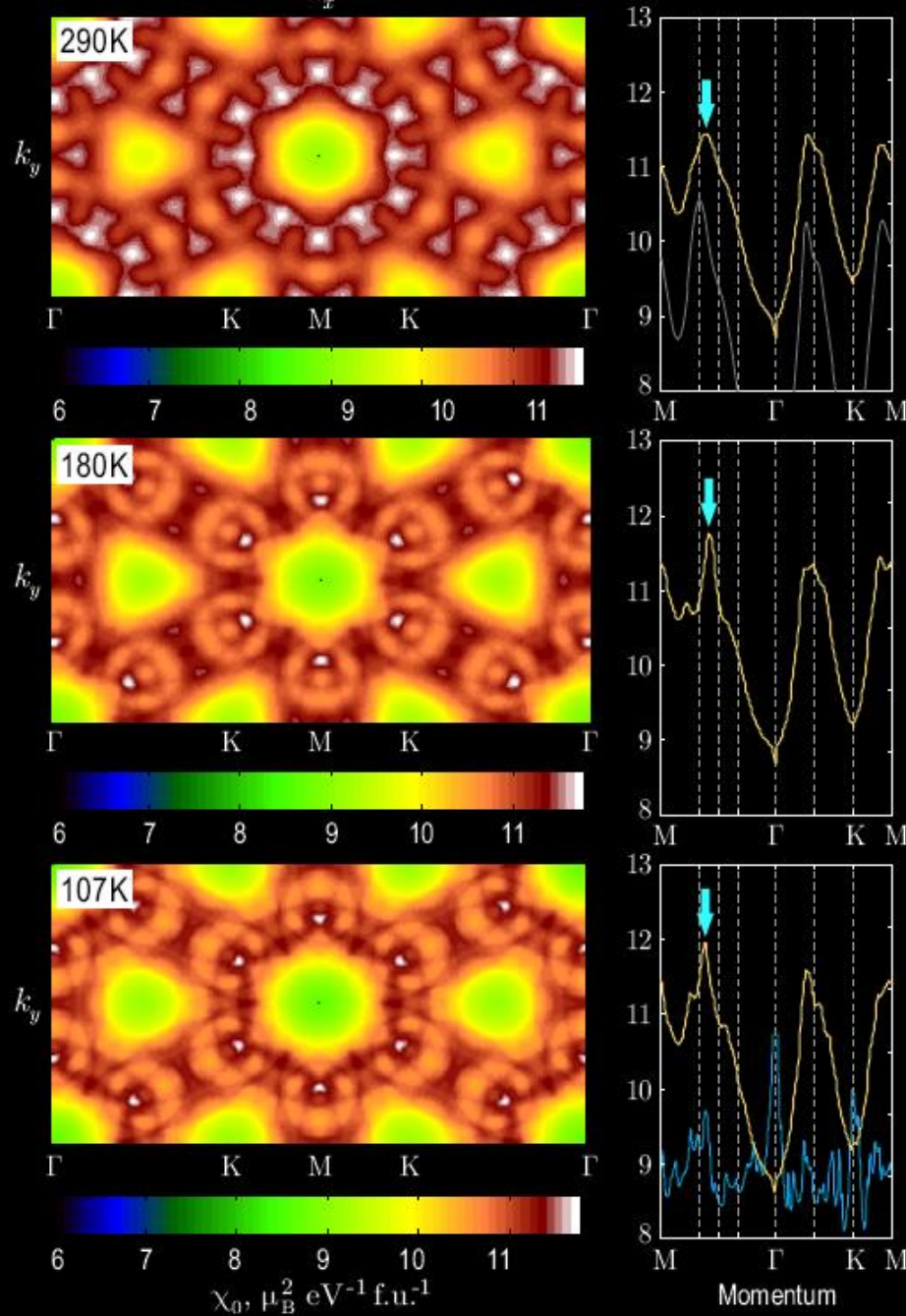
$$\chi_0(\mathbf{q}, \omega) = 2 \int \frac{d\mathbf{k}}{(2\pi)^d} \frac{n_F(\epsilon_{\mathbf{k}}) - n_F(\epsilon_{\mathbf{k}+\mathbf{q}})}{\epsilon_{\mathbf{k}} - \epsilon_{\mathbf{k}+\mathbf{q}} + \omega + i0^+}$$

Lindhard functions at $\omega \rightarrow 0$

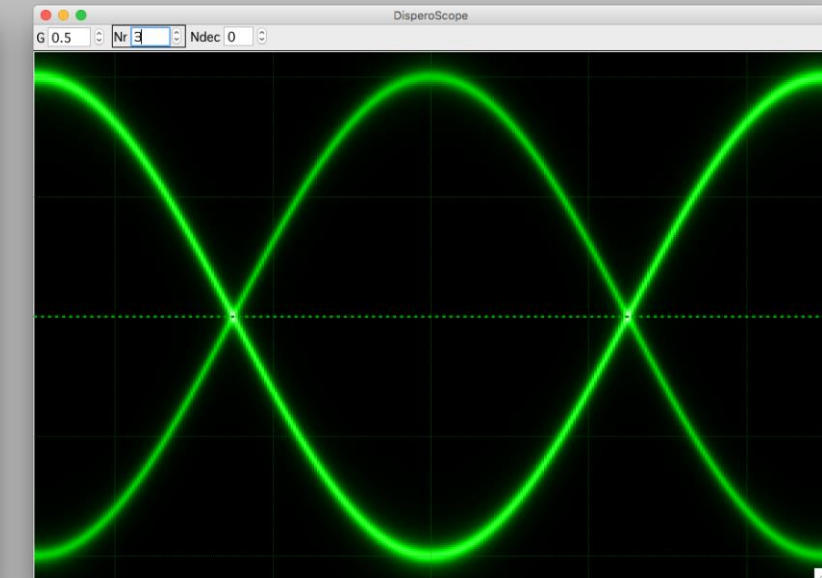
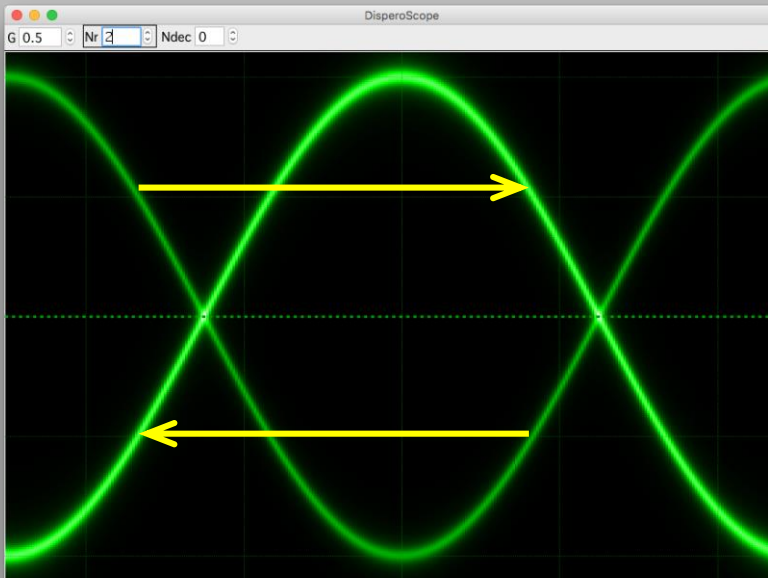
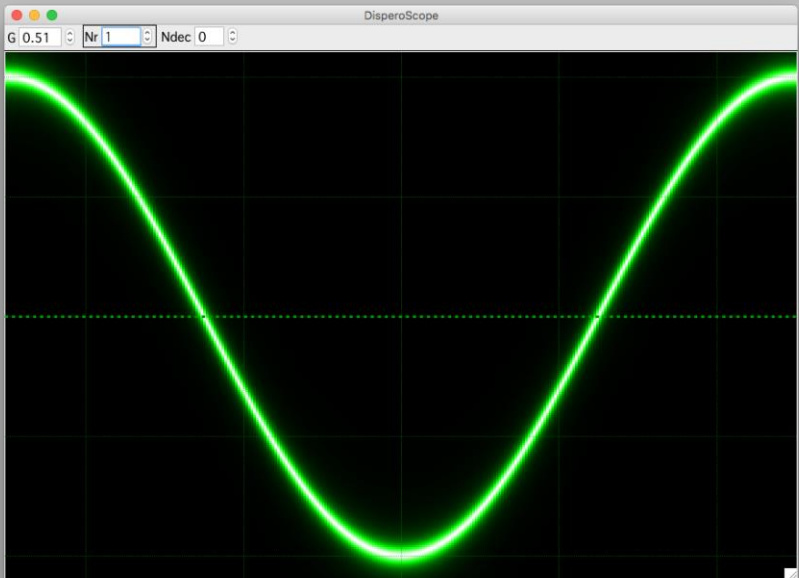
$$\begin{aligned} \chi_{\mathbf{q}} &= \sum_{\mathbf{k}} \frac{n_F(\epsilon_{\mathbf{k}}^a) - n_F(\epsilon_{\mathbf{k}+\mathbf{q}}^a)}{\epsilon_{\mathbf{k}}^a - \epsilon_{\mathbf{k}+\mathbf{q}}^a} + \sum_{\mathbf{k}} \frac{n_F(\epsilon_{\mathbf{k}}^a) - n_F(\epsilon_{\mathbf{k}+\mathbf{q}}^b)}{\epsilon_{\mathbf{k}}^a - \epsilon_{\mathbf{k}+\mathbf{q}}^b} \\ &+ \sum_{\mathbf{k}} \frac{n_F(\epsilon_{\mathbf{k}}^b) - n_F(\epsilon_{\mathbf{k}+\mathbf{q}}^a)}{\epsilon_{\mathbf{k}}^b - \epsilon_{\mathbf{k}+\mathbf{q}}^a} + \sum_{\mathbf{k}} \frac{n_F(\epsilon_{\mathbf{k}}^b) - n_F(\epsilon_{\mathbf{k}+\mathbf{q}}^b)}{\epsilon_{\mathbf{k}}^b - \epsilon_{\mathbf{k}+\mathbf{q}}^b} \end{aligned}$$



Temperatuire variations

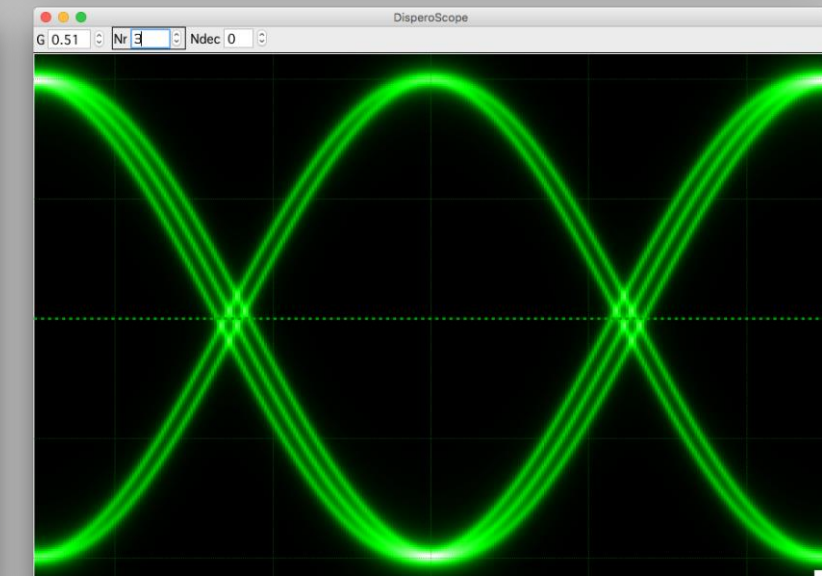
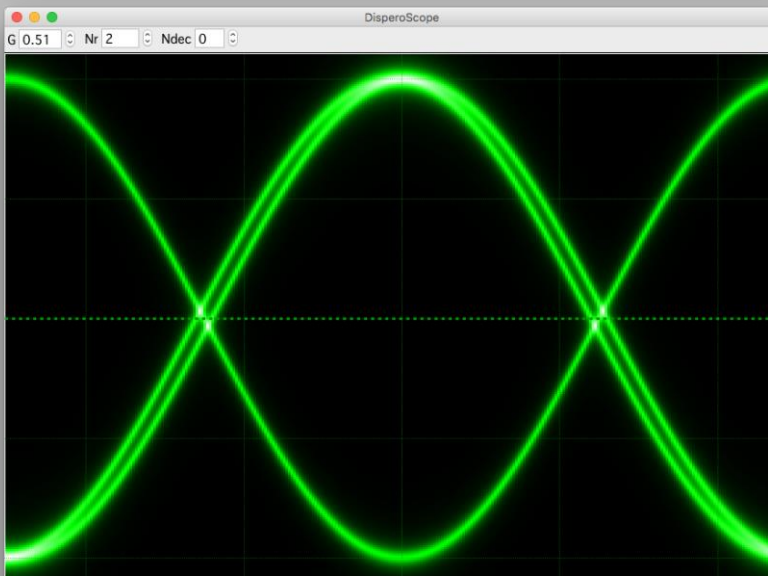


Commensurate vs Incommensurate

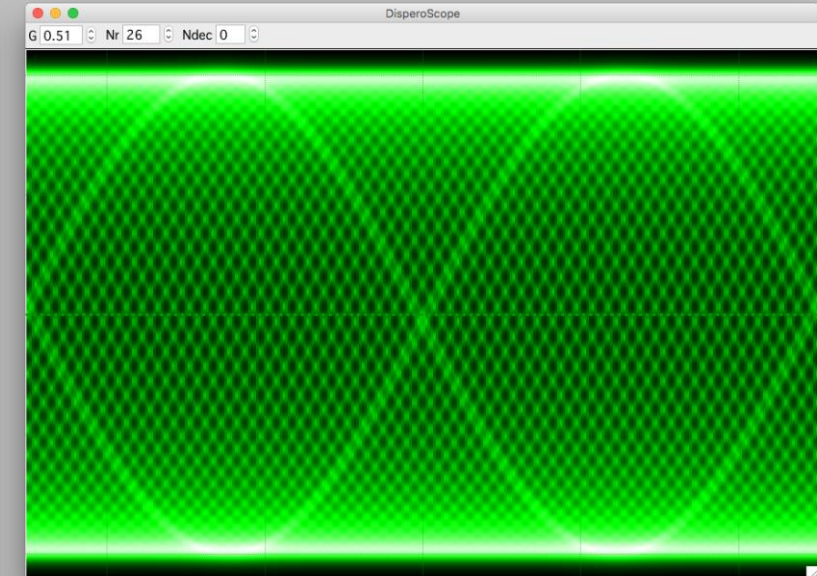
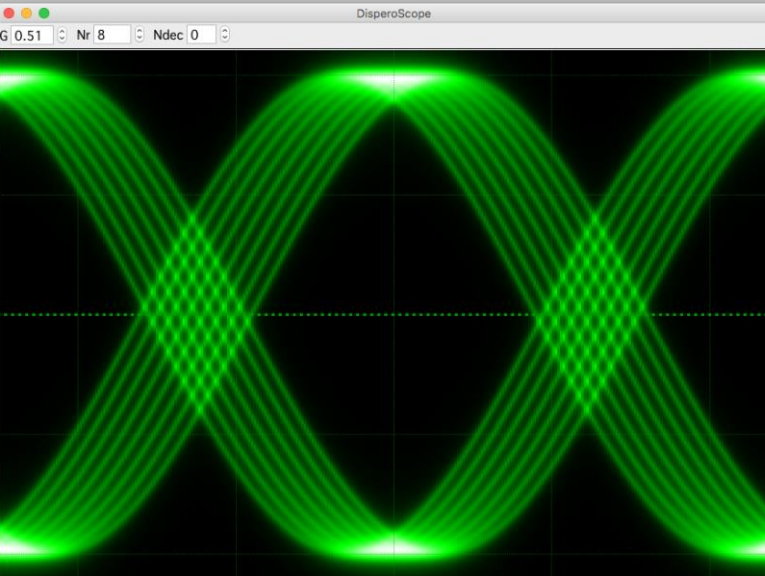
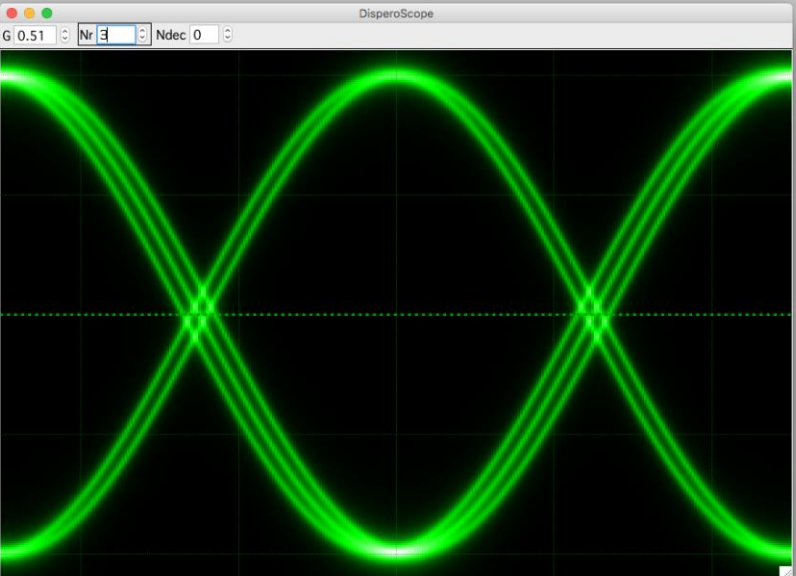


$$A(k, \omega) = \sum_{i=-(Nr-1)}^{Nr-1} \frac{1}{(\omega - \varepsilon_i(k))^2 + \delta^2}$$

$$\varepsilon_i(k) = -\cos[2\pi(x + Gi)]$$

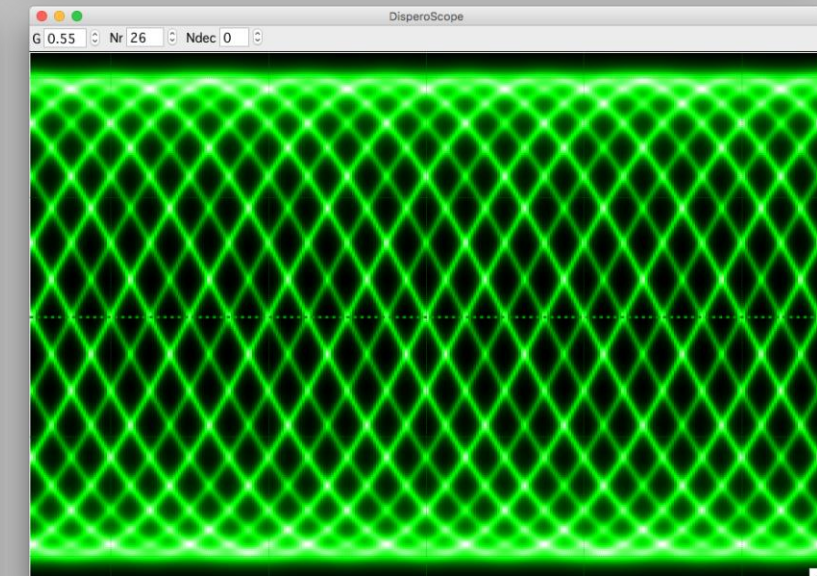
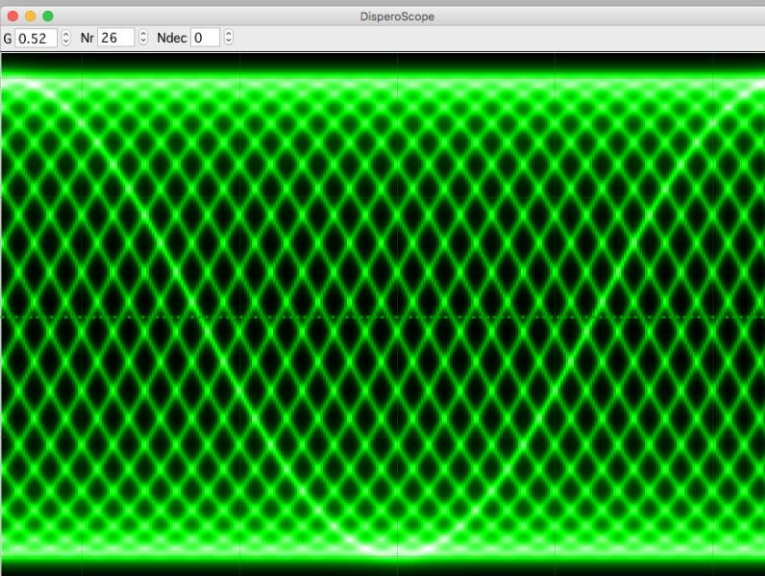


Commensurate vs Incommensurate

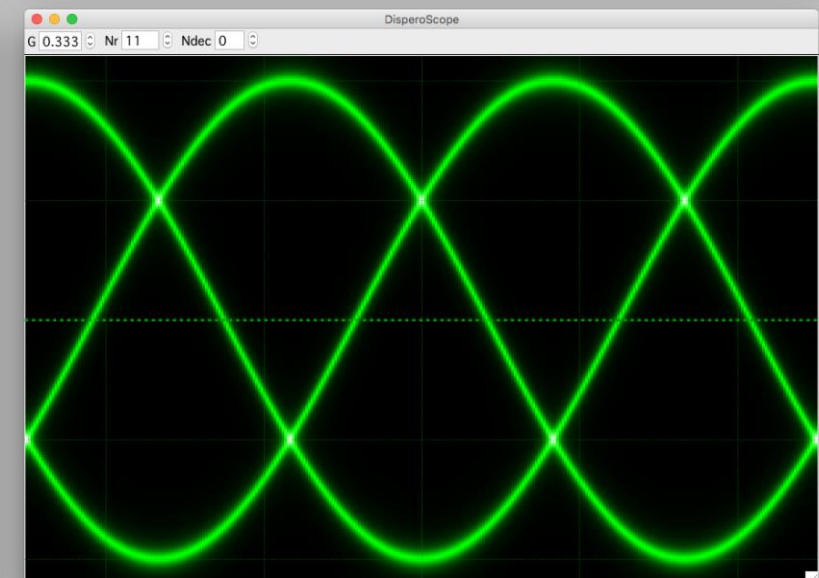
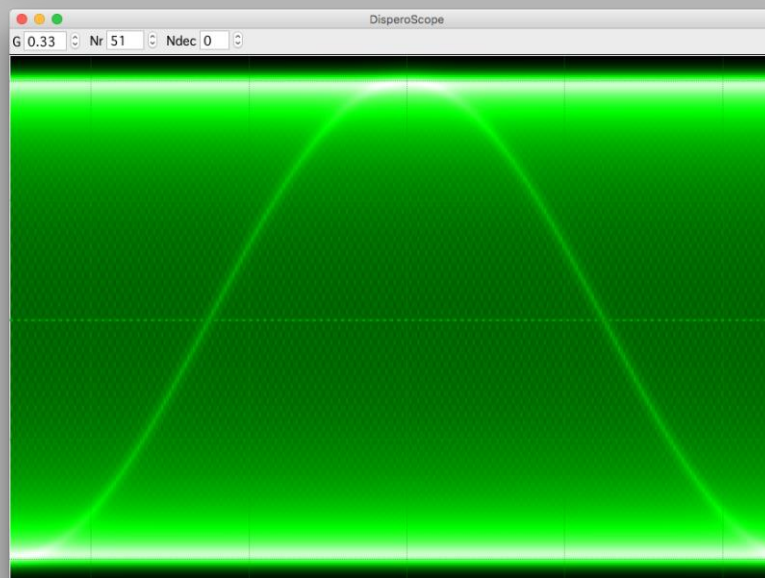
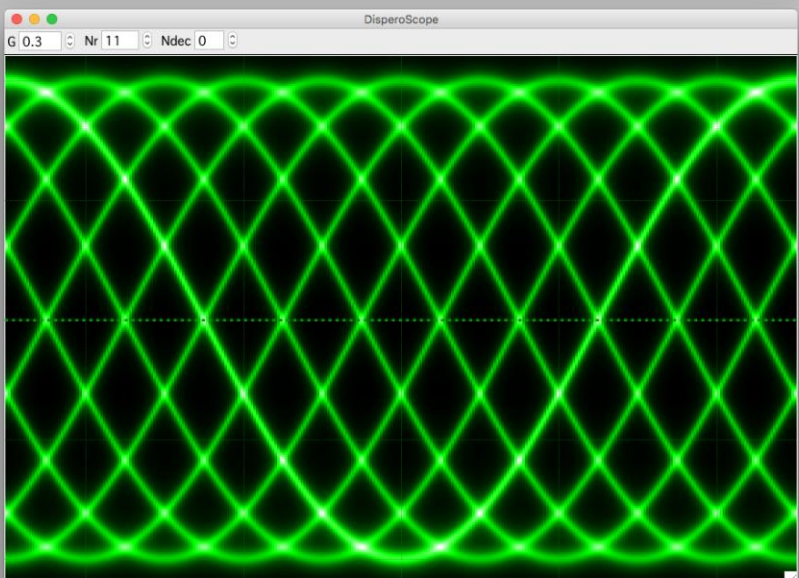
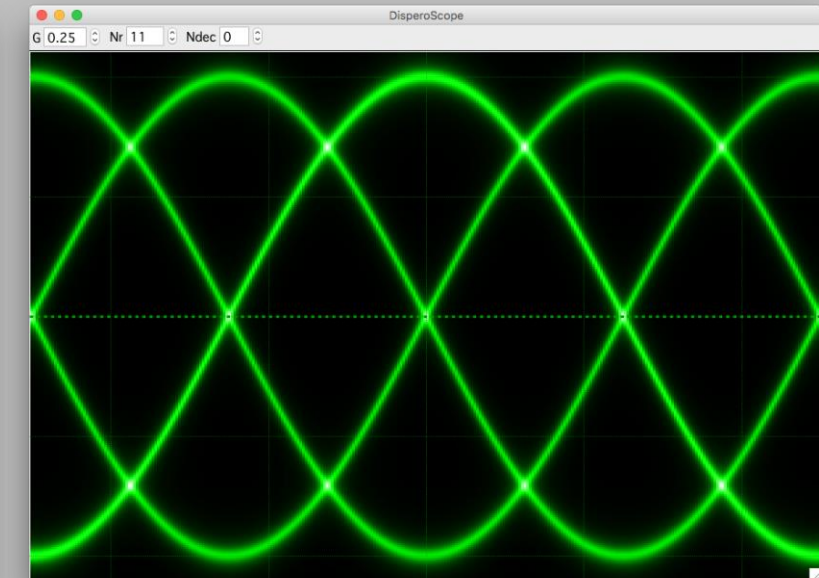
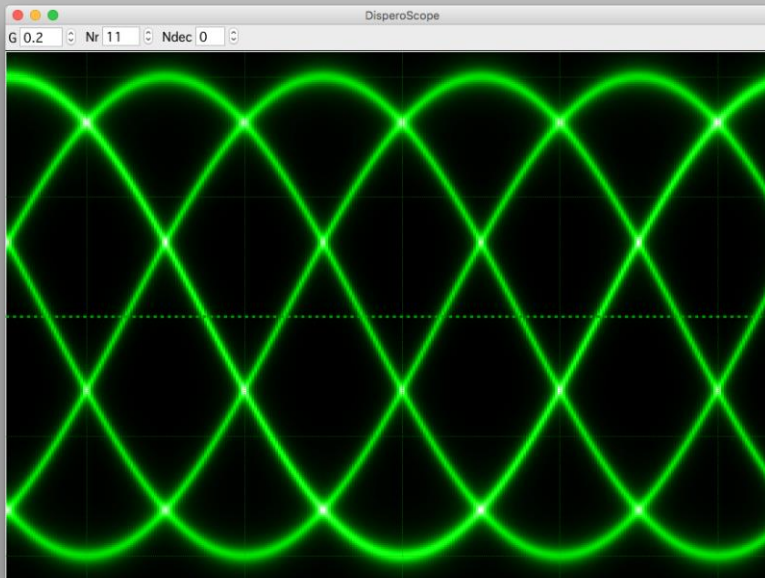
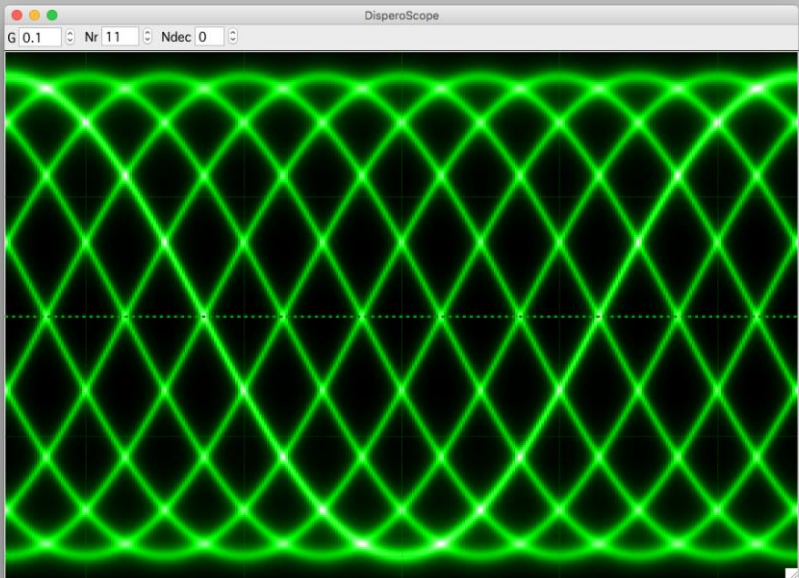


$$A(k, \omega) = \sum_{i=-(Nr-1)}^{Nr-1} \frac{1}{(\omega - \varepsilon_i(k))^2 + \delta^2}$$

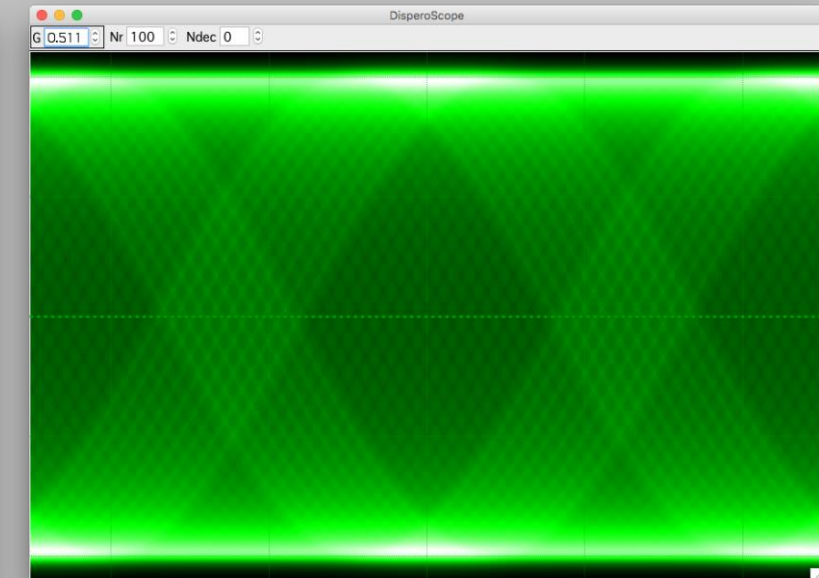
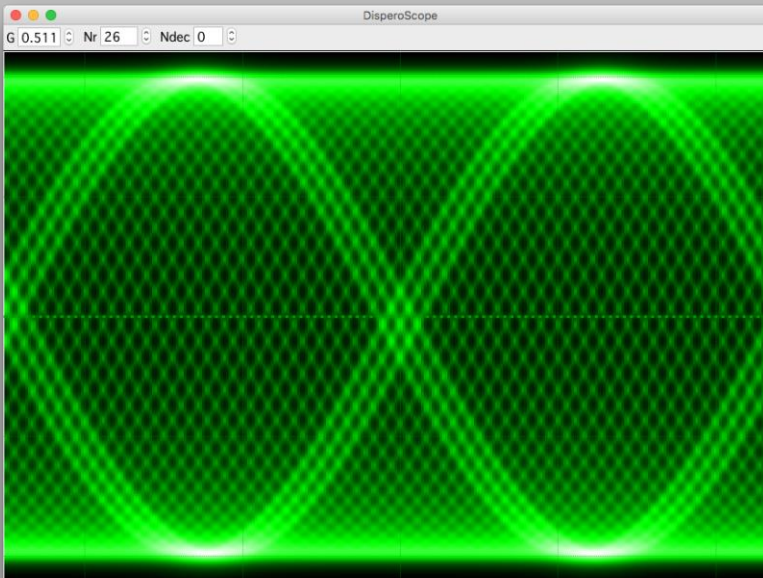
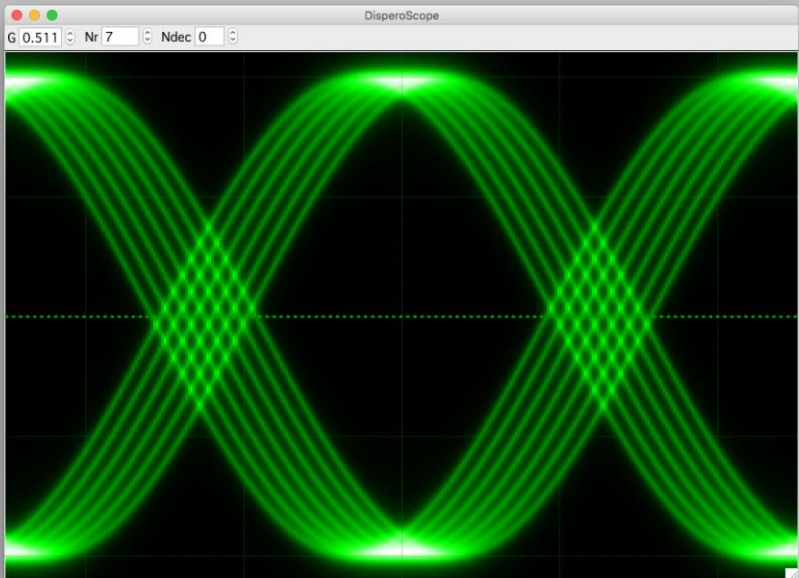
$$\varepsilon_i(k) = -\cos[2\pi(x + Gi)]$$



Commensurate vs Incommensurate

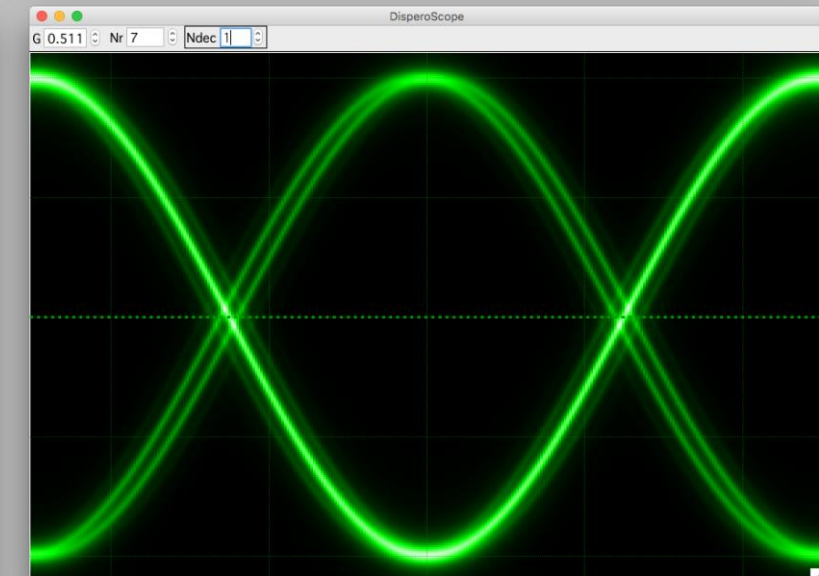
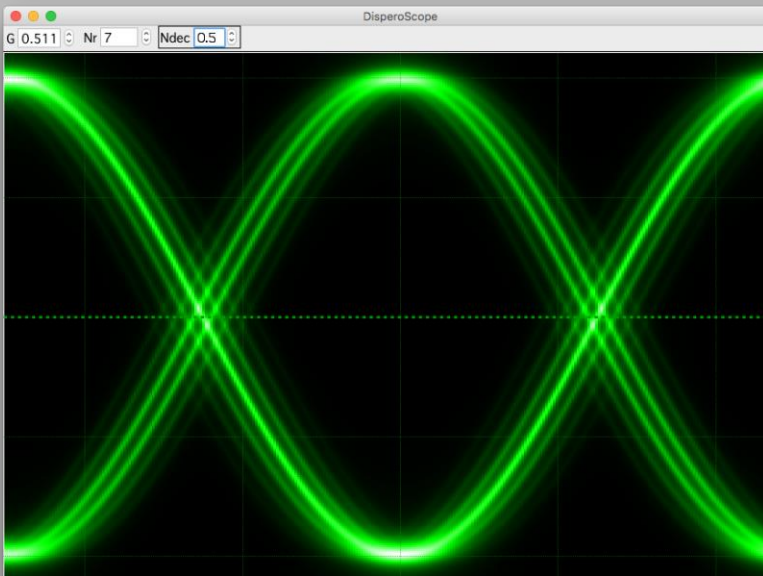


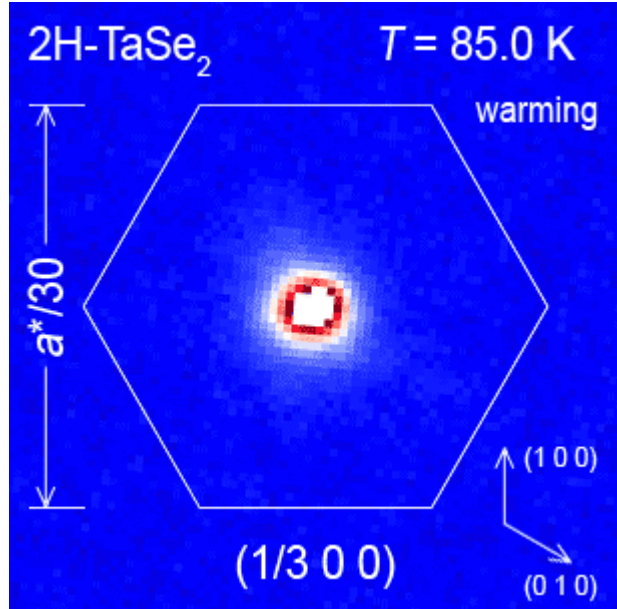
Commensurate vs Incommensurate



$$A(k, \omega) = \sum_{i=-(Nr-1)}^{Nr-1} \frac{\exp(-Di)}{(\omega - \varepsilon_i(k))^2 + \delta^2}$$

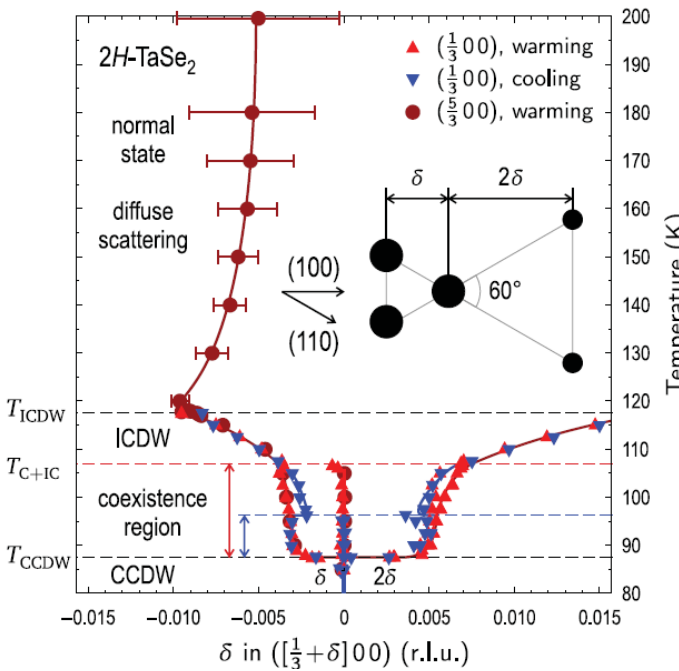
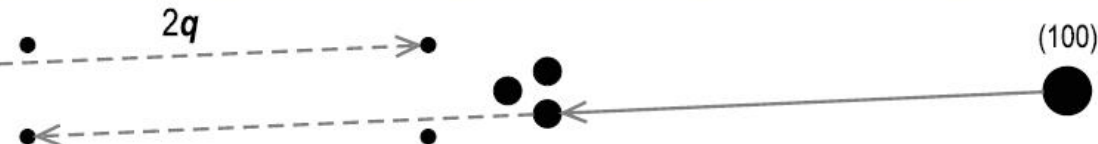
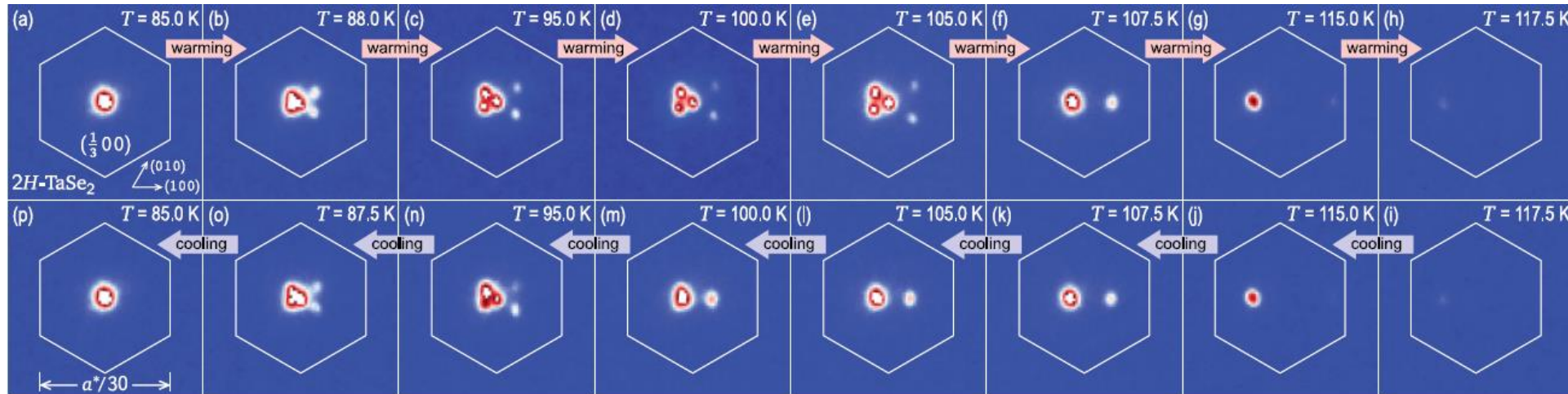
$$\varepsilon_i(k) = -\cos[2\pi(x + Gi)]$$



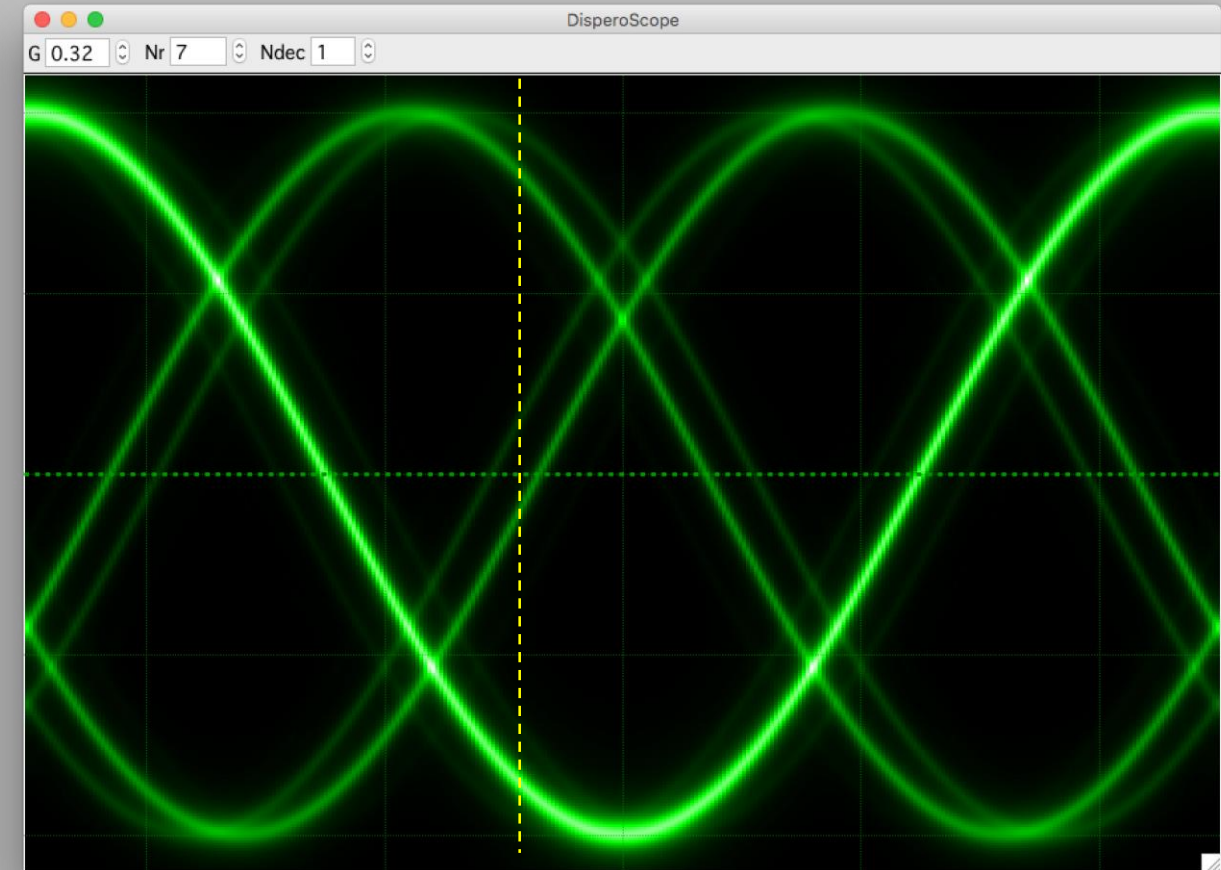
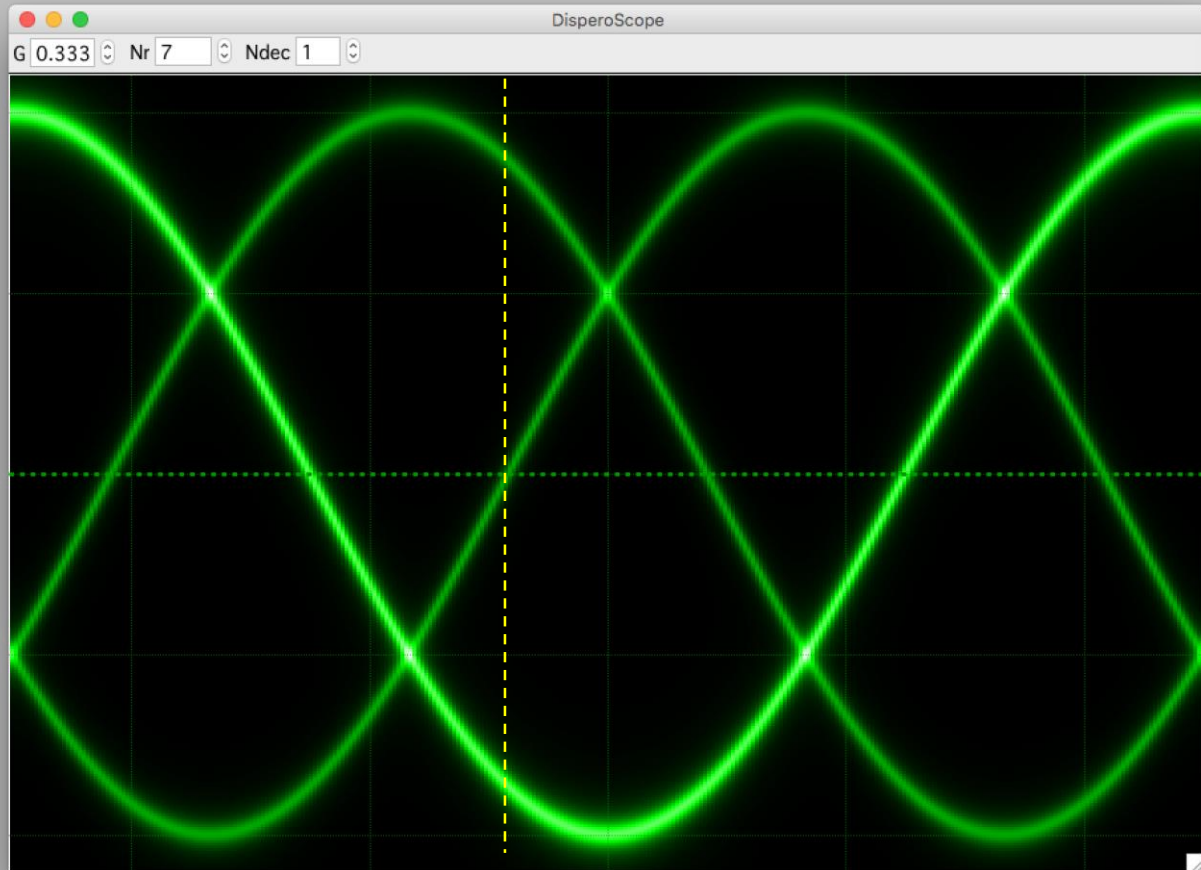


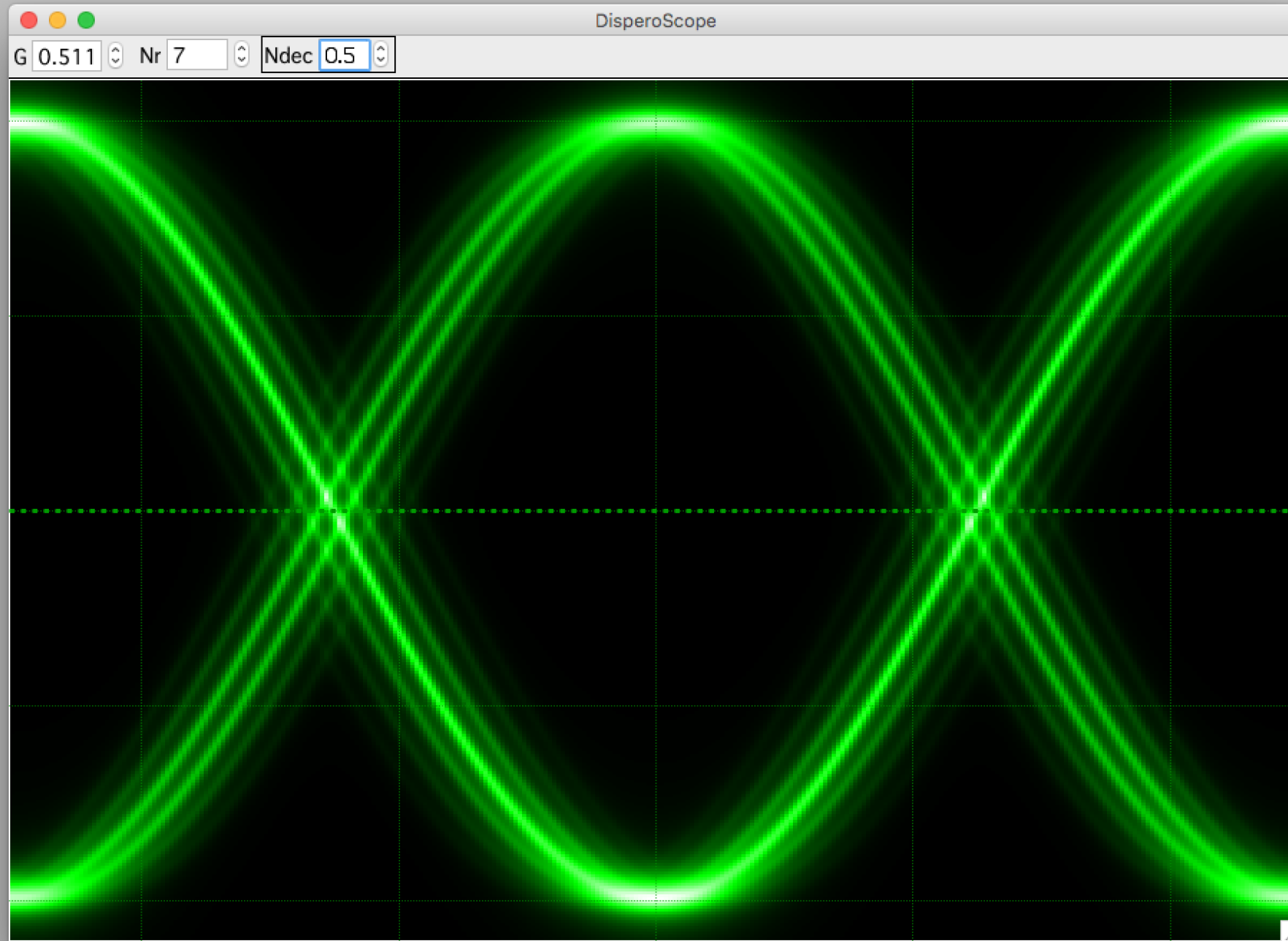
Competing CDW and temperature- dependent nesting in 2H-TaSe₂

Leininger... Inosov,
PRB 2011



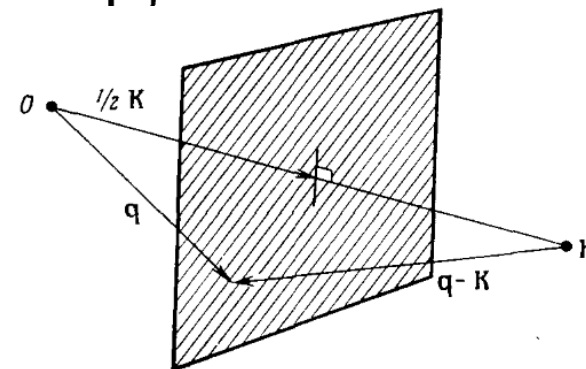
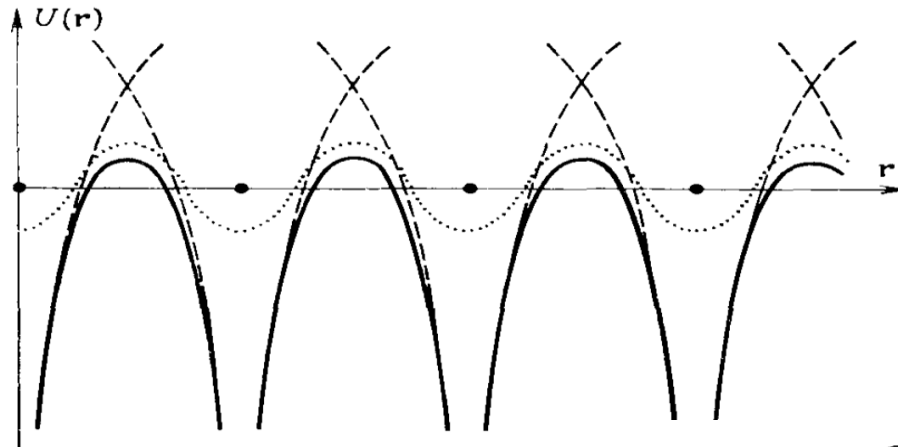
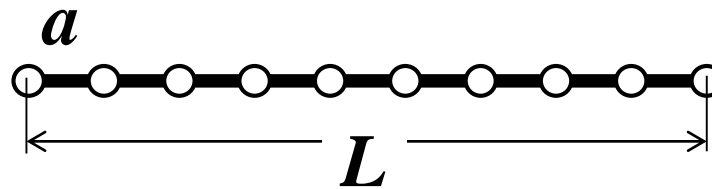
Commensurate vs Incommensurate





Band gaps

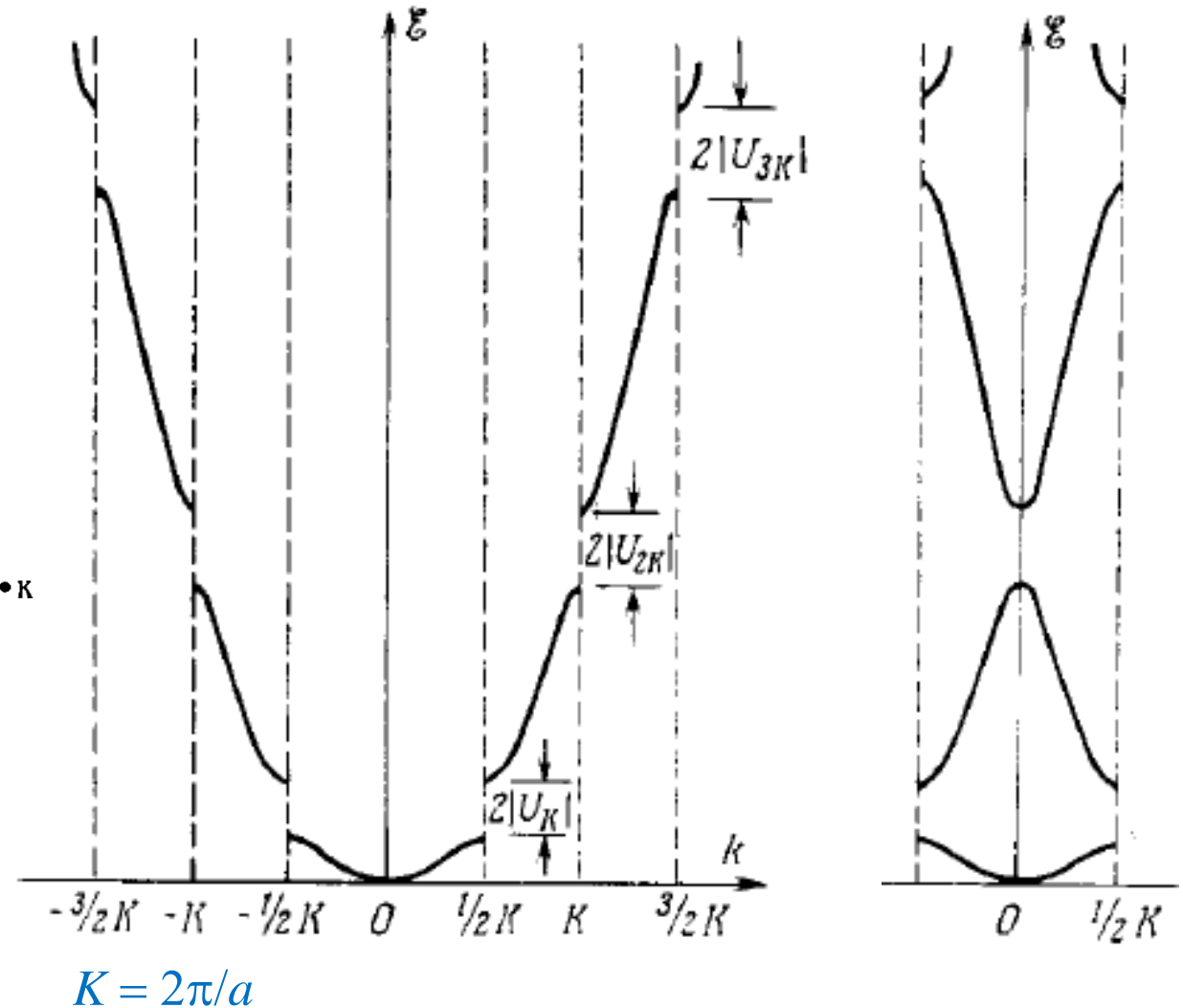
У попередніх лекціях...



$$\begin{vmatrix} \mathcal{E} - \mathcal{E}_q^0 & -U_K \\ -U_K^* & \mathcal{E} - \mathcal{E}_{q-K}^0 \end{vmatrix} = 0$$

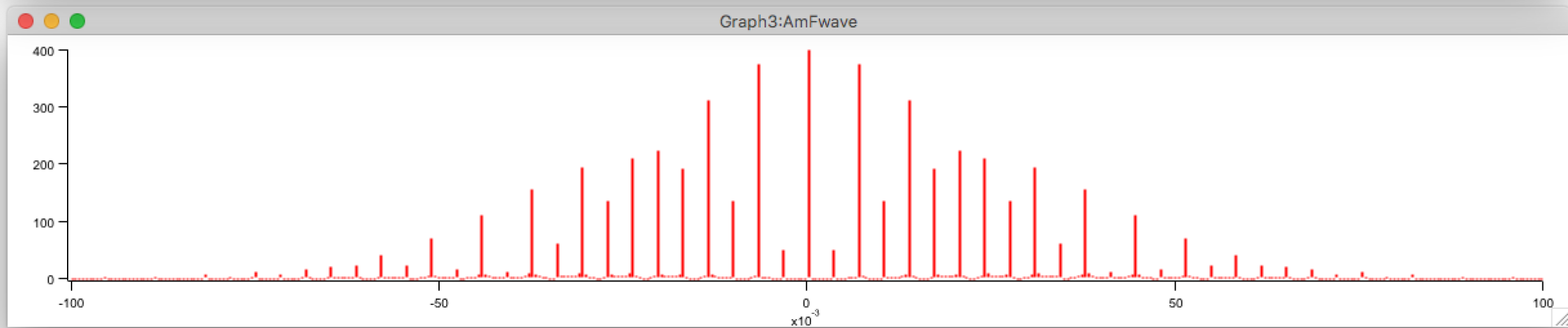
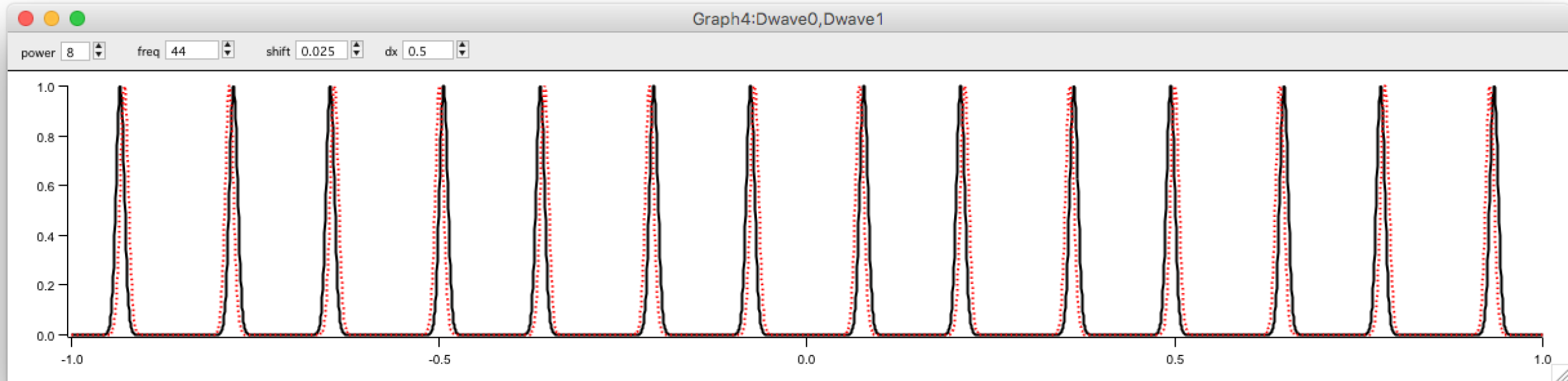
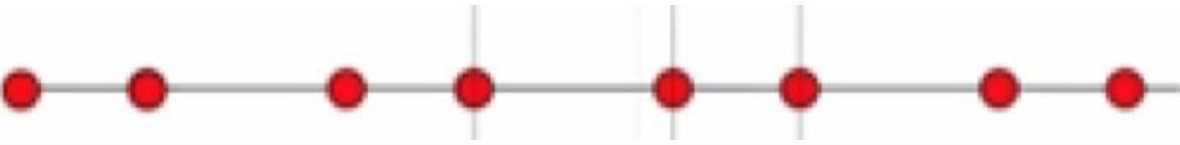
$$(\mathcal{E} - \mathcal{E}_q^0)(\mathcal{E} - \mathcal{E}_{q-K}^0) = |U_K|^2$$

$$\mathcal{E} = \frac{1}{2} (\mathcal{E}_q^0 + \mathcal{E}_{q-K}^0) \pm \left[\left(\frac{\mathcal{E}_q^0 - \mathcal{E}_{q-K}^0}{2} \right)^2 + |U_K|^2 \right]^{1/2}$$

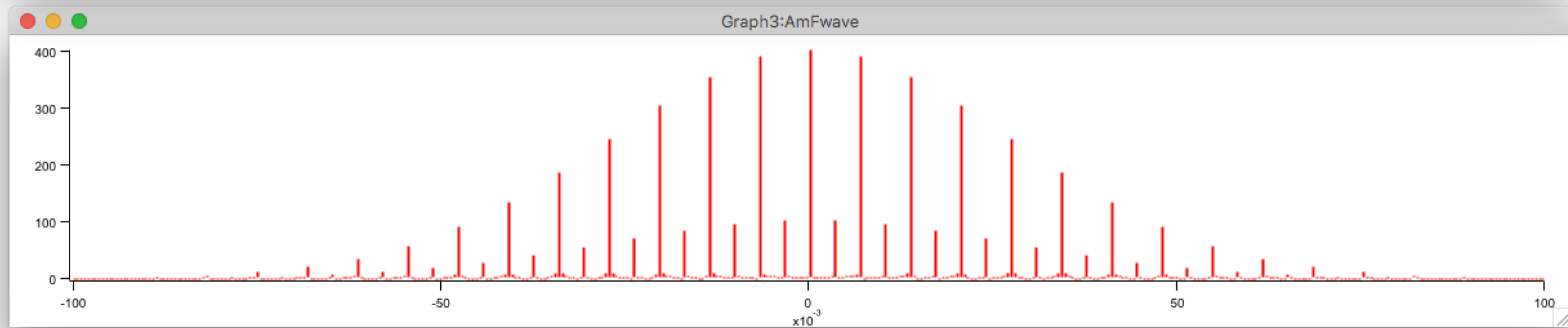
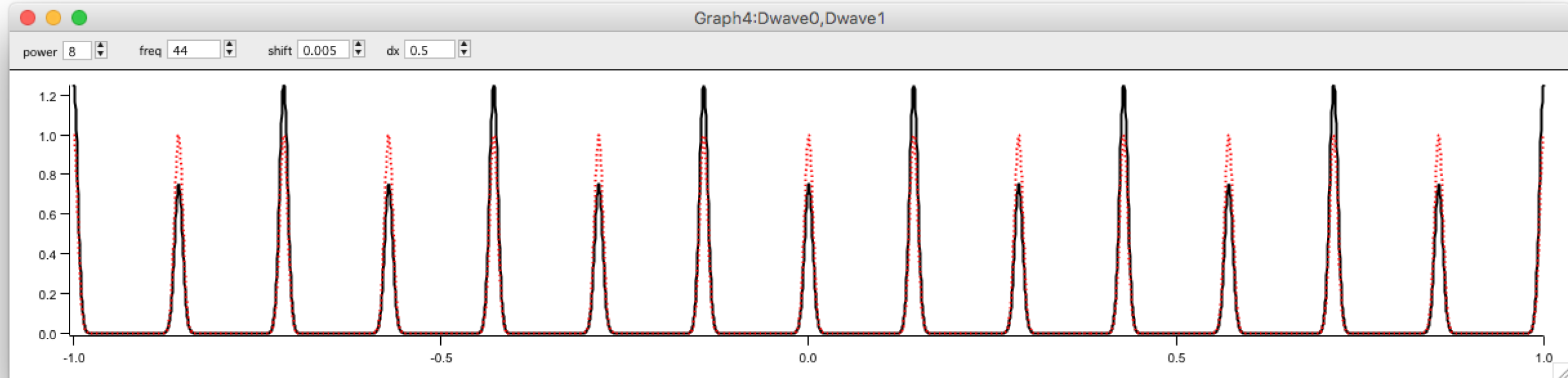
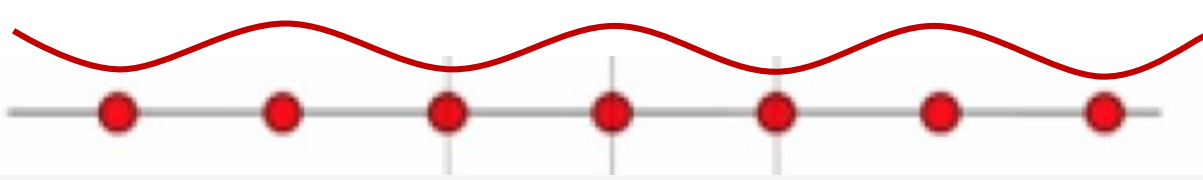


$$K = 2\pi/a$$

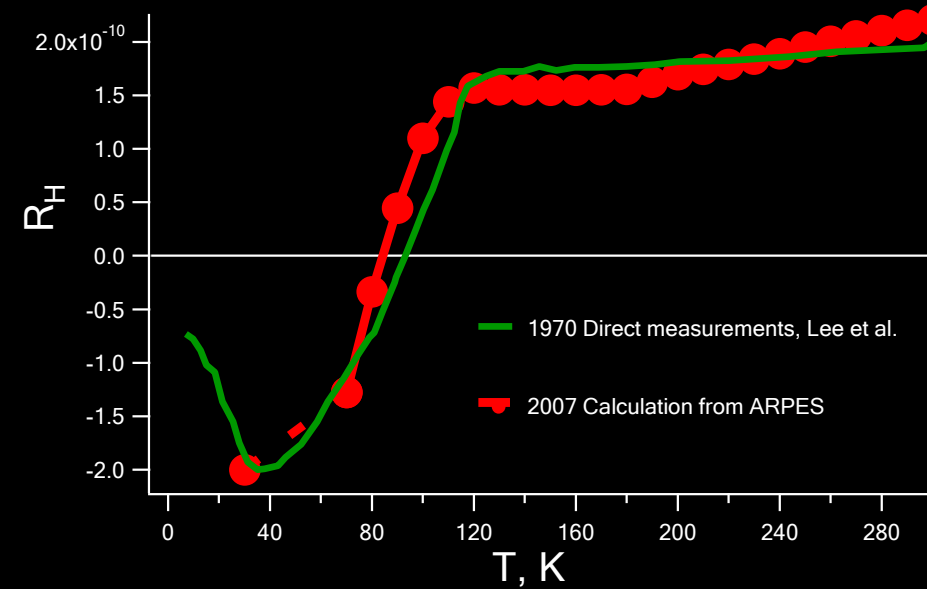
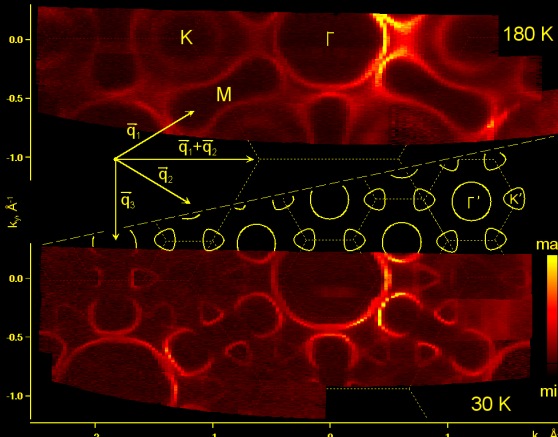
CDW band gaps



CDW band gaps



Hall coefficient of 2H-TaSe₂ from ARPES

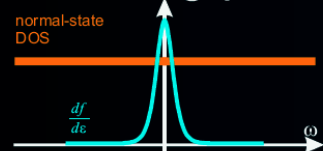


Hall coefficient from electronic structure

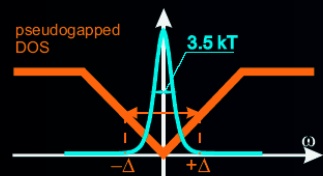
$$\tau(\mathbf{k}) = \text{const}$$

$$R_H = \frac{\sigma_{xy}}{H \cdot \sigma_{xx}^2} = \frac{\int \tau(\mathbf{k})^2 \cdot \frac{v_F^2(\mathbf{k})}{\rho(\mathbf{k})} \cdot dk}{\left(\int \tau(\mathbf{k}) \cdot v_F(\mathbf{k}) \cdot dk \right)^2} \downarrow \frac{\int \frac{v_F^2(\mathbf{k})}{\rho(\mathbf{k})} \cdot dk}{\left(\int v_F(\mathbf{k}) \cdot dk \right)^2}$$

taking pseudogap into account



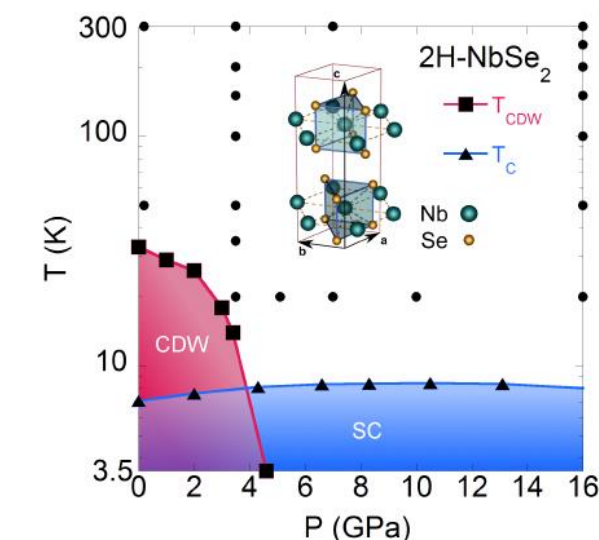
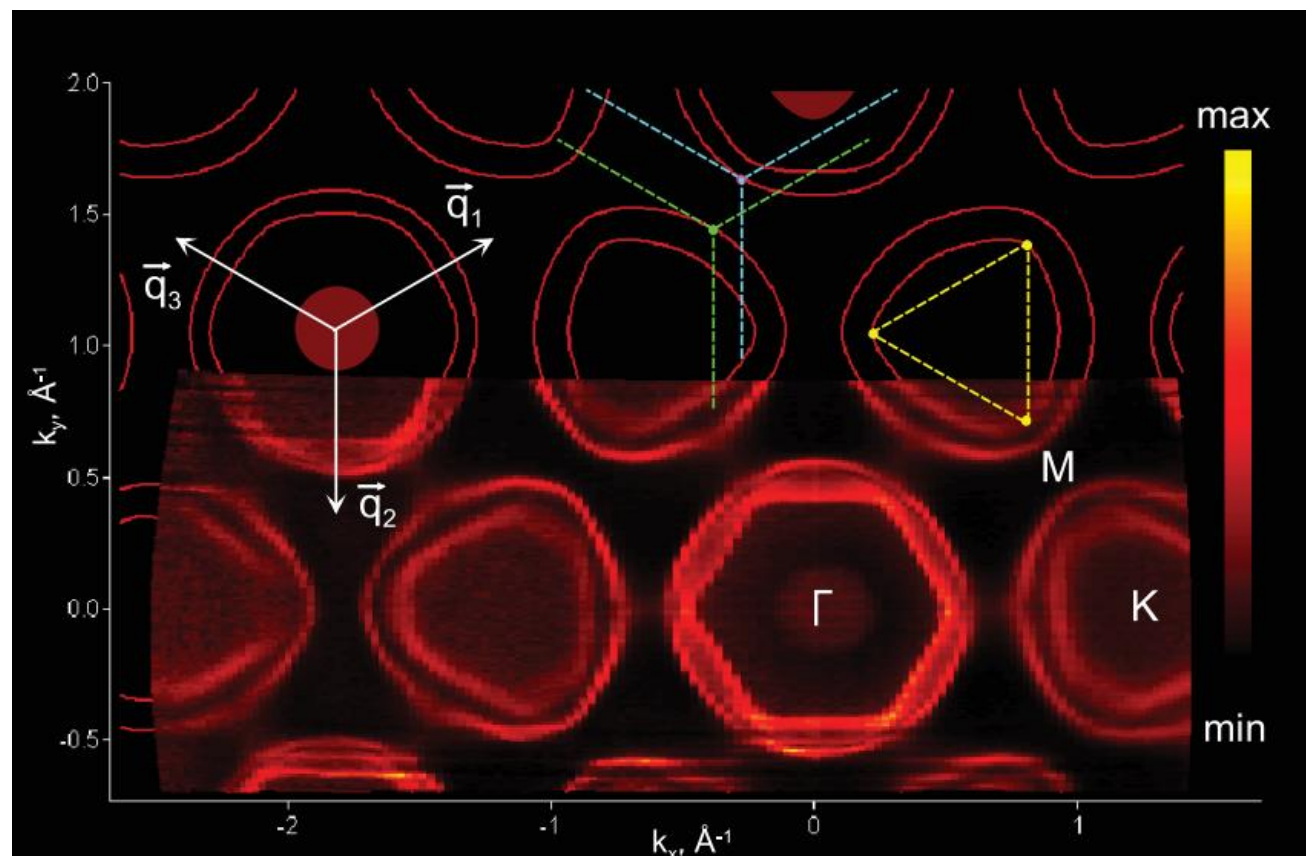
$$D(\mathbf{k}) = - \int_{-\infty}^{\infty} \frac{df}{d\varepsilon} \cdot A(\varepsilon, \mathbf{k}) \cdot d\varepsilon \leq 1$$



$$\sigma_{xy} \propto \int D(\mathbf{k}) \cdot \frac{\tau^2(\mathbf{k}) \cdot v_F^2(\mathbf{k})}{\rho(\mathbf{k})} \cdot dk$$

Two Energy Gaps and Fermi-Surface “Arcs” in NbSe_2

S. V. Borisenko,¹ A. A. Kordyuk,¹ V. B. Zabolotnyy,¹ D. S. Inosov,¹ D. Evtushinsky,¹ B. Büchner,¹ A. N. Yaresko,² A. Varykhalov,³ R. Follath,³ W. Eberhardt,³ L. Patthey,⁴ and H. Berger⁵



Leroux PRB 2015

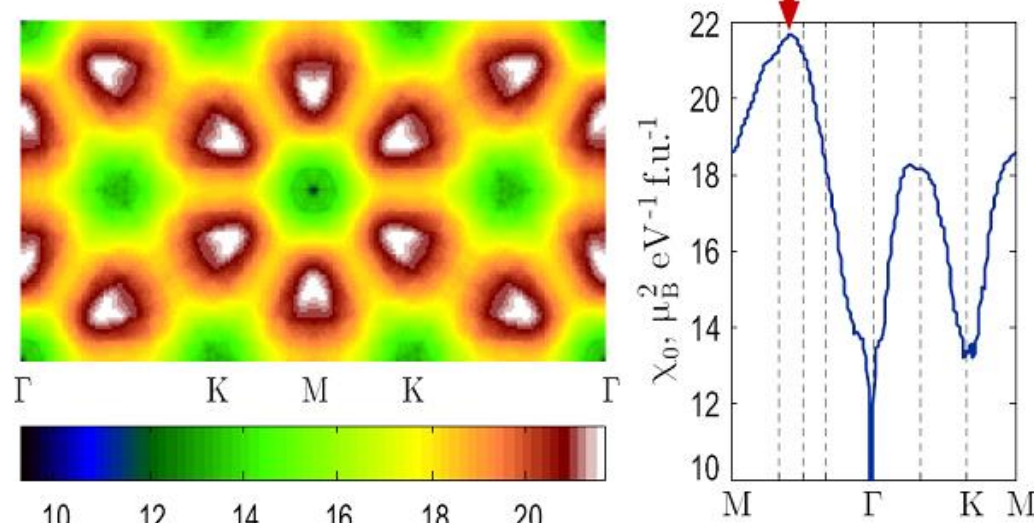
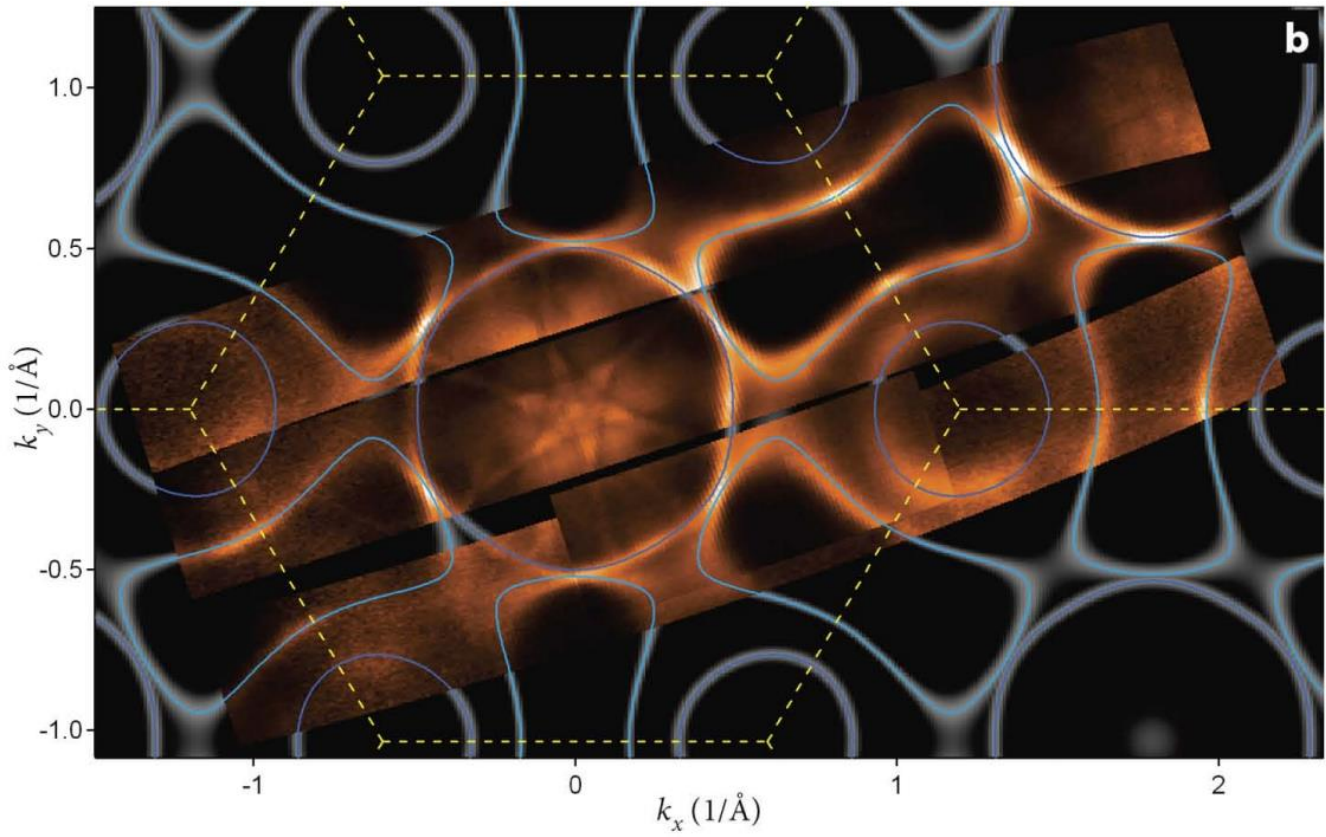
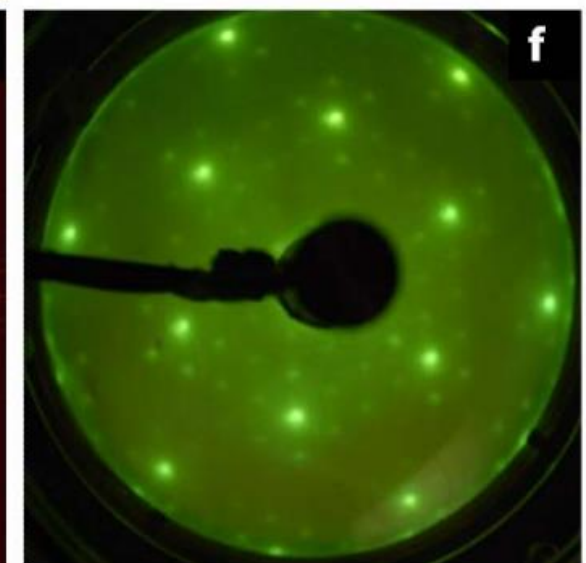
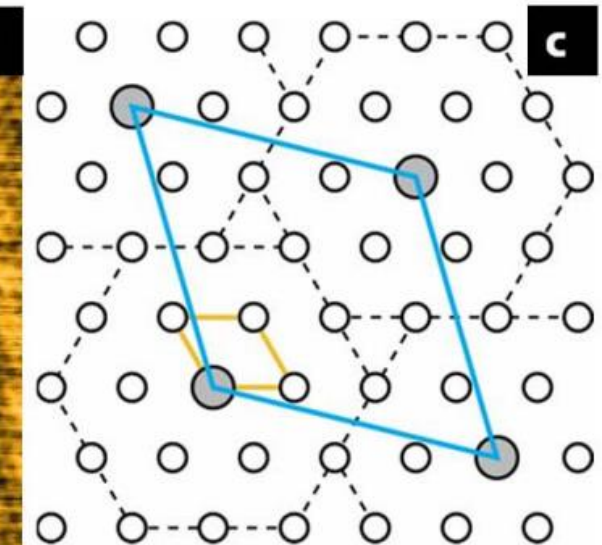
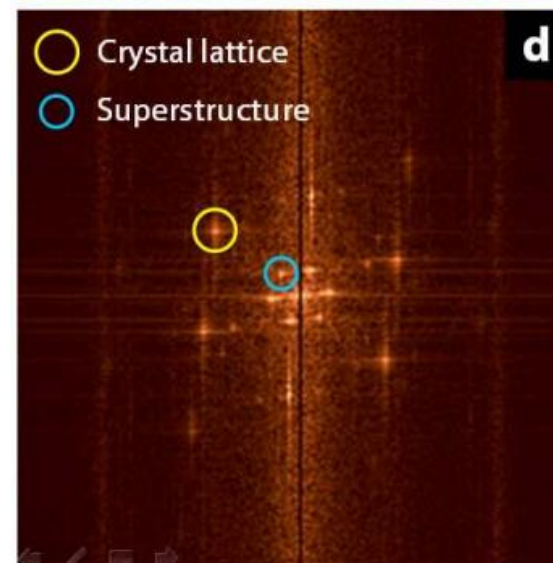
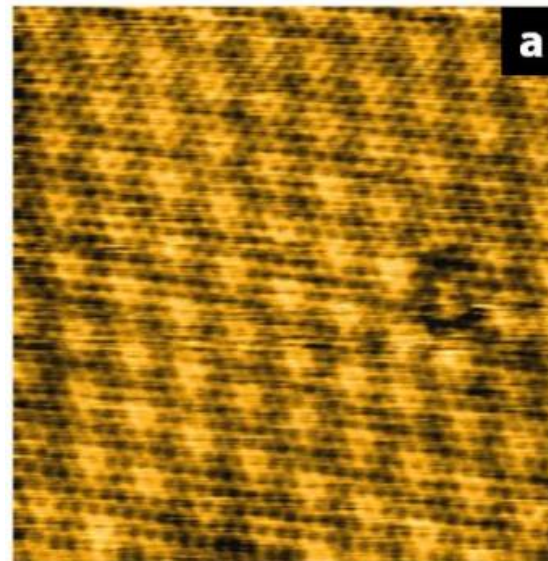


Figure S2. Real part of the Lindhard function at $\omega \rightarrow 0$ as a function of momentum and corresponding profile along high-symmetry directions, with the dominant nesting vector marked by the red arrow. The same vectors can be seen in left panel as white spots.



Cu-intercalated 2H-TaSe₂
-> 2Hb-TaSe₂



Quasicrystals

Квазікристал [\[ред.\]](#) [\[ред. код\]](#)

Матеріал з Вікіпедії — вільної енциклопедії.

Квазікристал — це [твірде тіло](#), атоми якого впорядковані так, що не утворюють кристалічної ґратки (тобто ця структура не є періодичною, позбавлена трансляційної симетрії), але в той же час можуть [когерентно](#) розсіювати випромінювання.

Найважливішою рисою квазікристалів є те, що вони дають чіткі [брег'ївські піки](#) при [дифракції](#) рентгенівських променів і електронів, причому [осі симетрії](#) цих піків мають заборонені для кристалів порядки, наприклад 5-ий. В загальному ж випадку неперіодична структура (наприклад, аморфне тіло, рідина тощо), не обов'язково дає чіткі брег'ївські піки.

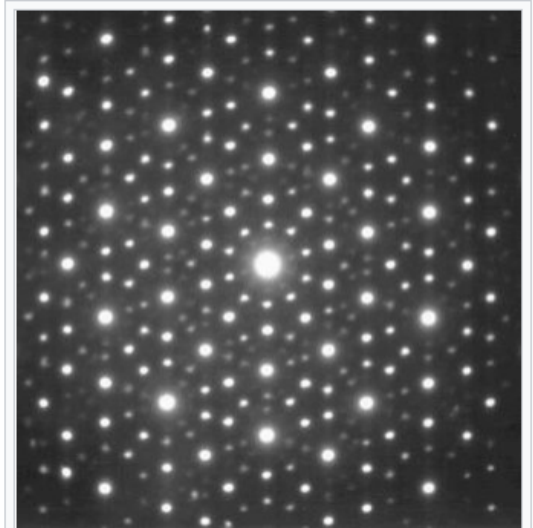
Є два типи квазікристалів: 1) структура періодична по одній осі, а у площині перпендикулярний до цій осі — квазікристалічна; 2) структура квазікристалічна в усіх трьох напрямках.

Здебільшого квазікристали утворюються при швидкому охолодженні [розплавлених сплавів металів](#) (Al-Li-Cu, Al-Mn-Si, Al-Ni-Co, Al-Pd-Mn, Al-Cu-Fe, Al-Cu-V, Cd-Yb, Ti-Zr-Na, Zn-Mg-Ho, Zn-Mg-Sc, In-Ag-Yb, Pd-U-Si тощо), і є нестабільними, однак виявлені також стабільні квазікристалічні речовини.

Історія [\[ред.\]](#) [\[ред. код\]](#)

Математично можливість заповнення простору кількома простими комірками з утворенням неперіодичної структури відкрив у [1970-их](#) Роджер Пенроуз.

Квазікристали були відкриті в [1984](#) році [Даном Шехтманом](#).



Дифракційна картина розсіяння електронів на ікосаедричній структурі квазікристалу Zn-Mg-Ho. Видно 10 точок по колу.

Деякі приклади нерекурсивної математики

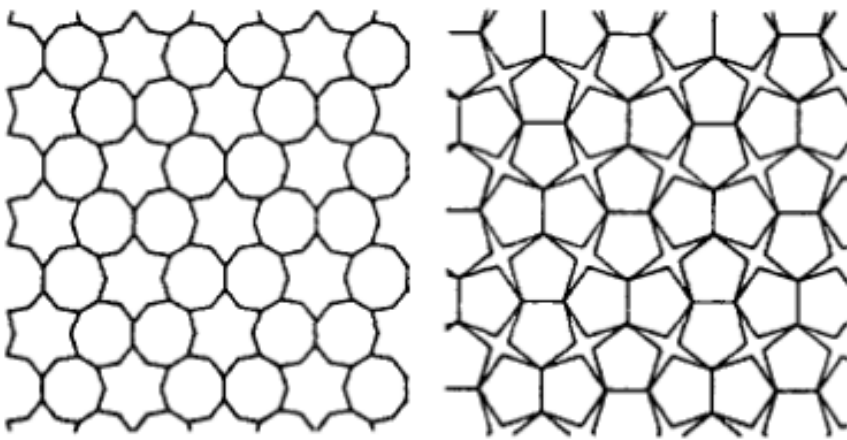


Рис. 4.7. Два примера периодического замощения плоскости фигурами двух форм

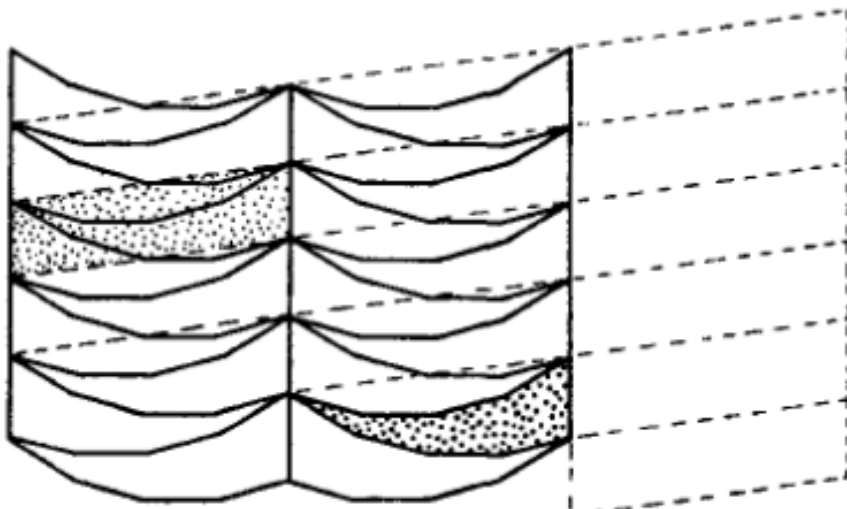


Рис. 4.8. Периодическое замощение и его параллелограмм периодов

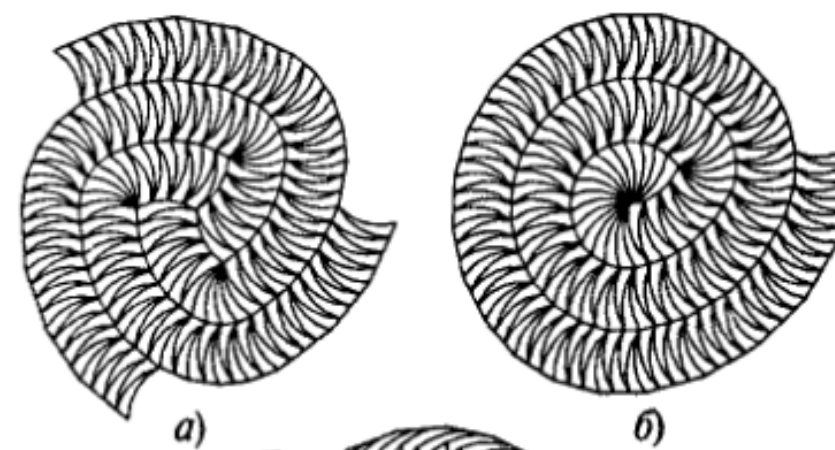
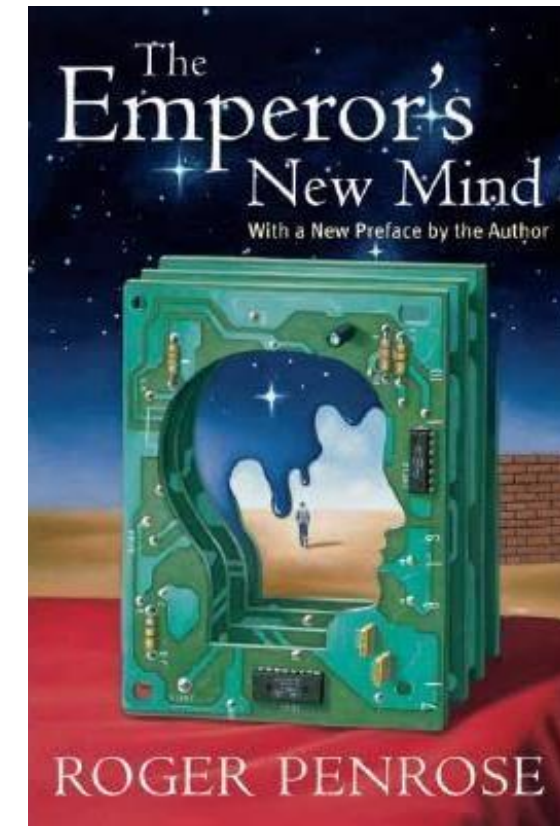


Рис. 4.9. Три непериодических «спиральных» замощения из таких же «универсальных» плиток, как и на рис. 4.8

[Пенроуз Р. Новый ум короля.djvu](#)



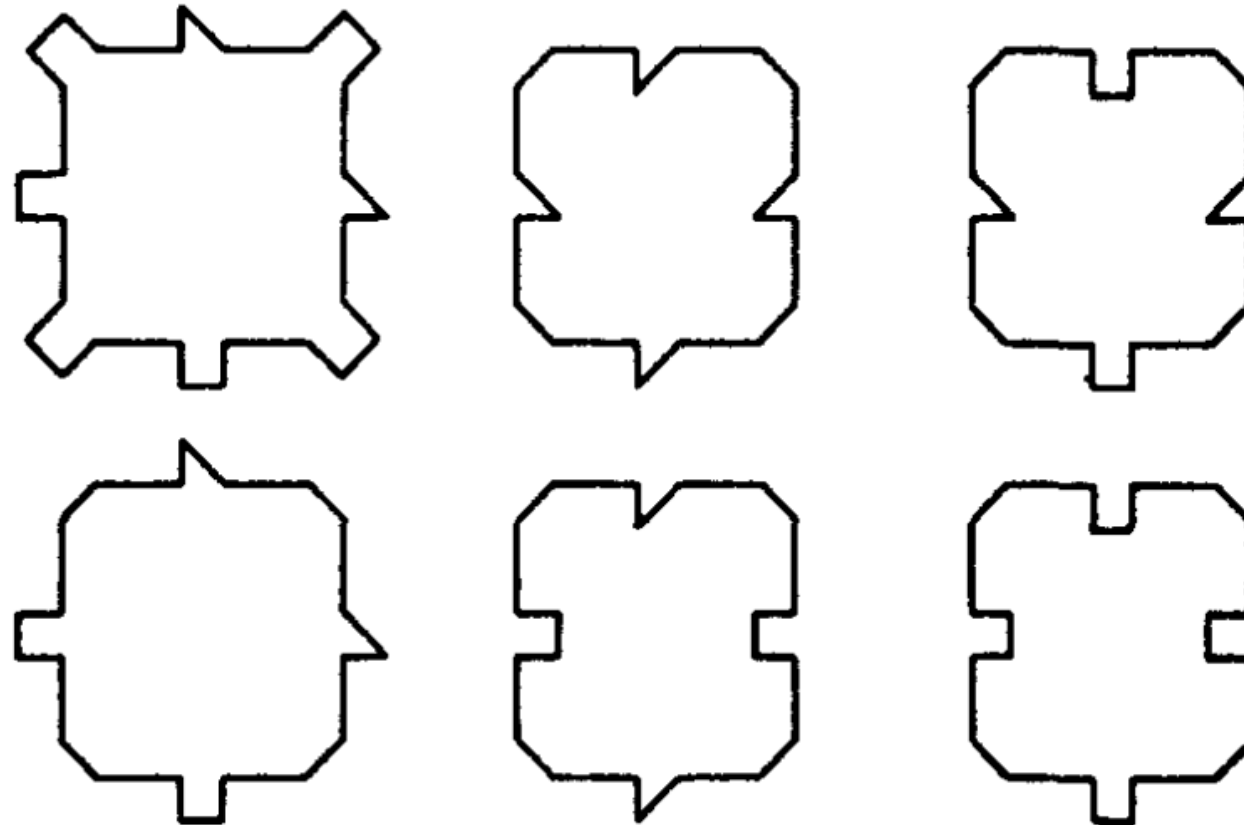
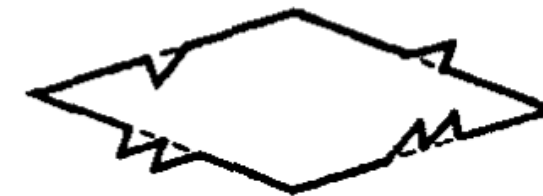
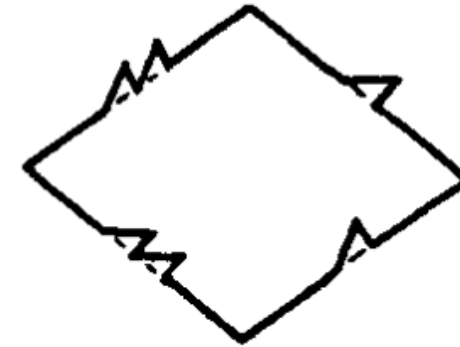
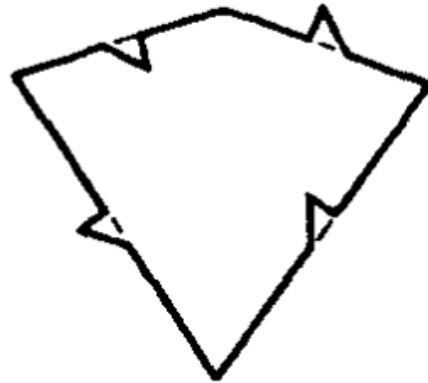


Рис. 4.10. Набор Рафазля Робинсона из шести пли-
ток, который покрывает плоскость только непериоди-
чески



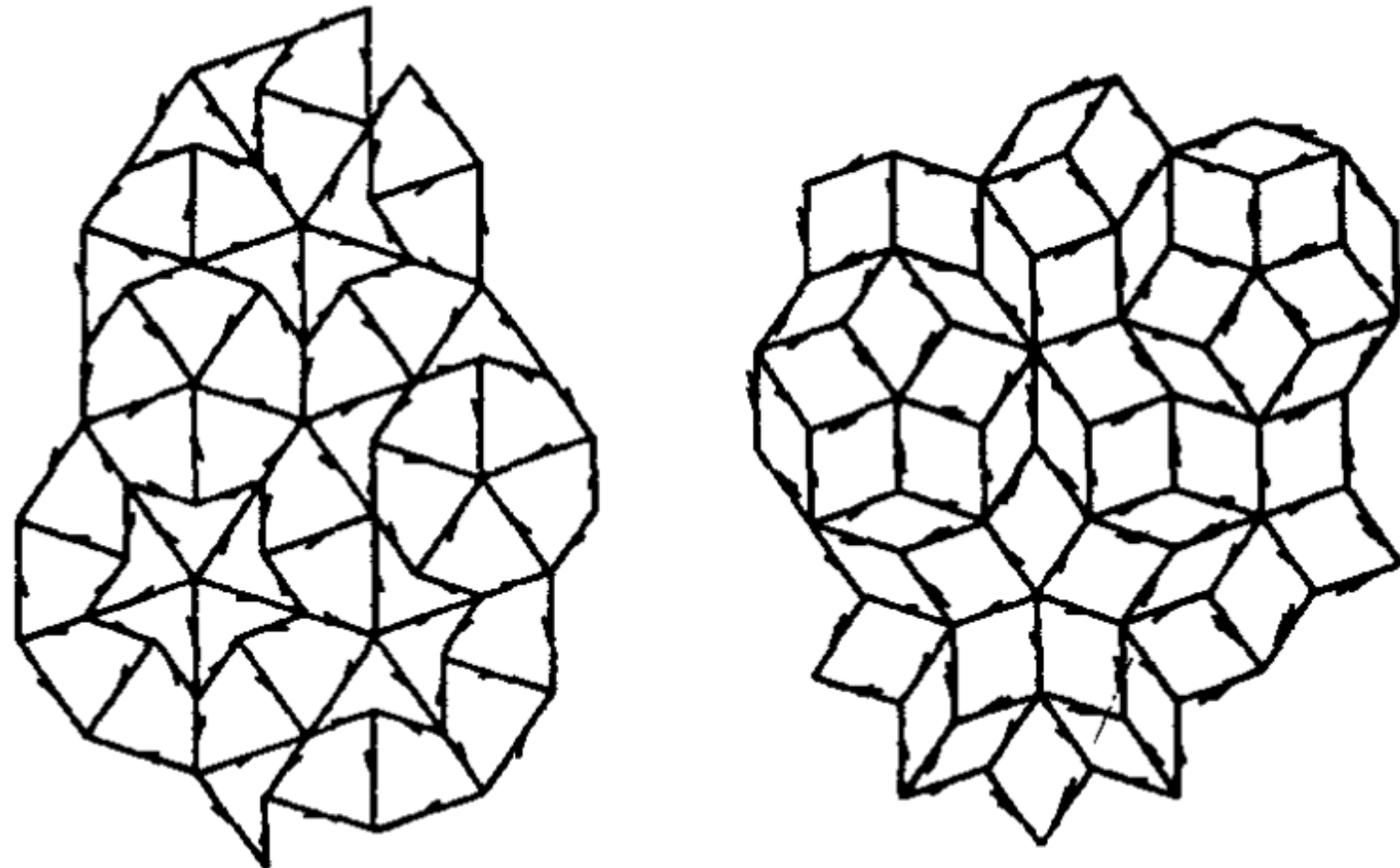
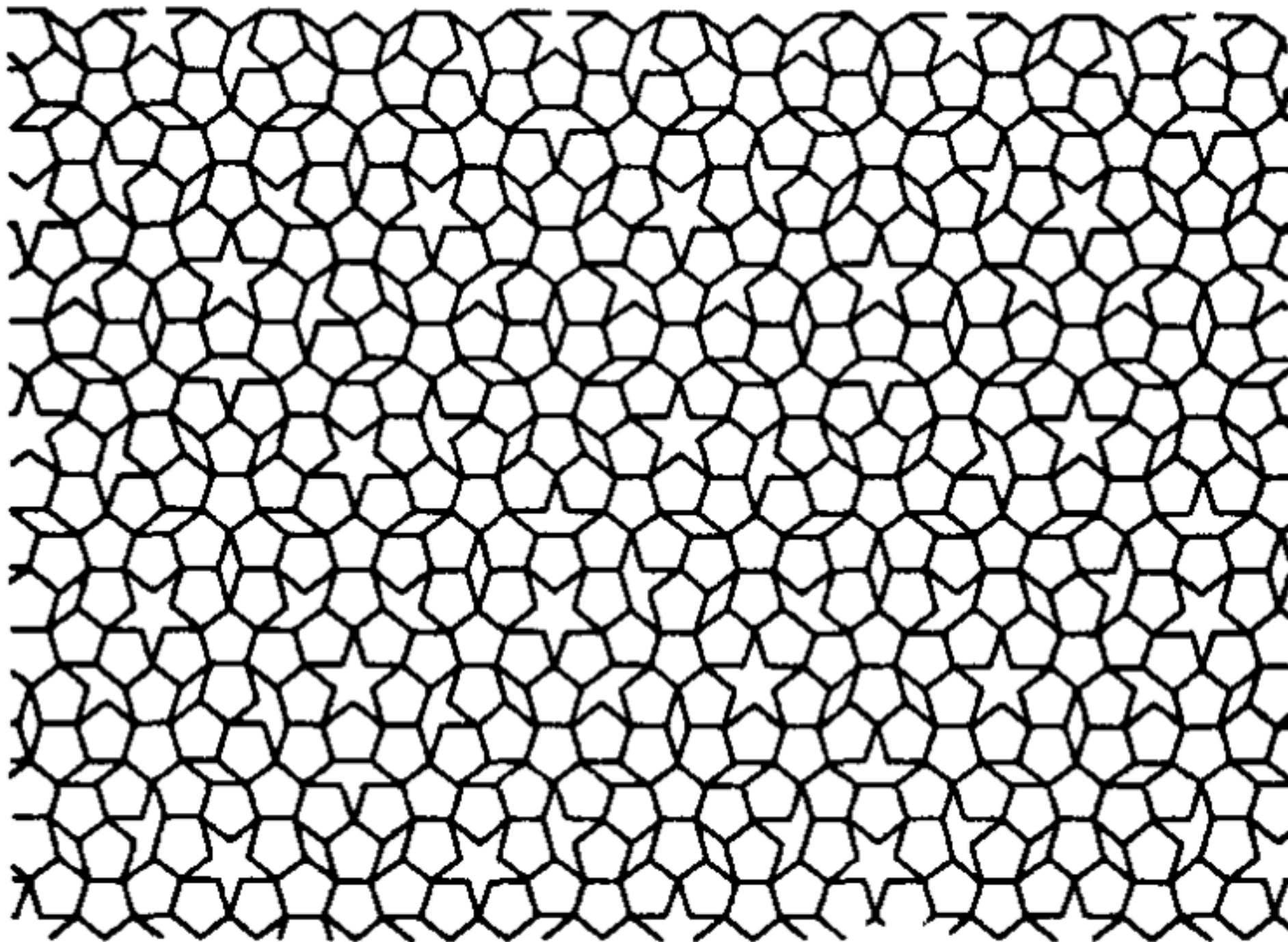


Рис. 4.12. Две пары плиток, которые покрывают плоскость только непериодически («плитки Пенроуза»). Также показано замощение плоскости каждой из этих пар



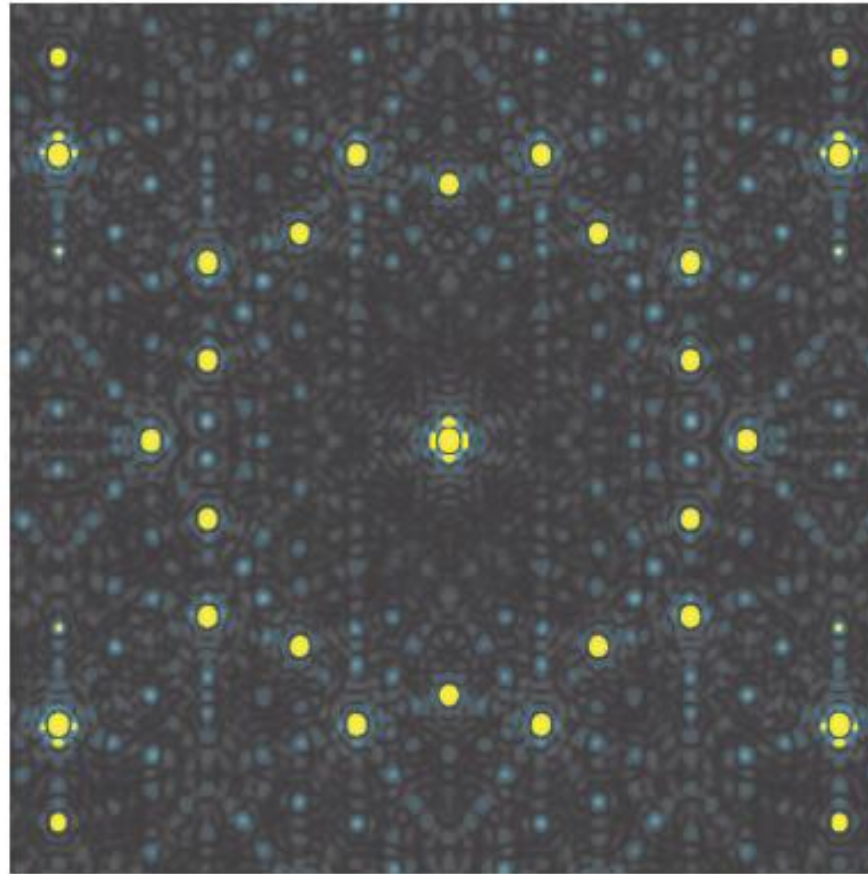
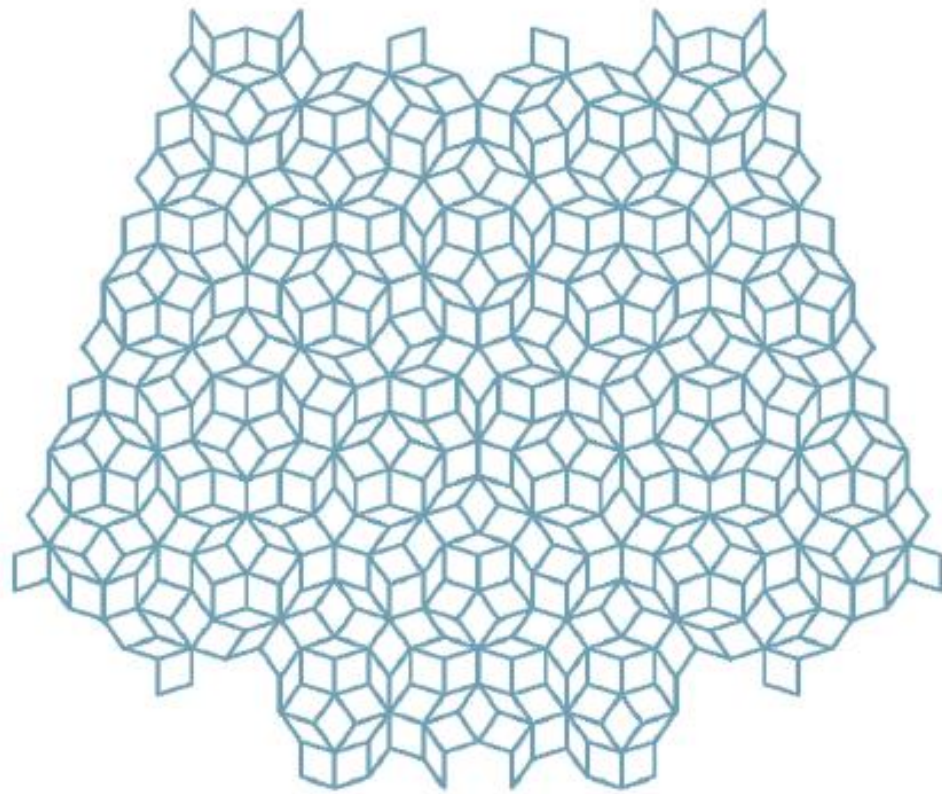
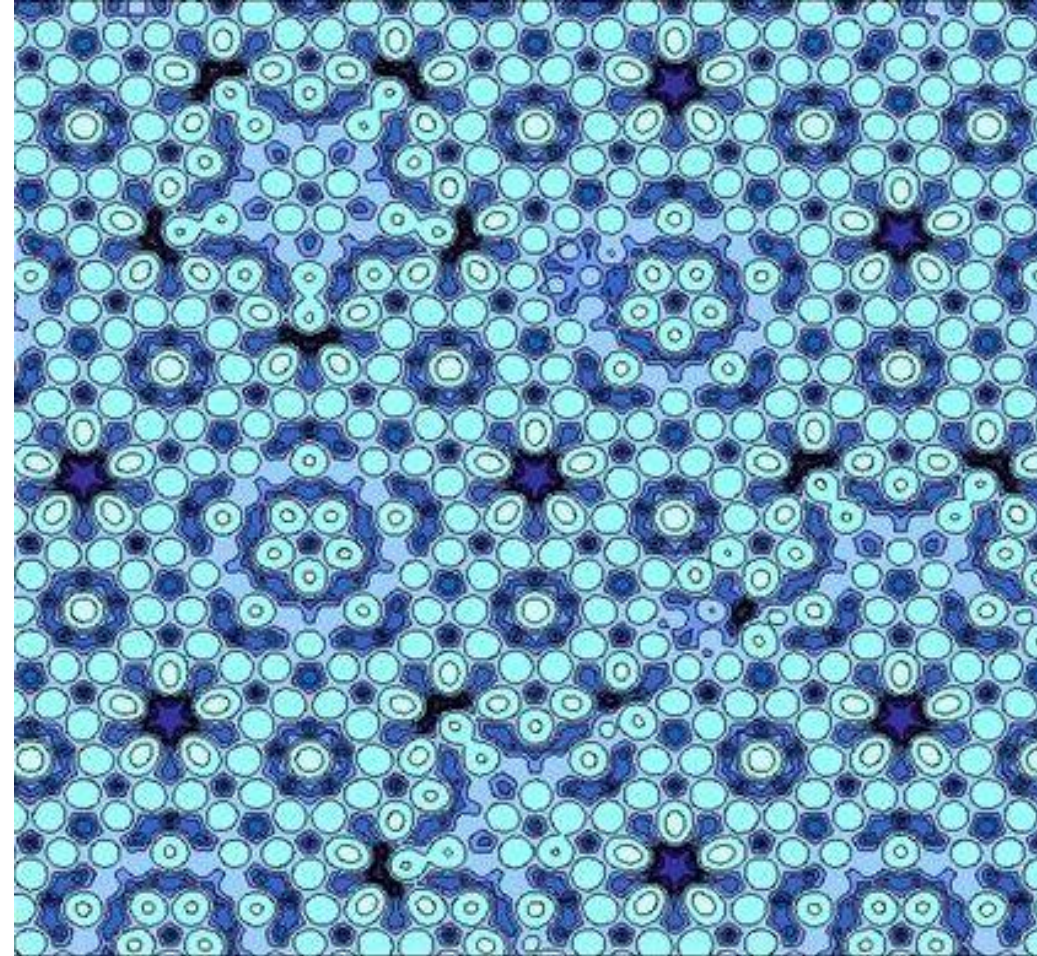
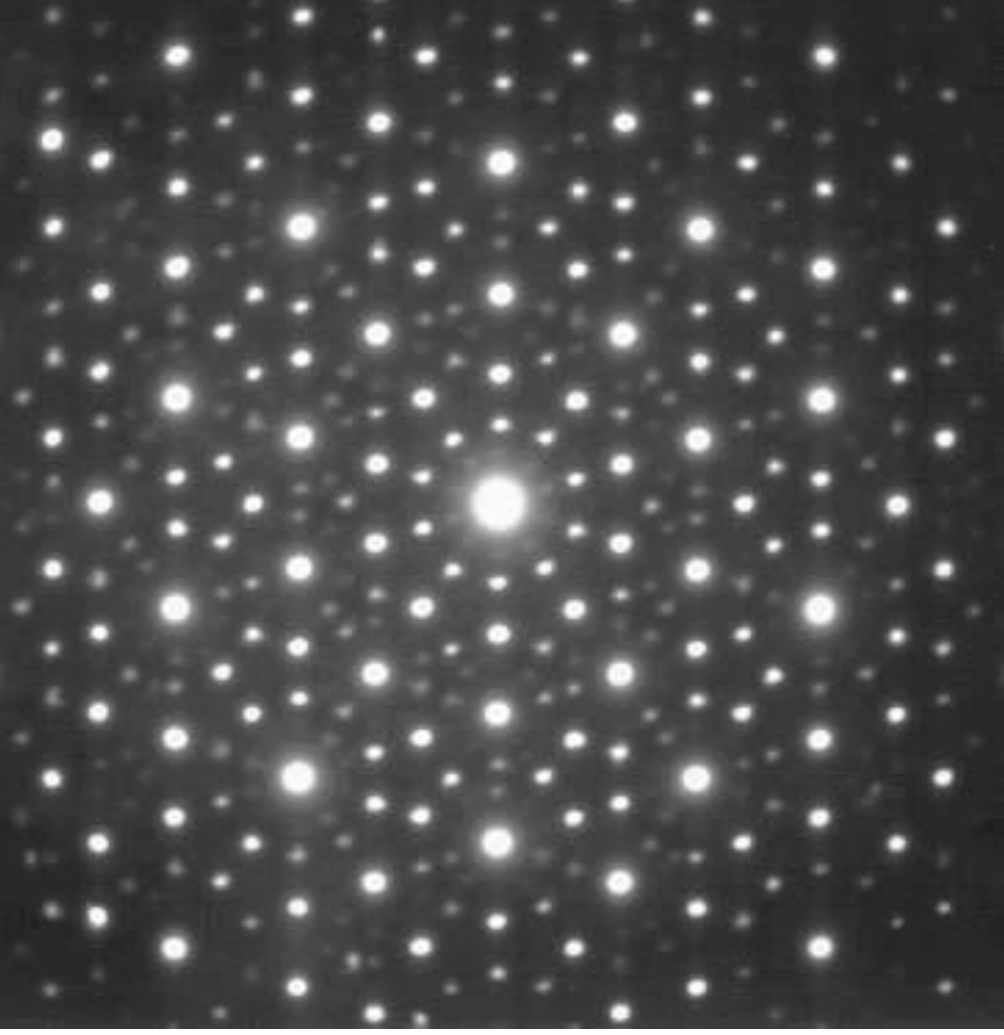


Figure 1. (a). A patch of a Penrose tiling. **(b).** The diffraction diagram of the vertex set V of (a) is essentially discrete; thus F is an aperiodic crystal, according to the new definition.



Atomic model of an aluminium-palladium-manganese (Al-Pd-Mn) quasicrystal surface.



Дифракційна картина розсіяння електонів на ікосаедричній структурі квазікристалу Zn-Mg-Ho. Видно 10 точок по колу.

